

# Tehniium

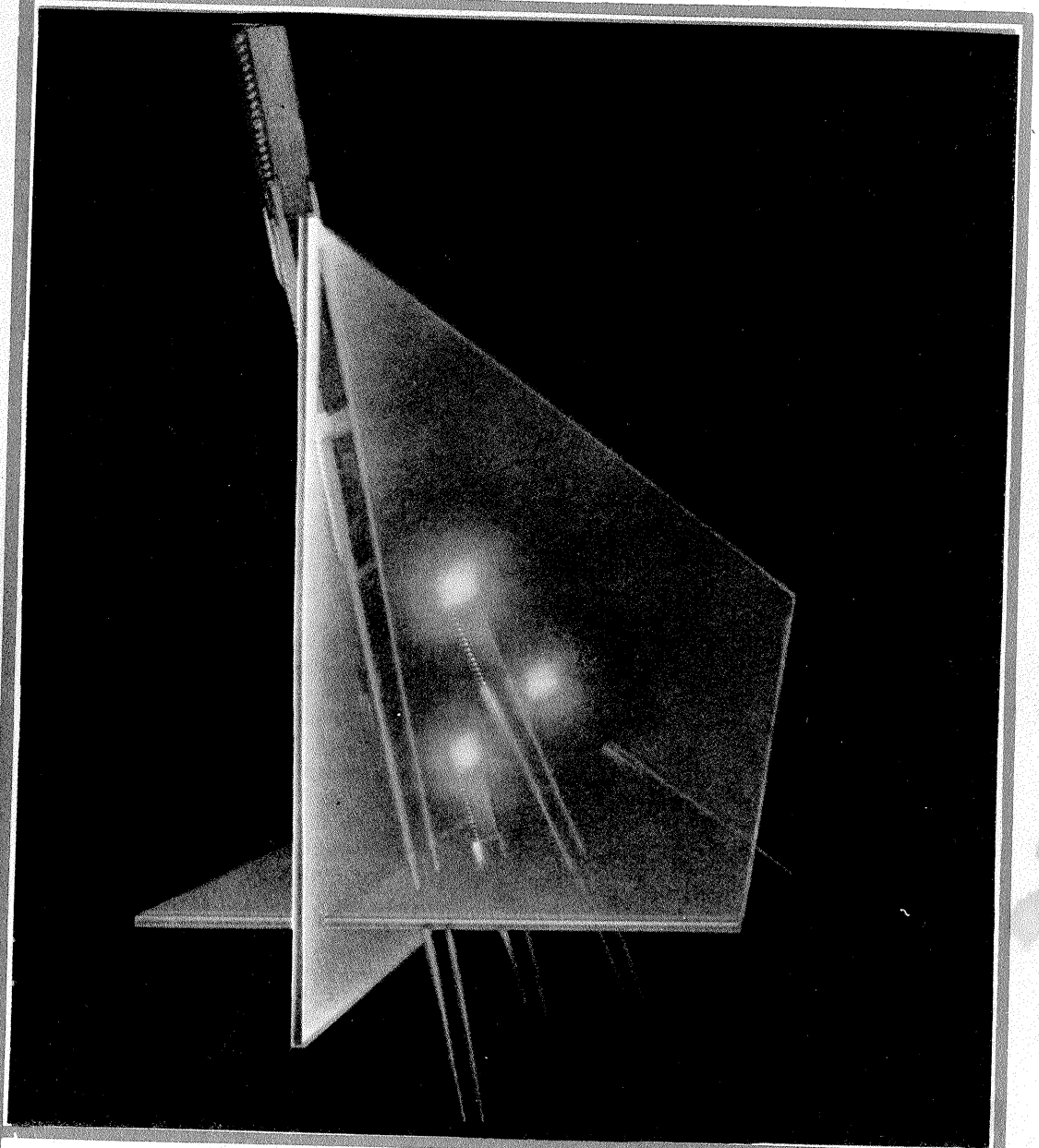
REVISTĂ LUNARĂ EDITATĂ DE C.G. AL U.T.C.

ANUL XVI - NR. 183 **2/86**

## CONSTRUCȚII PENTRU AMATORI

### SUMAR

- LUCRAREA PRACTICĂ DE BACALAUREAT** ..... pag. 2—3  
Instrument muzical
- INIȚIERE ÎN RADIOELECTRONICĂ** ..... pag. 4—5  
Capacimetru liniar TAA320
- CQ-YO** ..... pag. 6—7  
Generator de frecvențe  
Oscilatorul Clapp
- HI-FI** ..... pag. 8—9  
Filtru dinamic reducător de zgomot — DNF  
Inductanțe simulate
- LABORATOR** ..... pag. 10—11  
Aplicații ale circuitului integrat ROB3028
- TEHNICĂ MODERNĂ** ..... pag. 12—13  
Microcalculatorul L/B 881
- AUTO—MOTO** ..... pag. 14—15  
Autoturismele „OLTCIT”:  
Service  
Minivehicul electrocinetic
- CITITORII RECOMANDĂ** ..... pag. 16—17  
„Spray” electric  
Desfundarea penițelor  
Rotring  
Semnalizare  
Tester  
Stabilizator
- LOCUIȚA NOASTRĂ** ..... pag. 18—19  
Igrasia în locuință
- FOTOTEHNICĂ** ..... pag. 20—21  
Emulsii fotosensibile cu săruri de crom  
Cum folosim aparatul FED MICRON  
Folosirea inelelor distanțiere
- REVISTA REVISTELOR** ..... pag. 22  
Automat  
Voltmetru  
Capacimetru  
Oscilator
- PUBLICITATE** ..... pag. 23  
Radioreceptoare portabile
- SERVICE** ..... pag. 24  
Radiocasetofonul MAJA



## MICROCALCULATORUL

# L/B 881

(CITIȚI ÎN PAG. 12)

ADRESA REDACTIEI: TEHNIIUM-BUCUREȘTI, PIATA ȘCINTEI NR. 1, COD 79784  
OF. P.T.T.R. 33, SECTORUL 1, TELEFON 17 60 10, INT. 2059, 1151

PREȚUL  
3 LEI

CT

# LUCRAREA PRACTICĂ DE BACALAUREAT

## INSTRUMENT MUZICAL

Prof. NICOLAE DĂRĂBAN,  
Cimpia Turzii

Circuitele integrate logice oferă posibilitatea realizării instrumentelor muzicale electronice. În articolul de față se prezintă calculul și realizarea practică a unui instrument muzical pe o singură voce (deci fără posibilitate de acompaniament). Datorită faptului că frecvența practică a notelor prezintă o eroare mai mică de 0,1%, aparatul poate fi folosit pentru acordarea instrumentelor muzicale.

Pornindu-se de la faptul că între aceeași notă situată în octave învecinate ordinul de multiplicare a frecvenței este 2, realizarea unui instrument muzical electronic presupune generarea unui semnal aflat în octava a 8-a și apoi divizarea lui cu  $2^8$ , unde  $p$  este diferența dintre octave.

Generarea semnalelor corespunzătoare cu frecvența etalon a notelor muzicale se poate realiza utilizând un generator astabil de frecvență cu cuarț și apoi divizând această frecvență cu ajutorul unei matrice de diode de tip ROM. Astfel, considerând frecvența cuarțului  $f_{\text{cuarț}}$  și frecvența unei note din octava 8, prin împărțirea celor două valori se obține coeficientul de demultiplicare:

$$k_n = \frac{f_{\text{cuarț}}}{f_{\text{notă}}} \quad (1)$$

Acești factori de demultiplicare trebuie să fie rotunjiți la numere întregi, ceea ce face ca frecvența practică a notei obținute să difere

de frecvența standard. Condiția de înaltă fidelitate este realizată dacă eroarea practică este mai mică de 0,1%.

Pentru implementarea matricei ROM cu diode este necesară stabilirea coeficientului de demultiplicare maxim dat de raportul:

$$k_{n\text{max}} = \frac{f_{\text{cuarț}}}{f_{\text{Do}}} \quad (2)$$

Numărul de ranguri  $n$  al demultiplicatorului este dat de relația  $2^n \leq k_{n\text{max}}$  (3) care reprezintă numărul de circuite integrate basculante bistabile, matricea comandând starea CBB-urilor prin setarea sau inițializarea lor (din semnalele  $\bar{S}$  și  $\bar{R}$ ).

Organizarea internă a memoriei ROM cu diode se face calculând forma cuvintului care produce divizarea frecvenței cuarțului prin coeficienții de demultiplicare. Pentru aceasta se definește numărul de completare  $N$  a unui cuvânt ca fiind:

$$N = 2^n - k_n \quad (4)$$

unde  $n$  este numărul de ranguri. De asemenea, numărul de completare poate fi scris ca o sumă a puterilor lui 2:

$$N = \sum_{i=1}^m 2^{i-1} \quad (5)$$

unde  $i$  este numărul rangurilor care trebuie transformate în starea logică „1”, iar  $m$  este numărul maxim

de ranguri de care avem nevoie pentru a transforma această stare.

De exemplu, considerind  $f_{\text{cuarț}} = 3,186 \text{ MHz}$  și  $f_{\text{Do}} = 4186 \text{ Hz}$ , coeficientul de demultiplicare este  $k_n = 761,1 = 761$ , pentru care se obține frecvența practică  $f_{\text{Do}} = 4186,59 \text{ Hz}$ , ceea ce presupune o eroare  $\Delta f = 0,0014\%$ . Cunoscând coeficientul de demultiplicare  $k_n$  pentru nota Do din octava 8 se calculează numărul de ranguri  $n = 10$  (condiția  $2^{10} = 1024 > 761$ ) și numărul de completare  $N = 2^{10} - 761 = 263$ . Descompunem numărul  $N$  în puteri ale lui 2 după relația (5); astfel se obține  $N = 2^0 + 2^1 + 2^2 + 2^8$ . Numărul de

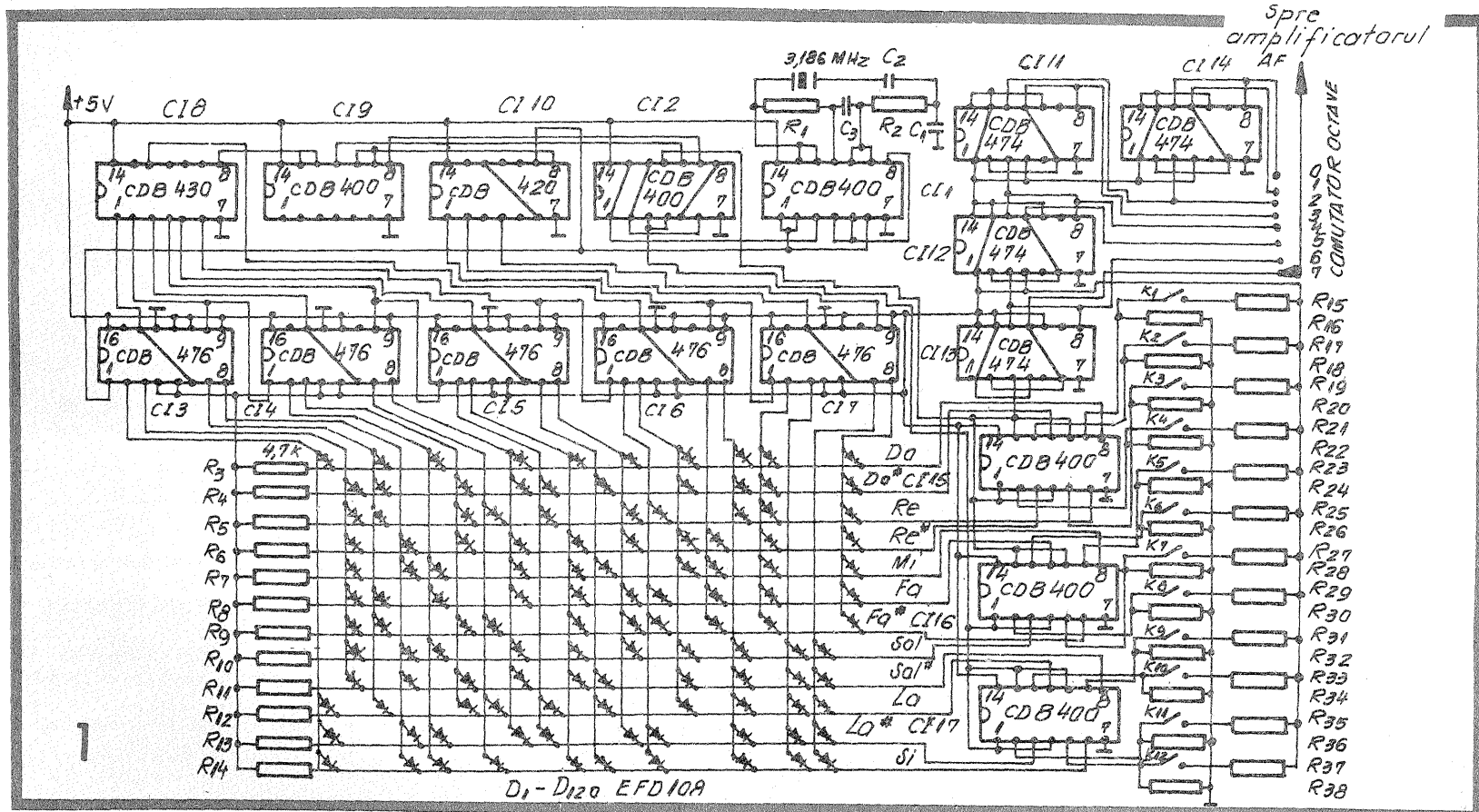
ranguri care trebuie transformate în starea unitară pe intrarea  $\bar{S}$  este dat de relațiile:

$$\begin{aligned} i_1 - 1 &= 0 & i_1 &= 1 \\ i_2 - 1 &= 1 & i_2 &= 2 \\ i_3 - 1 &= 2 & i_3 &= 3 \\ i_8 - 1 &= 8 & i_8 &= 9 \end{aligned}$$

deci vor fi conectate CBB-urile: primul, al doilea, al treilea și al nouălea la intrarea  $\bar{S}$ ; celelalte CBB-uri vor fi legate la intrarea  $\bar{R}$ . Avantajul unei astfel de matrice ROM constă în faptul că acționarea lor rapidă nu depinde de coeficienții de demultiplicare.

Nota octava 8	$k_n$ f. cuarț f. STAND	f. STAND Hz	f. PRACTIC Hz	ERORILE $\Delta f\%$
Do	761,1 ≈ 761	4186,0	4186,59	0,0014
Do*	718,3 ≈ 718	4435,0	4437,31	0,052
Re	678,57 ≈ 678	4698,6	4699,1	0,01
Re*	640,12 ≈ 640	4978,0	4978,12 <i>f. practica</i>	0,0025
Mi	604,09 ≈ 604	5274,0	5274,89	0,015
Fa	570,1 ≈ 570	5587,0	5589,47	0,033
Fa*	538,17 ≈ 538	5920,0	5921,93	0,032
Sol	507,9 ≈ 508	6272,0	6271,6	0,015
Sol*	479,47 ≈ 480	6644,8	6637,5	0,109
La	452,55 ≈ 453	7040,0	7033,11	0,097
La*	427,1 ≈ 427	7458,6	7461,35	0,036
Si	403,17 ≈ 403	7902,2	7905,70	0,044

Tabel 1: COEFICIENȚII DE DEMULTIPLICARE ȘI ERORILE PRACTICE



Pentru divizarea frecvenței cuarțului se folosesc zece CBB-uri JK, care sînt implementate să lucreze ca divizori ai puterilor lui 2. Semnalele culese de pe ieșirile Q sînt introduse într-un circuit logic SAU. Semnalul astfel obținut este introdus într-un divizor de frecvență prin  $2^p$ , format din CBB-uri de tip D, care divizează frecvența notei din octava 8, obținîndu-se, cu ajutorul unui comutator de octave, frecvențele notelor din octavele 0, 1, ..., 7.

În figura 1 se dă schema de prin-

cipiu, în care componentele au următorul rol:

$CI_1 = CDB400HE$ ;  $R_1 = R_2 = 1 \text{ k}\Omega$ ;  $C_1 = 47 \text{ pF}$ ;  $C_2 = 18 \text{ pF}$ ;  $C_3 = 4,7 \text{ nF}$  — generator de înaltă frecvență;

$CI_2 = CDB400HE$  — decuplarea generatorului de sarcină și fazarea semnalului;

$D_1 - D_{120} = EFD108$ ;  $R_3 - R_{14} = 4,7 \text{ k}\Omega$  — matrice ROM cu diode;

$CI_3 - CI_7 = CDB476E$  — demultiplicator de frecvență;

$CI_8 = CDB430E$ ;  $CI_9 = CDB400E$ ;  $CI_{10} = CDB420E$  — sumator SAU

$CI_{11} - CI_{14} = CDB474E$  — demultiplicator de octavă;

$CI_{15} - CI_{17} = CDB400E$ ;  $R_{15} = R_{17} = \dots = R_{37} = 1,5 \text{ k}\Omega$ ;  $R_{16} = R_{18} = \dots = R_{38} = 1 \text{ k}\Omega$  — circuit pentru evitarea apariției deformării și a întîrzierii semnalelor scurte de impuls.

În figurile 2 și 3 se dă cablajul imprimat, iar în tabelele 1 și 2 se dau valorile frecvențelor pentru notele muzicale.

Pentru realizarea unui instrument muzical pe două voci este necesară realizarea a 12 asemenea

aparate. Se va ține cont de faptul că circuitele logice SI-NU trebuie să aibă un coeficient de derivație mai mare de 30.

#### BIBLIOGRAFIE:

1. G. Grisiu, Radio, nr. 3/1980, p. 56—57
2. Gh. Mitrofan, Generatoare de impulsuri liniar variabile, Editura Tehnică, București, 1980.
3. Colecția „Tehnum”.

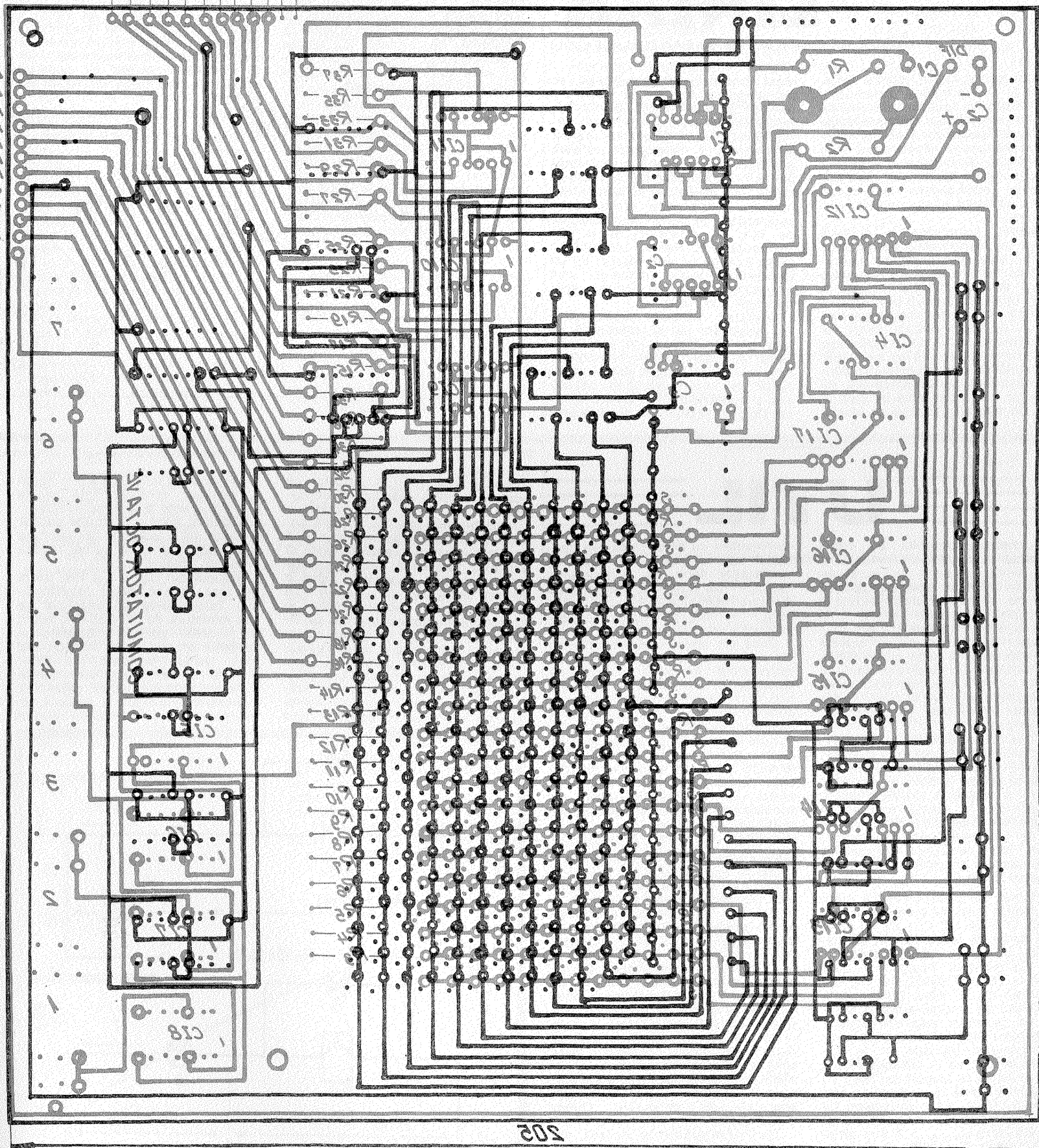
(CONTINUARE ÎN PAG. 17)

9 8 7 6 5 4 3 2 1 0

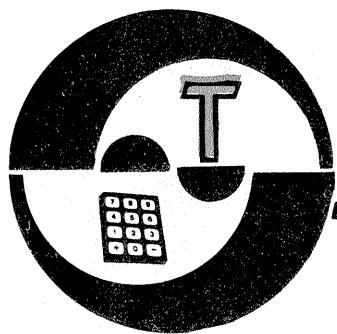
## CABLAJ CIRCUIT IMPRIMAT

Scara 1:1

2-3



202



## CAPACIMETRU LINIAR

Pagini realizate de fiz. A. MĂRCULESCU

Instrumente cu o utilitate indiscutabilă în laboratorul constructorilor amatori, capacimetrele sînt totuși frecvent evitate de către aceștia, fie din cauza complexității schemelor, fie pentru motive mai mult sau mai puțin obiective privitoare la performanțele montajelor, la exigențele recomandate de autori pentru calitatea componentelor utilizate etc.

Alături de propunem o schemă simplă de capacimetru cu indicație liniară, care utilizează ca instrument de măsură un miliampermetru c.c. cu deviația maximă a acului la 1 mA (poate fi obținut, prin șuntare adecvată, din orice microampermetru c.c. cu scala divizată liniar), iar ca element activ un amplificator operațional de tip  $\beta A741$  sau similar. Montajul este recomandat pentru măsurarea condensatoarelor de orice tip, cu capacitatea de pînă la  $1\mu F$ . De exemplu, pentru un instru-

ment gradat 0—10 sau 0—100, se pot alege ca domenii de măsurare 0—100 pF, 0—1 nF, 0—10 nF, 0—100 nF, 0—1  $\mu F$ .

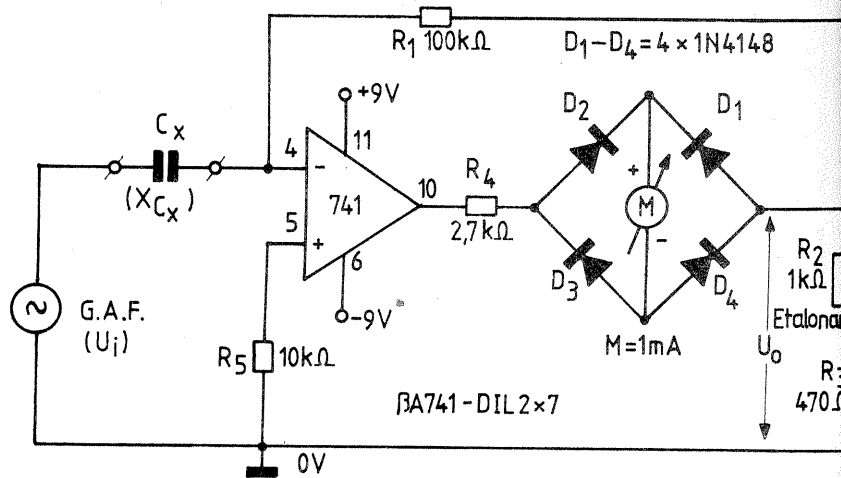
Singurul inconvenient al montajului constă în necesitatea realizării prealabile a unui generator sinusoidal de audiofrecvență, cu cîteva trepte fixe de frecvență și nivel (se pretează foarte bine acestui scop oscilatoarele în punte Wien, descrise pe larg în numerele 8—9/1984 ale revistei; la ieșirea oscilatorului se va adăuga un etaj repetor cu un tranzistor, pentru obținerea unei impedanțe joase de ieșire, recomandabil sub 1 k $\Omega$ ).

Analizînd schema capacimetrului, observăm că ea reprezintă de fapt un amplificator de audiofrecvență cu operaționalul în configurație inversoare, avînd drept „rezistență” de intrare reactanța capacitivă a condensatorului  $C_x$  de măsurat ( $X_{C_x} = 1/2\pi f C_x$ ), iar ca rezistență

de reacție pe  $R_1$ , de valoare fixă. Pentru o frecvență  $f$  dată, cîștigul în tensiune al amplificatorului este (în modul)  $G_v = R_1/X_{C_x} = 2\pi f R_1 C_x$ , deci direct proporțional cu capacitatea  $C_x$ , de unde și liniaritatea indicației acului în funcție de variația lui  $C_x$ .

Instrumentul  $M$  este montat în diagonală plus-minus a punții redresoare  $D_1-D_4$ , aceasta din urmă fiind plasată în bucla de reacție negativă a amplificatorului, în serie cu rezistența de limitare  $R_4$ . Ieșirea amplificatorului debitează pe grupul serie  $R_2 + R_3$ , care servește la etalonarea capului de scală.

În ceea ce privește etalonarea propriu-zisă, sînt posibile mai multe aranjamente practice, după cum constructorului îi vine mai ușor să regleze frecvența generatorului de la intrare sau tensiunea eficace la bornele acestuia. Să considerăm un domeniu oarecare de măsurare, de exemplu 0—1 nF. Evident, pentru valoarea maximă a lui  $C_x$ , adică pentru  $C_x = 1$  nF, acul instrumentului va trebui să indice la cap de scală, ceea ce înseamnă că instrumentul va fi parcurs de un curent cu intensitatea medie de 1 mA. O variantă comodă de calibrare constă în realizarea deviației ma-



## UTIL

Proprietatea becurilor cu incandescență de a „stabiliza”, între anumite limite, curentul ce le traversează în raport cu tensiunea aplicată la borne este cunoscută și utilizată în montajele electronice atunci cînd pretențiile de stabilitate nu sînt prea ridicate, beneficiindu-se în schimb de simplitatea și largă accesibilitate ale metodei. Un exemplu tipic de acest fel îl reprezintă stabilizarea amplitudinii de ieșire la oscilatoarele în punte Wien (vezi „Tehnum” nr. 8/1984, pag. 5).

În cele ce urmează propunem constructorilor începători analizaarea unui alt exemplu în care metoda oferă o soluție simplă și eficientă pentru o problemă practică destul de delicată. În esență, este vorba despre limitarea curentului absorbit de un releu electromagnetic, atunci cînd tensiunea disponibilă de alimentare prezintă variații semnificative în timp.

Concret, să presupunem că avem o sursă de tensiune continuă,  $U$ , variabilă în plajă (10 V ÷ 24 V), de la care dorim să alimentăm în permanentă un releu electromagnetic, Rel. De exemplu, în cazul în care sursa  $U$  este un stabilizator reglabil alimentat de la rețea, releul poate avea rolul de a cupla automat la ieșire un generator autonom (baterii, acumulator etc.) în momentul întreprinderii tensiunii de rețea.

Este evident că în asemenea condiții va trebui să alegem un releu cu anclanșare fermă la o tensiune mică de 10 V. Să presupunem că avem un releu cu tensiune nominală de lucru  $U_{rel\ nom} = 6$  V și rezistența bobinei  $R_{rel} = 200 \Omega$  (deci cu un curent nominal de 30 mA). Efectuînd în prealabil cîteva probe ex-

perimentale cu acest releu, s-a constatat că el începe, de fapt, să anclanșeze ferm de la tensiunea  $U_{rel\ min} = 5$  V ( $I_{min} = 25$  mA) și poate fi supravoltat pînă la  $U_{rel\ max} = 9$  V ( $I_{max} = 45$  mA), fără încălzirea periculoasă a bobinei.

Dacă am apela la soluția clasică de limitare a curentului prin releu introducînd în serie cu bobina acestuia o rezistență  $R$  adecvată (fig. 1), dificultatea problemei ar consta tocmai în alegerea acestei rezistențe astfel ca releul să funcționeze ferm și în siguranță deplină pentru întreaga plajă de variație a tensiunii  $U$ . Pentru a asigura anclanșarea fermă a releului, la dimensionarea lui  $R$  trebuie luată în considerare valoarea minimă a tensiunii de alimentare,  $U_{min} = 10$  V. Rezultă în acest caz:  $R = (U_{min} - U_{rel\ min})/I_{min} = (10\text{ V} - 5\text{ V})/25\text{ mA} = 200 \Omega$ .

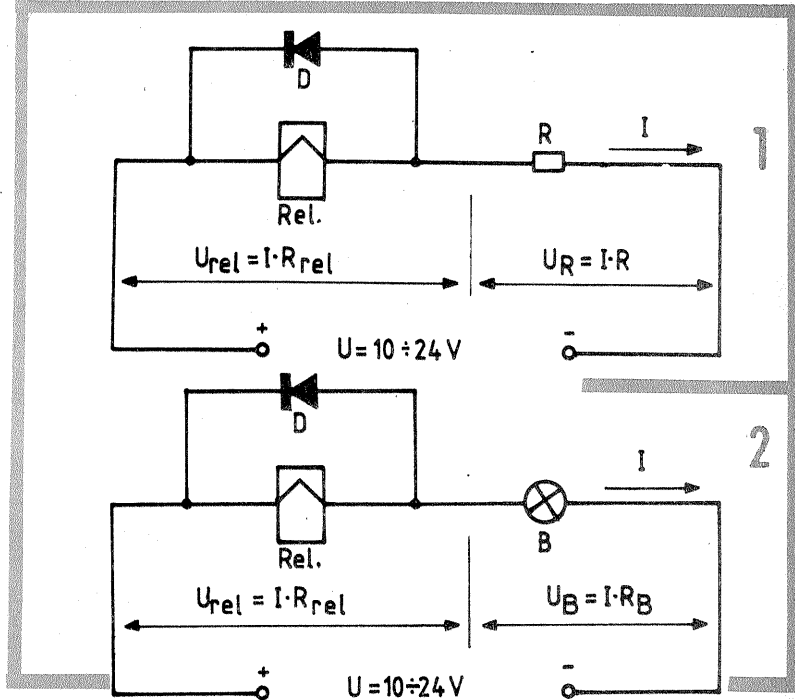
Valoarea obținută nu corespunde însă din celălalt punct de vedere, al siguranței în funcționare. Într-adevăr, pentru tensiunea maximă de alimentare,  $U_{max} = 24$  V, curentul prin circuit ar fi  $I = 24\text{ V}/(200 \Omega + 200 \Omega) = 60$  mA, ceea ce înseamnă o tensiune la bornele releului de 12 V. La o funcționare îndelungată, o astfel de supraalimentare a releului este periculoasă sau în orice caz contraindicată, bobina sa putîndu-se încălzi excesiv, chiar pînă la deteriorarea izolatorului, urmată de scurtcircuit între spire etc. (releul menționat are bobinajul executat cu conductor CuEm  $\varnothing 0,16$  mm).

După cum arătam la început, am preferat limitarea curentului absorbit de releu prin introducerea în serie cu bobina acestuia a unui bec cu

incandescență (fig. 2). Repetat pe scurt, principiul „stabilizării” de curent cu bec serie este următorul: pentru tensiuni mici la bornele becului (mult sub valoarea nominală a acestuia), curentul absorbit este și el mic, filamentul rămîne relativ rece, rezistența sa ohmică avînd o valoare scăzută; pe măsură ce crește tensiunea aplicată, implicit și curentul prin bec, filamentul se încălzește, rezistența sa crește corespunzător, ducînd la o tendință contrară, de scădere a curentului. Practic se stabilește un echilibru dinamic, concretizat prin creșterea neliniară a intensității curentului  $I$  în raport cu tensiunea  $U_B$  aplicată, după

o curbă avînd forma celei din figura 3. Desigur, corespondența exactă  $I = F(U_B)$  este o funcție caracteristică pentru fiecare exemplar de bec în parte (la o anumită temperatură ambiantă), dar alura curbei rămîne în esență aceeași.

Grful din figura 3 a fost trasat pe baza determinărilor experimentale, folosindu-se un exemplar de bec miniatură de 12 V/50 mA, sortat în prealabil pentru a corespunde scopului propus. Vom înțelege mai bine modul în care s-a făcut această sortare dacă vom considera dependența inversă,  $U_B = f(I)$ , reprezentată în figura 4, curbă 1. Într-adevăr, pentru tensiunea minimă



f (Hz)	U <sub>i</sub> (V <sub>ef</sub> )	Cx pentru deviația acului la cap de scală
18 000	1	100 pF
1 800	1	1 nF
180	1	10 nF
18	1	100 nF
18	0,1	1 μF

xime a acului pentru tensiunea medie de ieșire de 1 V (componentele R și R<sub>2</sub> au fost alese de fapt în această idee, permițând ajustarea fină a rezistenței totale de ieșire în jurul valorii de 1 kΩ). Să nu uităm însă faptul că prin redresarea bialternanță a tensiunii alternative sinusoidale, între valoarea medie și valoarea eficace a tensiunii apare relația  $U_{ef} = \pi U_{med} / 2 \approx 1,11 U_{med}$ . Prin urmare, unei tensiuni medii de ieșire de 1 V îi va corespunde valoarea eficace de cca 1,11 V<sub>ef</sub>.

Revenind la etalonarea domeniului propus, să introducem în montaj condensatorul Cx = 1 nF și să aplicăm la intrare o tensiune sinusoidală cu frecvența f și valoarea eficace U<sub>i</sub>. Să presupunem, de exemplu, că generatorul ne oferă frecvență reglabilă, în trepte fixe de nivel. Fie U<sub>i</sub> = 1 V (se subînțelege, valoarea eficace). Pentru a obține la ieșire U<sub>o</sub> ≈ 1,11 V, trebuie să asigurăm un câștig al amplificatorului de cca 1,11 ori, adică să alegem frecvența generatorului astfel ca reactanța condensatorului Cx = 1 nF să fie de cca R/1,11 = 100 kΩ/1,11 ≈ 90 kΩ. Rezultă f = 1/2 · Cx · X<sub>Cx</sub> = 1/2 · 3,14 · 10<sup>-9</sup> (F) · 90 · 10<sup>3</sup> (Ω) ≈ 1 770 Hz ≈ 1,8 kHz.

Selectăm din generator această frecvență, alimentăm circuitul și urmăm indicația instrumentului. Prin ajustarea fină a lui R<sub>2</sub> (inițial pus pe

valoarea maximă inserată), asigurăm deviația acului la cap de scală pentru tensiunea de ieșire de cca 1,1 V<sub>ef</sub>, măsurată între punctul I și masă. La nevoie, pentru satisfacerea acestei condiții putem ajusta fin frecvența generatorului în jurul valorii de 1,8 kHz.

Cu aceasta, etalonarea domeniului este încheiată, putându-se trece la măsurarea altor condensatoare conectate la bornele Cx, pentru care instrumentul va indica liniar între zero și 1 nF. Precizia măsurătorilor depinde de numeroși factori (precizia instrumentului și a condensatorului folosit pentru etalonare, stabilitatea generatorului, variațiile mai pronunțate ale temperaturii ambiante etc.), dar în orice caz se pot asigura ușor erori relative maxime de ordinul câtorva procente, total acceptabile dacă ne gândim la abaterile reale ale capacității condensatoarelor obișnuite față de valorile nominale inscripționate.

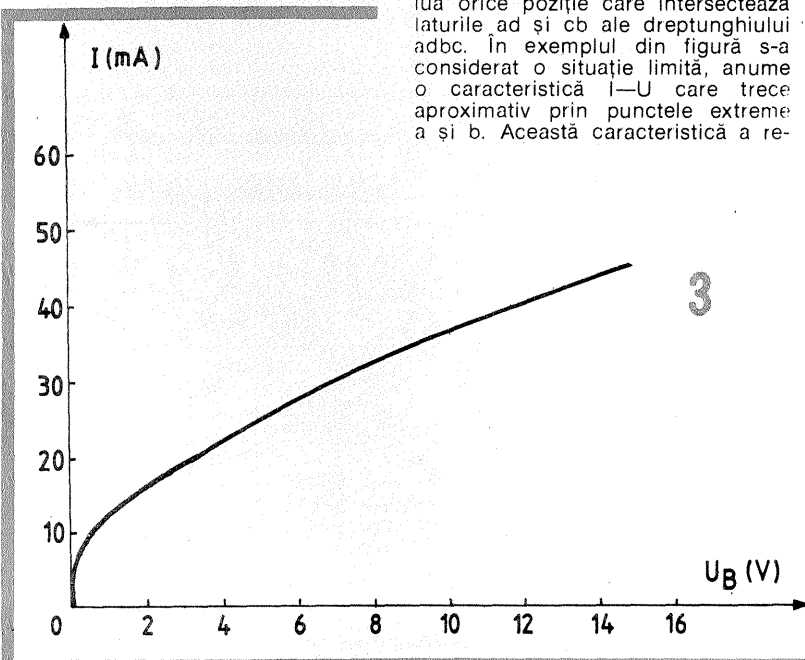
În mod similar se stabilesc condițiile de etalonare pentru toate domeniile propuse. De exemplu, în tabelul alăturat este indicată una din variantele posibile, care implică existența unui generator sinusoidal cu nivel fix de ieșire de 1 V pentru frecvențele de 18 kHz, 1,8 kHz, 180 Hz și 18 Hz, respectiv cu nivel fix de 0,1 V pentru frecvența de 18 Hz.

de alimentare, U<sub>min</sub> = 10 V, noi trebuie să-i asigurăm releului un curent de cel puțin I<sub>min</sub> = 25 mA, respectiv o tensiune la borne U<sub>rel min</sub> = 5 V. Prin urmare, vom căuta un bec care să absoarbă curentul I<sub>min</sub> = 25 mA pentru o tensiune la bornele sale de aproximativ U<sub>B</sub> = U<sub>min</sub> - U<sub>rel min</sub> = 10 V - 5 V = 5 V. În cazul exemplarului ales am obținut U<sub>B</sub> (25 mA) ≈ 5,1 V.

O altă condiție impusă becului este determinată de limita superioară a tensiunii de alimentare, U<sub>max</sub> = 24 V, când la bornele releului va trebui să asigurăm o tensiune cel mult egală cu U<sub>rel max</sub> = 9 V, care corespunde unui curent prin releu egal cu I<sub>max</sub> = 45 mA. Prin urmare, becul ales va trebui să aibă curentul de 45 mA

pentru o tensiune aproximativ egală cu U<sub>B</sub> = U<sub>max</sub> - U<sub>rel max</sub> = 24 V - 9 V = 15 V; în exemplul considerat am obținut U<sub>B</sub> ≈ 14,8 V (chiar dacă becul, nominal de 12 V/50 mA, este aparent supravoltat, el suporta fără pericol curentul de 45 mA, tensiunea sa nominală fiind o valoare aproximativă, de la care exemplarele concrete se pot abate frecvent cu 2-3 V).

Pentru generalizarea celor arătate mai sus, în figura 4 s-au reprezentat paralelele la axele de coordonate U = U<sub>min</sub>, U = U<sub>max</sub> și respectiv I = I<sub>min</sub>, I = I<sub>max</sub>, care delimitează zona permisă de lucru în cazul montajului din figura 2. Mai precis, curba de variație a curentului I prin grupul serie releu + bec în funcție de tensiunea U aplicată poate lua orice poziție care intersectează laturile ad și cb ale dreptunghiului adbc. În exemplul din figură s-a considerat o situație limită, anume o caracteristică I-U care trece aproximativ prin punctele extreme a și b. Această caracteristică a re-



zultat prin însumarea grafică a ordonatelor corespunzătoare curbilor 1 și 2, ceea ce revine la a scrie ecuația fundamentală pentru circuitul din figura 2:

$$U = U_{rel} + U_B = I \cdot R_{rel} + f(I)$$

Practic, pentru soluționarea problemei propuse corespunde orice tip de bec miniatură (I ≥ 50 mA, U<sub>B nom</sub> = 12 ÷ 24 V), a cărui caracteristică U<sub>B</sub> = f(I) satisface condițiile: U<sub>B</sub>(I<sub>min</sub>) ≈ f(I<sub>min</sub>) ≤ U<sub>min</sub> - U<sub>rel min</sub> și U<sub>B</sub>(I<sub>max</sub>) ≈ f(I<sub>max</sub>) ≥ U<sub>max</sub> - U<sub>rel max</sub>.

Sortarea becului se reduce astfel la măsurarea tensiunii U<sub>B</sub> pentru cele două intensități extreme de cu-

rent și alegerea unui exemplar care să satisfacă aproximativ inegalitățile de mai sus.

În încheiere, menționăm că metoda descrisă poate fi aplicată în numeroase alte situații practice, chiar la curenți mai mari, existând și becuri special construite pentru acest scop. Deși nu este vorba propriu-zis de o stabilizare în curent, adeseori limitarea oferită de acest procedeu este salvatoare în cazul unor fluctuații semnificative ale tensiunii de alimentare, indiferent dacă se lucrează în curent continuu sau alternativ.

# TAA 320

Circuitul integrat monolitic TAA320 este compus, în esență, dintr-un tranzistor MOSFET și un tranzistor bipolar npn (combinație cunoscută sub simbolul MOST), incluse într-o capsulă metalică TO-18 așa cum se arată în figura 1. Dispozitivul este destinat în primul rând amplificării în audiofrecvență, în cazurile care impun impedanță ridicată de intrare (de exemplu, pentru dozele cu cristal, pentru microfoanele-

condensator etc.). De asemenea, el poate fi folosit în numeroase alte aplicații care solicită impedanțe mari, ca de exemplu în circuitele de temporizare, în adaptoarele de impedanță etc.

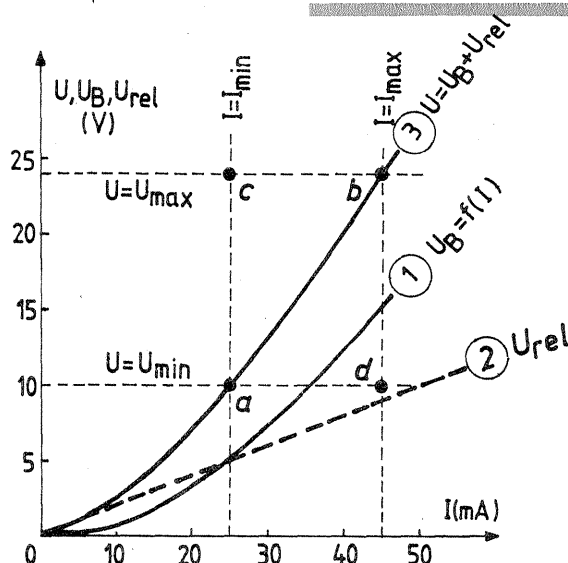
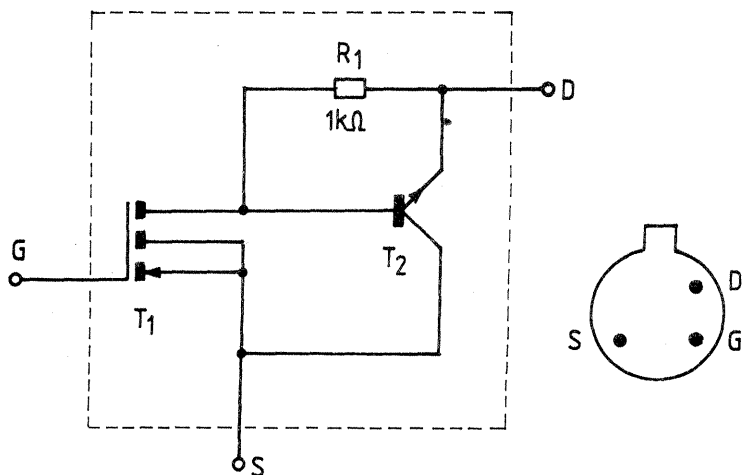
Dintre principalele caracteristici tehnice indicate în catalogul firmei producătoare (PHILIPS, Bipolar ICs for radio and audio equipment, IC1.01-83) menționăm:

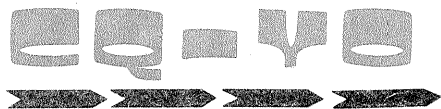
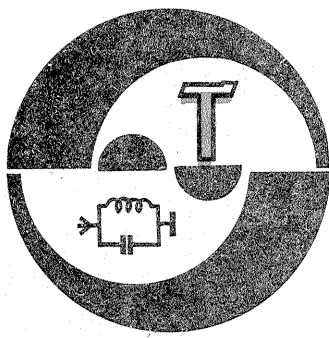
- tensiunea drenă-sursă (pentru V<sub>GS</sub> = 0):
- curentul de drenă:
- tensiune grilă-sursă (pentru I<sub>D</sub> = 0):
- rezistența grilă-sursă:
- puterea totală de disipație (T<sub>amb</sub> 25 °C):
- domeniul temperaturii ambiante de lucru:
- admitanța de transfer:

- V<sub>DS</sub> = max. 20 V
- I<sub>D</sub> = max. 25 A
- V<sub>GS0</sub> = max. 20 V
- r<sub>GS</sub> > 100 GΩ
- P<sub>tot</sub> = max. 200 mW
- T<sub>amb</sub> = -20 °C ÷ +125 °C
- typ. = 75 mΩ<sup>-1</sup> (40 ÷ 120)

Pentru a preîntîmpina străpungerea stratului de oxid de către tensiunile electrostatice acumulate pe poartă (favorizate de rezistența foarte mare poartă-sursă), terminalele dispozitivului sînt scurtcircuitate cu ajutorul unui inel elastic me-

talizat. Acest inel va fi îndepărtat la utilizare, după conectarea integratului în montaj. O măsură suplimentară de protecție o constituie cositorirea terminalelor cu letconul deconectat de la rețea.





# GENERATOR DE FRECVENȚE

Ing. ANDRIAN NICOLAE, YO3DKM

Pentru cazul în care nu se dispune de cristalele de cuarț necesare VFX-ului prezentat în nr. 1/1986, se descrie în continuare un generator care utilizează ca frecvență de bază valoarea de 10,7 MHz, presupusă a fi chiar purtătoarea SSB din transceiver sau receptorul de trafic. De asemenea, cristalele de 10,7 MHz sînt mult mai ușor accesibile radioamatorilor.

După cum se poate urmări pe schema-bloc din figura 1, la o intrare a mixerului M1 se aplică frecvența de 10,7 MHz, iar la cealaltă semnalul de 200 kHz furnizat de un oscilator LC. În acest caz se obține o frecvență de 10,5 MHz, care se selectează cu ajutorul filtrului FTB 1. Stabilitatea acestei frecvențe este dată de cea a oscilatorului FO. Din cauza frecvenței foarte joase a oscilatorului FO, s-a constatat o deviație de cca 1—2 Hz în prima oră de funcționare, după care s-a stabilit. Deci, practic, semnalul de 10,5 MHz are o stabilitate excelentă pentru scopul propus. În acest mod se pot utiliza și alte cristale în locul lui 10,7 MHz, diferența pînă la 10,5 fiind compensată din oscilatorului FO. De la ieșirea filtrului de bandă, frecvența de 10,5 MHz urmează două căi. Cu ajutorul generatorului de armonice GA și al filtrului de bandă FTB 2 se obține frecvența de 21 MHz, iar la ieșirea divizorului D rezultă 3,5 MHz, care se filtrează cu ajutorul circuitului FTB 3. În acest fel, pentru banda de 7 MHz s-a obținut semnalul  $F_x = 3,5$  MHz (vezi tabelul din articolul VFX), iar pentru banda de 14 MHz semnalul de 10,5 MHz, care a rezultat la ieșirea filtrului FTB 1.

Frecvența de 21 MHz, mixată în etajul M2 împreună cu semnalul de 3,5 MHz, ajută la obținerea frecvențelor  $F_x$  necesare benzilor de 21 și 28 MHz.

Dezavantajul constă în acoperi-

rea parțială a benzii de 28 MHz (28—28,5 MHz). Obținerea celorlalte subgame ar duce la o complicație exagerată a schemei electrice (fig. 2). Oscilatorul FO este realizat cu tranzistoarele T<sub>1</sub>, T<sub>2</sub> și T<sub>3</sub>. Bobina L<sub>1</sub> se realizează pe un miez oală de ferită cu inductanța specifică A<sub>L</sub> = 100. Conține 55 de spire din CuEm  $\varnothing = 0,2$  mm. Se poate realiza pe orice alt tip de miez cu modificarea corespunzătoare a numărului de spire. Semnalul de 10,7 MHz se culege chiar de la ieșirea oscilatorului XO1 (VFX), înfășurarea L<sub>2</sub>.

Mixerul M1 utilizează circuitul integrat ROB025 (CI—1). La ieșirea acestuia se conectează filtrul de bandă FTB 1 (L<sub>3</sub>, L<sub>4</sub>, L<sub>5</sub>). Semnalul filtrat este amplificat de tranzistoarele T<sub>4</sub>, T<sub>5</sub>. Frecvența de 10,7 MHz se aplică simultan generatorului de armonice (D<sub>3</sub>) și divizorului D, realizat cu circuitul integrat CDB492E (CI—2). Frecvența dublată (21 MHz) se filtrează cu ajutorul circuitelor rezonante L<sub>6</sub>, C<sub>16</sub> și L<sub>7</sub>, C<sub>17</sub> și se amplifică cu tranzistorul T<sub>6</sub> (FTB 2).

Bobinele L<sub>10</sub>—L<sub>15</sub> se realizează în aer, avînd diametrul interior de 7 mm, iar sîrma din CuEm  $\varnothing = 0,6...0,8$  mm. L<sub>3</sub>, L<sub>4</sub> conțin cîte 8 spire, L<sub>5</sub> are 3 spire, L<sub>6</sub>, L<sub>7</sub> cîte 5 spire, iar L<sub>8</sub> conține 3 spire. De la ieșirea divizorului, semnalul

dreptunghiular de 3,5 MHz se filtrează cu ajutorul circuitului rezonant L<sub>9</sub>, C<sub>20</sub> (FTB 3). Cele două frecvențe rezultate la ieșirile filtrelor FTB 2 și FTB 3 se mixează cu ajutorul circuitului integrat ROB025 (CI—3). La ieșirea acestui mixer (M2) rezultă suma (24,5 MHz) și diferența (17,5 MHz), care reprezintă tocmai frecvențele necesare VFX-ului pentru benzile de 21 și 28 MHz. Deoarece amplitudinea acestor două semnale este foarte mică, a fost necesară introducerea unui amplificator realizat cu tranzistoarele T<sub>7</sub> și T<sub>8</sub>. Cuplarea frecvențelor de 3,5 și 10,5 MHz se realizează direct la filtrul FTB 4 fără a mai fi amplificate. L<sub>10</sub>, L<sub>11</sub>, L<sub>12</sub> și L<sub>13</sub> conțin cîte 6 spire din CuEm  $\varnothing = 0,6...0,8$  mm și avînd diametrul interior de 7 mm.

## PUNEREA ÎN FUNCȚIUNE. REGLAJE

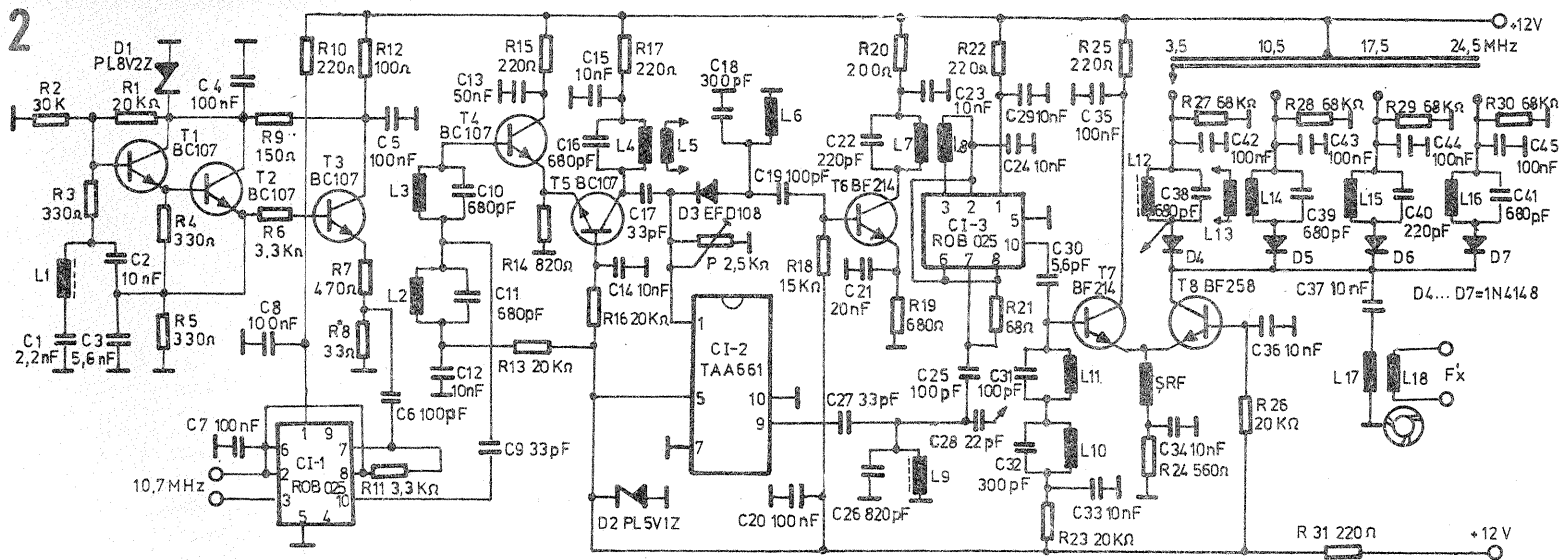
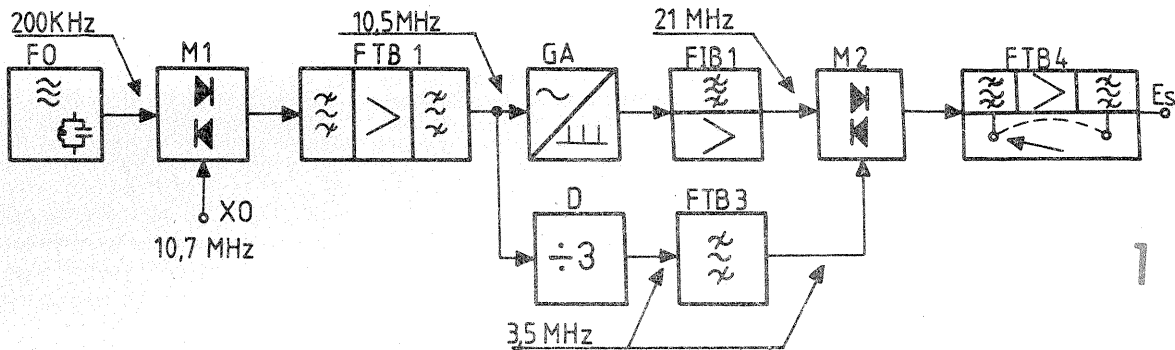
După ce s-a verificat corectitudinea montării tuturor componentelor, se dezlipesc la cîte un terminal toate rezistoarele care sînt conectate la +12 V (R<sub>10</sub>, R<sub>15</sub>, R<sub>17</sub>, R<sub>20</sub>, R<sub>22</sub>, R<sub>23</sub>, R<sub>31</sub>) și cursorul comutatorului K. Se aplică tensiunea de alimentare, iar în emițătorul tranzistorului T<sub>3</sub> se cuplează un osciloscop și un frecvențmetru. Pe osciloscop se observă forma de undă care trebuie să fie sinusoidală, iar pe frecvențmetru se citește valoarea frecvenței. Dacă frecvența este diferită de 200 kHz, se reglează corespunzător miezul bobinei.

În continuare se cuplează osciloscopul în colectorul tranzistorului T<sub>4</sub>, prin intermediul unei rezistențe de cca 2...3 k $\Omega$ , și se dezlipeste capătul condensatorului C<sub>1</sub> dinspre circuitul integrat CI—1, care se conectează la un generator de radiofrecvență ce furnizează un semnal de cca 50 mV. Se conectează în montaj rezistențele R<sub>14</sub> și R<sub>15</sub>. Se reglează frecvența generatorului la valoarea de 10,7 MHz. Prin apropierea sau depărtarea spirelor bobinei L<sub>1</sub> se urmărește obținerea unui minim pe ecranul osciloscopului. După aceea se reglează frecvența pe 10,5 MHz și din reglajul bobinelor L<sub>2</sub> și L<sub>3</sub> se urmărește obținerea unui maxim. Această operație fiind terminată, se conectează în montaj condensatorul C<sub>16</sub>. La pinii 2 și 3 ai mixerului se conectează

frecvența de 10,7 MHz. Se alimentează circuitul integrat CI—1 prin lipirea terminalului rezistenței R<sub>10</sub>, după care se rețușează acordul bobinei L<sub>3</sub> pentru obținerea unui maxim de semnal în colectorul tranzistorului R<sub>4</sub>. Apoi se cuplează frecvențmetrul la pinul 9 al circuitului integrat CI—2 și osciloscopul la capătul cald al bobinei L<sub>6</sub> și se lipeste R<sub>17</sub> în montaj. Se reglează rezistența P pînă cînd frecvențmetrul indică 3,5 MHz. Din miezul bobinei L<sub>6</sub> se reglează maximumul pe osciloscop. După efectuarea acestui reglaj se trece osciloscopul în colectorul tranzistorului T<sub>6</sub>. Din generator se injectează un semnal (21 MHz, cu amplitudinea de cca 200 mV) în anodul diodei D<sub>3</sub>. Cuplarea se realizează printr-o capacitate de 10 pF. Se conectează în montaj rezistența R<sub>20</sub>.

Condensatorul C<sub>1</sub> se decuplează din montaj la unul din capete. Prin apropierea sau depărtarea spirelor bobinelor L<sub>6</sub> și L<sub>7</sub> se efectuează reglajul pe maxim de semnal în colectorul tranzistorului T<sub>6</sub>. Se decuplează generatorul și se lipeste la loc C<sub>17</sub>, apoi se rețușează acordul bobinelor L<sub>10</sub> și L<sub>11</sub>.

Înainte de a alimenta mixerul M2 (CI—3), se efectuează reglajul filtrului de bandă FTB 4. Se conectează R<sub>23</sub> și cursorul comutatorului K la tensiunea de +12 V, iar osciloscopul în colectorul tranzistorului T<sub>7</sub>. Se trece comutatorul pe poziția 3,5 MHz și se reglează miezul bobinei L<sub>12</sub> pe maxim de semnal, după care se trece comutatorul K pe poziția 10,5 MHz și se reglează spirele bobinei L<sub>14</sub> și cuplajul prin intermediul bobinelor L<sub>3</sub> și L<sub>15</sub>, astfel încît să se obțină un maxim. În continuare se trece comutatorul K pe poziția 17,5 MHz, iar generatorul se cuplează în baza tranzistorului T<sub>7</sub>, prin intermediul unui condensator de 10 pF. Frecvența generată va fi de 17,5 MHz și amplitudinea de cca 50...100 mV. Se reglează bobinele L<sub>10</sub> și L<sub>11</sub> pentru obținerea unui maxim de semnal. Aceeași operație se efectuează și pe poziția 24,5 MHz. După efectuarea acestor reglaje se deconectează generatorul și se alimentează circuitul integrat CI—3 prin lipirea rezistenței R<sub>22</sub>. În final se rețușează acordul pe ultimele două poziții ale comutatorului.



# OSCILATORUL CLAPP

Prof. MIHAI CORUȚIU,  
Liceul „C.A. Rosetti” - București

Montajele care produc oscilații electromagnetice, numite și oscilatoare, au foarte multe aplicații în aparatul electronic. Ele sînt folosite în radioreceptoarele superheterodină pentru a realiza schimbarea de frecvență sau sînt utilizate pentru producerea heterodinării cu frecvență intermediară în cazul recepției semnalelor telegrafice. Aceste montaje sînt folosite și ca excitatoare în emițătoarele radio sau ca generatoare de calibrare.

Aceste exemple nu epuizează, fără îndoială, domeniul lor vast de aplicabilitate.

Dintre condițiile esențiale pe care trebuie să le îndeplinească un etaj oscilator menționăm, în continuare, următoarele două:

- a) stabilitatea în frecvență;
- b) constanța amplitudinii semnalului generat.

Trebuie precizat de la început că îndeplinirea acestor două condiții de bază este relativ dificil de realizat.

Vom prezenta în cele ce urmează unul dintre cele mai stabile oscilatoare cu frecvență variabilă, și anume oscilatorul Clapp. Acesta comportă asemănări remarcabile cu un altul, numit oscilatorul Colpitts. În figurile 1 și 2 se poate observa marea asemănare între aceste două oscilatoare. Diferența constă în legarea elementelor circuitului oscilant: la oscilatorul Colpitts condensatorul  $C_V$  și bobina  $L$  sînt legate în paralel (fig. 1), în timp ce la oscilatorul Clapp (fig. 2) acestea sînt legate în serie.

Afîț într-un montaj cît și în celălalt, cele două condensatoare de reacție  $C_1$  și  $C_2$  servesc la întreținerea oscilațiilor. Valoarea ridicată a acestor condensatoare la oscilatorul Clapp (1 nF și chiar mai mult) contribuie la obținerea unei mari stabilități în frecvență.

O altă caracteristică a oscilatorului Clapp constă în faptul că oscilațiile produse prezintă armonice cu amplitudini foarte mici. Aceasta constituie un avantaj care, pe lîngă stabilitatea în frecvență, permite evitarea acordării emițătoarelor pe frecvențe nedorite.

Oscilatorul Clapp prezintă și dezavantaje. Unul dintre acestea constă în faptul că banda de frecvențe produse este îngustă, ceea ce explică utilizarea lui pe scară mică în benzile de radiodifuziune. Totuși, pentru benzile de radioamatori, care sînt mai puțin întinse, acest inconvenient este minor.

Un al doilea dezavantaj constă în faptul că tensiunea de ieșire nu este constantă; ea scade o dată cu creșterea frecvenței, adică rotind butonul condensatorului variabil din po-

ziția „închis” către poziția „deschis”, tensiunea de ieșire de înaltă frecvență scade.

În figura 3 este prezentată schema electrică a unui oscilator Clapp care utilizează un tranzistor cu efect de cîmp și două tranzistoare bipolare. Tensiunea de alimentare a montajului nu este critică, fiind cuprinsă între 15 V și 20 V. Tensiunea de alimentare a tranzistorului cu efect de cîmp este stabilizată cu ajutorul unei diode Zener de 12 V. Se remarcă în circuitul oscilant prezența diodei 1N914, care are rolul de a micșora amplitudinea oscilațiilor produse.

Cu scopul de a evita producerea oscilațiilor parazite, în circuitul drenă și în circuitul porții au fost puse două rezistoare de 33  $\Omega$  și respectiv de 6,8  $\Omega$ . Rezistorul de 6,8  $\Omega$ , montat în circuitul porții, nu trebuie să depășească valoarea indicată pentru că aceasta ar influența negativ factorul de calitate al circuitului oscilant. În locul celor două rezistoare pot fi utilizate trei perle din ferită fixate pe terminalele tranzistorului cu efect de cîmp.

Semnalul cu frecvența de 5 MHz produs de oscilator este cules de pe sursa tranzistorului BF245 și aplicat, prin intermediul unui condensator și al unui rezistor  $R$ , pe baza tranzistorului tampon. Condensatorul are o capacitate de valoare mică (8,2 pF) pentru a decupla cît mai mult posibil etajul oscilator de restul montajului. Valoarea rezistenței  $R$  (care are rolul de a reduce nivelul semnalului aplicat pe baza tranzistorului următor) va fi determinată experimental. Ea are ordinul de mărime de zeci de kilohmi și se determină astfel încît la ieșirea montajului (colectorul celui de-al doilea tranzistor BF173) tensiunea să fie 1  $V_{ef}$  (I.F.). Această determinare se va face cu ajutorul unui volt-

metru electronic prevăzut cu o sondă de I.F. În cazul în care constructorul nu dispune de un astfel de instrument, va folosi un rezistor cu rezistența de 50 k $\Omega$ .

Etajul separator prezintă o impedanță mare de intrare, astfel încît el nu influențează circuitul oscilant.

Cel de-al treilea etaj, prevăzut tot cu un tranzistor de tipul BF173, este un amplificator aperiodic în colectorul căruia semnalul de 5 MHz are o valoare de aproximativ 1  $V_{ef}$ . În cazul în care se urmărește obținerea unui nivel mai ridicat, este suficient să se folosească un circuit acordat în colectorul acestui tranzistor.

În figura 4 este arătat etajul amplificator prevăzut la ieșire cu un filtru de bandă pentru obținerea unei tensiuni de aproximativ 3  $V_{ef}$ . Cele două înfășurări ale filtrului de bandă sînt realizate pe același suport, la o distanță de 4 mm una de alta. Această distanță determină coeficientul de cuplaj între cele două circuite oscilante și deci influențează banda de trecere a filtrului (5 MHz la 5,5 MHz). Cele două înfășurări conțin fiecare 60 de spire din sîrmă de cupru emailat de 0,2 mm și sînt realizate pe o carcasă cu un diametru de 8 mm. La fiecare capăt al carcăsei se află cîte un miez reglabil din ferită. În aceste condiții se obține pentru fiecare bobină o valoare a inductanței de aproximativ 12  $\mu$ H.

Cele două rezistoare cu rezistența de 8,2 k $\Omega$ , situate în circuitele oscilante care formează filtrul de bandă, au rolul de a amortiza aceste circuite pentru ca nivelul semnalului de ieșire să fie aproximativ constant în întreaga bandă de I.F.

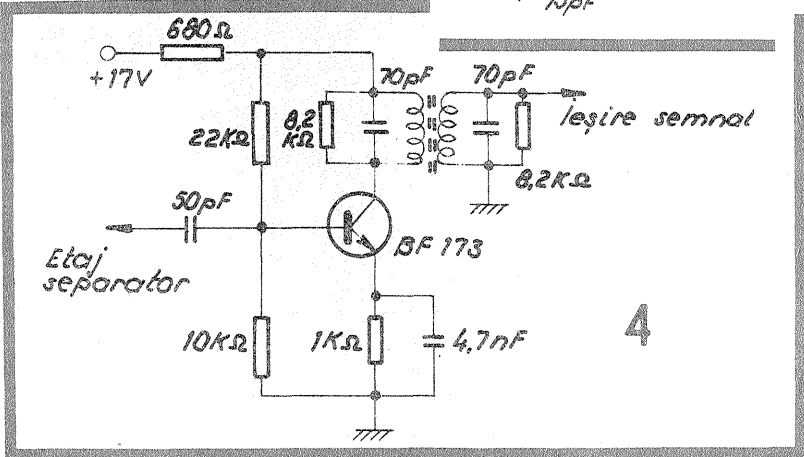
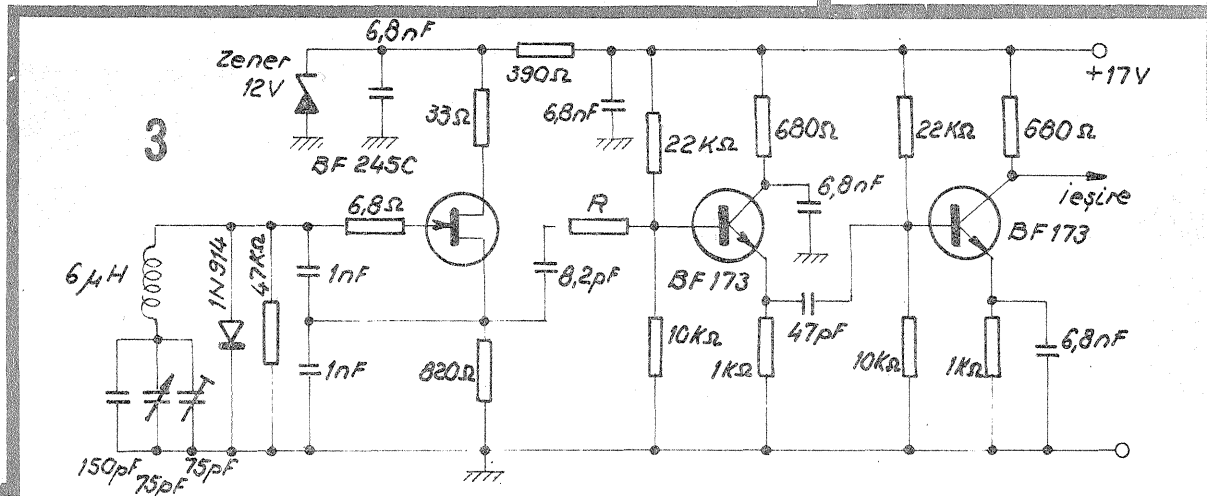
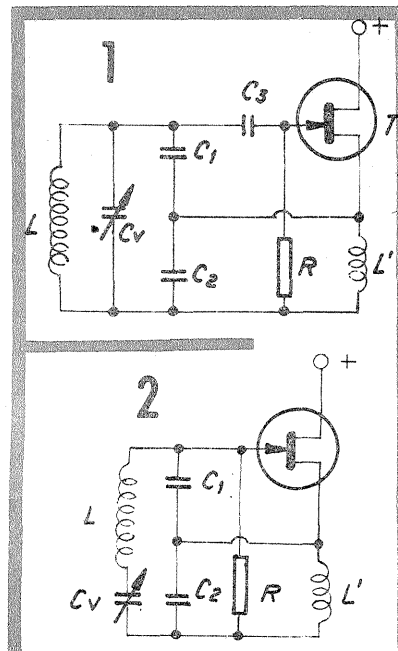
În cazul în care se utilizează un filtru de bandă, este necesar să se limiteze amplificarea, mărind valoarea rezistorului  $R$  situat în baza primului tranzistor BF173 pînă la cîteva sute de kilohmi. Valoarea exactă va fi determinată experimental, așa cum s-a arătat mai înainte. Cu scopul de a obține același rezultat se poate micșora capacitatea condensatorului de cuplaj dintre sursa tranzistorului cu efect de cîmp și rezistorul  $R$ .

Pentru a verifica funcționarea montajului se folosește un voltmetru electronic prevăzut cu o sondă de I.F., care se conectează la sursa

de tensiune este nulă, aceasta înseamnă că oscilatorul nu funcționează. În acest caz trebuie să fim foarte atenți la rezistența internă a voltmetrului, care poate dezamorsa oscilațiile. Pentru a evita acest lucru este recomandabil să se folosească o scară mai mare a voltmetrului (de exemplu 50 V, în loc de 10 V). Evident, lectura nu va fi mai precisă, dar ceea ce contează este să se constate numai prezența unei tensiuni negative pe poartă. Un alt procedeu este acela de a măsura tensiunea pe sursă, unde trebuie să găsim aproximativ valoarea de 2,5 V. Cu o șurubelniță se scurtcircuitează poarta la masă. În acest caz, oscilațiile încetează și tensiunea sursei trebuie să crească. Dacă această tensiune nu crește, înseamnă că oscilatorului nu funcționează.

În cazul în care se găsește pe poartă o tensiune pozitivă, trebuie să schimbăm tranzistorul cu efect de cîmp.

Se poate verifica funcționarea oscilatorului și în alt mod, anume ascultînd semnalul produs într-un receptor, fie fundamentală, fie una din armonice (a treia se găsește în



tranzistorului cu efect de cîmp. În cazul în care se măsoară o tensiune de I.F. de aproximativ 1  $V_{ef}$  sîntem siguri că oscilatorul funcționează. Această verificare se va face cu condensatorul variabil complet închis (5 MHz). Rotind apoi butonul condensatorului variabil, se constată că tensiunea de I.F. scade lent. Dacă în cursul acestei operații oscilatorul încetează să funcționeze, trebuie să micșorăm capacitățile condensatoarelor de reacție, care pe schemă sînt de 1 nF fiecare.

În absența voltmetrului menționat putem folosi și unul obișnuit cu care măsurăm tensiunea pe drenă (aproximativ 12 V), pe sursă (aproximativ 2,5 V) și pe poartă (aproximativ -1,5 V). Dacă la ultima măsură-

banda de 14 MHz, iar a patra în banda de 21 MHz).

După ce ne-am asigurat de funcționarea oscilatorului, trebuie să verificăm etajele cu cele două tranzistoare bipolare. Tensiunile și curenții lor sînt identici. Astfel, curențul absorbit este de 4 mA, iar tensiunile sînt: pe colector 14 V, pe bază 4,6 V, iar pe emitor 4 V. Chiar și în cazul în care cel de-al doilea tranzistor BF173 este prevăzut la ieșire cu un filtru de bandă, cele trei tensiuni sînt tot timpul aceleași.

Pentru reglajul de frecvență se va folosi un dip-metru (a se vedea revista „Tehniu” nr. 3/1985). Pentru o verificare mai precisă se va utiliza un frecvențmetru sau un receptor bine calibrat.



# FILTRU DINAMIC REDUCĂTOR DE ZGOMOT-DNF

Ing. ALEXANDRU HARBIC

Filtrul dinamic reducător de zgomot poate elimina fluierăturile de pe bandă, zgomotele atmosferice la transmisiile radio, zgomotele înregistrărilor pe discuri etc. Acest echipament reducător de zgomot aditional la un echipament HI-FI îmbunătățește substanțial calitatea audii și nu necesită codificarea și decodificarea semnalului audio, ceea ce îl face compatibil pentru orice fel de sursă audio.

În esență, DNF este un filtru audio trece-jos controlat în tensiune, a cărui frecvență de tăiere este în continuă schimbare, în concordanță cu caracteristica sursei audio, eliminând zgomotele perturbatoare.

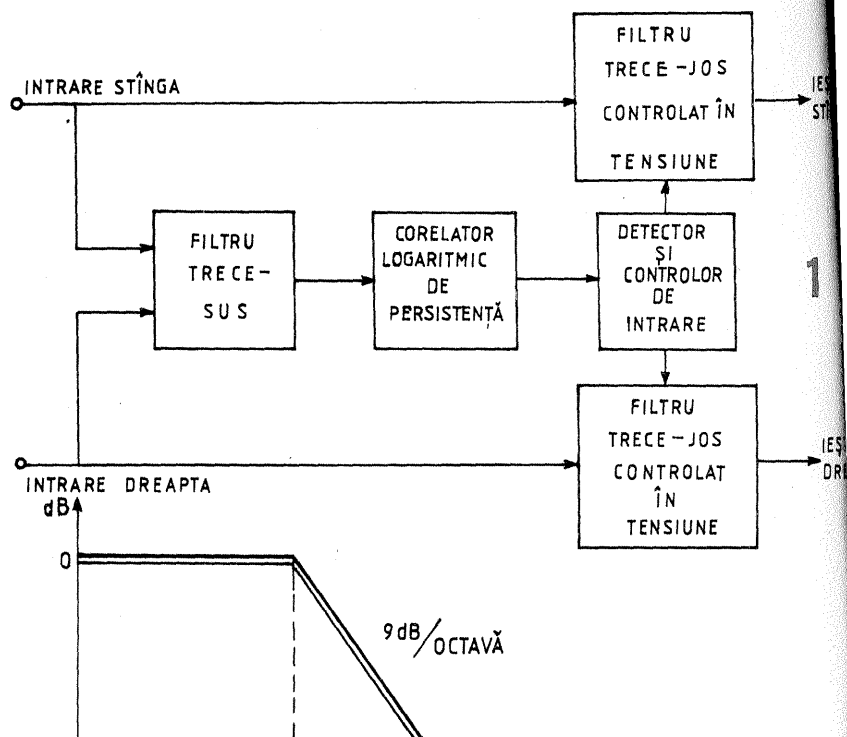
Asemănător cu sistemul DNL (Philips), DNF-ul acționează asupra semnalelor audio de nivel scăzut, sau, în absența acestora,

asupra zgomotelor, restituind integral semnalele de înaltă frecvență de nivel ridicat. Frecvențele de la care DNF începe atenuarea se numesc frecvențe de tăiere.

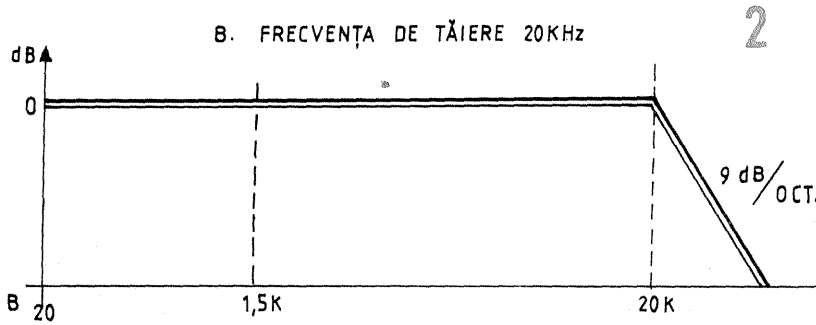
Circuitul DNF analizează permanent semnalul de intrare în funcție de amplitudine, frecvență și persistență. Acești factori determină lățimea benzii de trecere în orice moment, la fel de repede cât se schimbă filtrul trece-jos. Momentele de pornire și oprire ale acțiunii filtrului variază în funcție de programul muzical, eliminând semnalele perturbatoare.

Frecvența de tăiere variază între 1,5 kHz și 20 kHz, cu o pantă de cădere de maximum 9 dB/octavă (fig. 2).

Echipamentul poate fi utilizat atât pentru redare cit și pentru înregistrare de programe muzicale.



A. FRECVENȚA DE TĂIERE 1,5KHz



RĂSPUNSUL ÎN FRECVENȚĂ AL FILTRULUI TRECE-JOS

# INDUCTANȚE SIMULATE

Ing. EMIL MARIAN

Este cunoscut faptul că realizarea unor bobine care să prezinte o anumită inductanță și care trebuie să aibă un factor de calitate dat și în același timp un gabarit impus reprezintă o problemă dificilă pentru constructorul amator. De multe ori acesta nu deține date complete de proiectare sau nu poate găsi materialele necesare realizării practice a bobinei. O dată cu dezvoltarea și perfecționarea continuă a sistemelor de lucru cu amplificatoarele operaționale, s-a pus problema găsirii unei scheme electrice care să dețină caracteristicile funcțio-

nale ale unei inductanțe. Astfel au apărut inductanțele simulate. Ele prezintă față de cele realizate în mod obișnuit următoarele avantaje:

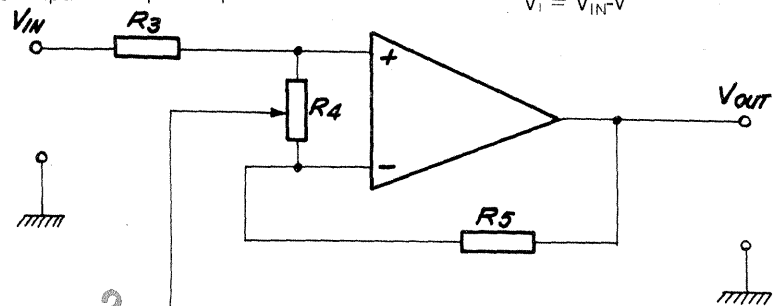
- gabarit redus;
- fiabilitate sporită în funcționare;
- stabilitate la variațiile temperaturii mediului ambiant;
- posibilitatea reglajului în trepte sau continuu al factorului de calitate.

Articolul de față își propune reprezentarea unei scheme electrice des folosite pentru realizarea unei inductanțe simulate. Se precizează

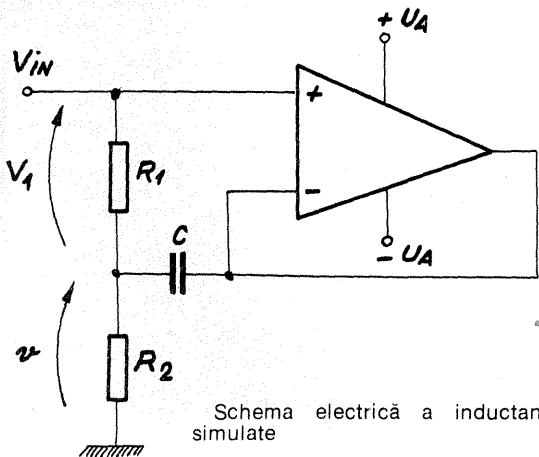
că acest tip de „bobină” este din cele cu un punct legat obligatoriu la masa montajului. Curentul de lucru este impus de tipul amplificatorului

operațional folosit. Analizând schema electrică prezentată în figura 1, rezultă următoarele relații de calcul

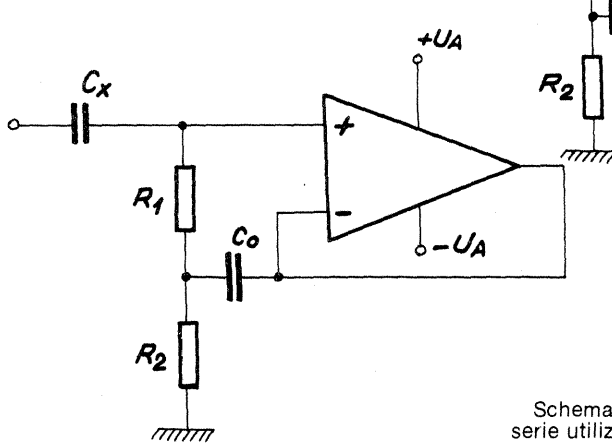
$$V_1 = V_{IN} \cdot V$$



3

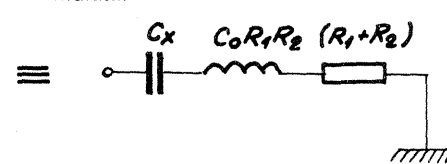


Schema electrică a inductanței simulate



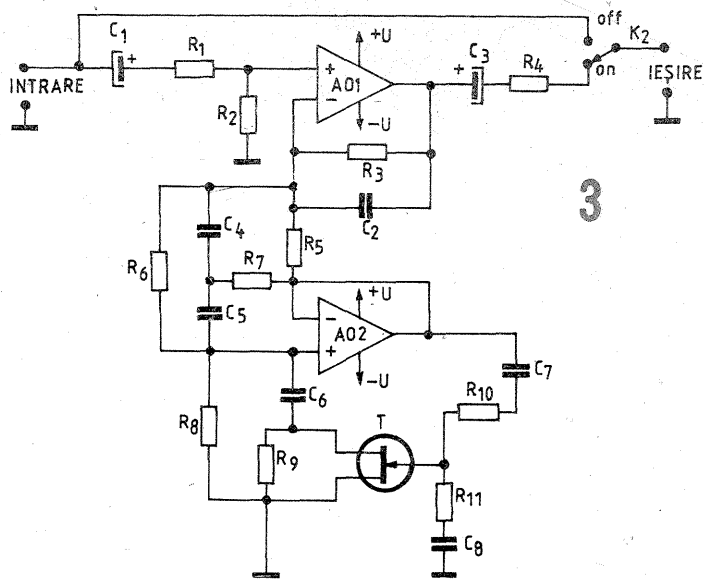
Schema electrică a unui filtru LC serie utilizând o inductanță simulată

Schema electrică a unui filtru de bandă care utilizează inductanța simulată.



2





Schema de principiu este prezentată în figura 1.

**DESCRIEREA CIRCUITULUI.** Filtrul audio trece-joș controlat în tensiune este alcătuit din circuitele integrate CI1 și CI2 (AO1 și AO2), conform figurii 3. Câștigul amplificatorului operațional AO1 este dat de raportul  $A = R_3/R_5 = 10\,000\ \Omega/1\,000\ \Omega = 10$ .

La frecvențe joase, reactanța capacitivă a condensatoarelor C4 și C5 este foarte ridicată, ceea ce determină ieșirea AO2 să acționeze ca o sursă de impedanță scăzută. La frecvențe înalte, în mod normal, impedanța condensatoarelor C4 și C5 scade și prin efect de bootstrap R5 acționează ca și cum ar crește. Astfel, amplificarea devine mai mică și filtrul atenuează frecvențele înalte în mod energetic.

Pentru a varia punctul de tăiere al filtrului, tranzistorul T (FET) are capacitatea de a șunta semnalul intrării neinversoare a AO2 la masă.

Figura 2A prezintă situația în care T este deschis și frecvențele înalte sînt atenuate, iar figura 2B prezintă

situația filtrului cînd semnalul este scurtcircuitat la masă.

Semnalul de control aplicat în poarta tranzistorului face ca banda de trecere a filtrului trece-joș să se autoajusteze pentru orice frecvență între 1,5 și 20 kHz, ceea ce dă caracterul dinamic al filtrului. Astfel, semnalele de frecvență înaltă și unele armonici ale frecvențelor fun-

**CARACTERISTICI TEHNICE** (la cele mai slabe condiții de funcționare):

- reducerea zgomotelor
- panta filtrului (maximum)
- răspuns în frecvență
- bandă de trecere minimă (filtrul nu acționează)
- dinamică
- raport semnal/zgomot (S/N)
- distorsiuni de intermodulație
- ieșire
- ieșire (maximum)
- impedanță de intrare
- impedanță de ieșire
- putere consumată

- 15 dB la 10 kHz;
- 9 dB/octavă;
- 20 Hz - 20 kHz  $\pm$  0,5 dB;
- 1 500 Hz;
- > 100 dB;
- > 85 dB la 2V c.a. ieșire,
- 20 Hz  $\pm$  20 kHz;
- < 0,01% la un raport de frecvențe de 4:1 tipic < 0,005;
- 2 V/10 000  $\Omega$ ;
- 10 V/10 000  $\Omega$ ;
- 47 k $\Omega$ ;
- 100  $\Omega$
- (220 V c.a., 50 Hz), < 8 W.

**LISTA DE MATERIALE**

**CONDENSATOARE**

C<sub>1</sub> = 1  $\mu$ F/50 V, electrolitic; C<sub>2</sub> = 680 pF ceramic; C<sub>3</sub> = 1  $\mu$ F/50 V, electrolitic; C<sub>4</sub> = 0,022  $\mu$ F/100 V, mylar; C<sub>5</sub> = 0,022  $\mu$ F/100 V, mylar; C<sub>6</sub> = 0,1  $\mu$ F/100 V, mylar; C<sub>7</sub> = 0,01  $\mu$ F/100 V, mylar; C<sub>8</sub> = 0,1  $\mu$ F, mylar; C<sub>9</sub> = 1 000  $\mu$ F/35 V, electrolitic; C<sub>10</sub> = 1 000  $\mu$ F/35 V, electrolitic; C<sub>11</sub> = 1 000  $\mu$ F/35 V, electrolitic; C<sub>12</sub> = 1 000  $\mu$ F/35 V, electrolitic.

**REZISTOARE**

R<sub>1</sub> = 47 k $\Omega$ , 0,25 W, 5%; R<sub>2</sub> = 4,7 k $\Omega$ , 0,25 W, 5%; R<sub>3</sub> = 10 k $\Omega$ , 0,25 W, 5%; R<sub>4</sub> = 100  $\Omega$ , 0,25 W, 5%; R<sub>5</sub> = 1 k $\Omega$ , 0,25 W, 5%; R<sub>6</sub> = 39 k $\Omega$ , 0,25 W, 5%; R<sub>7</sub> = 2,2 k $\Omega$ , 0,25 W, 5%; R<sub>8</sub> = 11 k $\Omega$ , 0,25 W, 5%; R<sub>9</sub> = 100 k $\Omega$ , 0,25 W, 5%.

R<sub>10</sub> = 1 M $\Omega$ , 0,25 W, 5%; R<sub>11</sub> = 1 M $\Omega$ , 0,25 W, 5%; R<sub>12</sub> = 10  $\Omega$ , 0,5 W, 5%; R<sub>13</sub> = 10  $\Omega$ , 0,5 W, 5%.

**COMPONENTE ACTIVE**

AO1, AO2 =  $\beta$ A741, varianta cu componente discrete pe fiecare canal;

(AO1 + AO2) + (AO1 + AO2) =  $\beta$ M324;  $\beta$ M2902 (I.P.R.S.);  $\mu$ A4136 (Fairchild) - varianta cu amplificator unic cvadruplu;

T<sub>FET</sub>, T<sub>FET</sub> = 2N5458; BF245;

D<sub>1</sub>; D<sub>2</sub>; D<sub>3</sub>; D<sub>4</sub> = 1N4002; 1N4007;

D<sub>5</sub> - diodă Zener de 33 V sau diodă Zener înseriate pentru 33 V.

S<sub>1</sub> - siguranță fuzibilă de 0,5 A

Alimentator stabilizat:  $\pm$ U =  $\pm$ 15 V la minimum 50 mA.

damentale joase trec, în timp ce semnalele perturbatoare (zgomote) nemascate de programul muzical sînt atenuate.

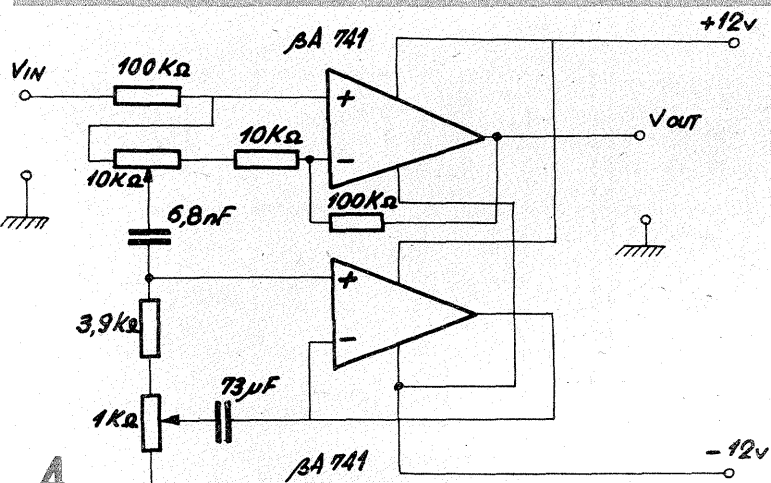
**CONSTRUCȚIE.** Montajul este relativ ușor de executat, cu performanțe ridicate. În funcție de piesele componente aflate la dispoziția constructorului, acesta poate realiza singur cablajul imprimat cu un singur circuit integrat pentru

ambele canale.

La proiectarea cablajului este bine să se țină cont de evitarea buclei de masă. De asemenea, trebuie respectate indicațiile de manipulare și plantare ale tranzistorului J-FET. Se înțelege că vor fi selectate numai componente de bună calitate.

**CALIBRARE.** Introducînd DNF-ul între ieșirea unui casetofon, pickup sau tuner și intrarea unui amplificator, echipamentul, executat corect, va funcționa de prima dată. Pentru a sesiza efectele DNF-ului se utilizează o bandă magnetică ștersă sau porțiunea de capăt (interioară) a unui disc LP. Se pornește DNF-ul prin comutatorul K<sub>2</sub> din sistemul de alimentare ales, iar comutatorul K<sub>2</sub> se trece în poziția „off”. Mărind volumul amplificatorului la un nivel la care se sesizează zgomotul de fond, se acționează comutatorul K<sub>2</sub> în poziția „on”, ceea ce va duce la dispariția zgomotului.

**Bibliografie:**  
POPULAR ELECTRONICS, aprilie 1979.



$$z = \frac{V_{IN}}{i}$$

$$i = \frac{V_1}{R_1} = \frac{V_{IN}}{R_1 + R_2 + j\omega CR_1R_2}$$

$$z = R_1 + R_2 + j\omega CR_1R_2$$

Deoarece  $z = R + j\omega L$ , rezultă

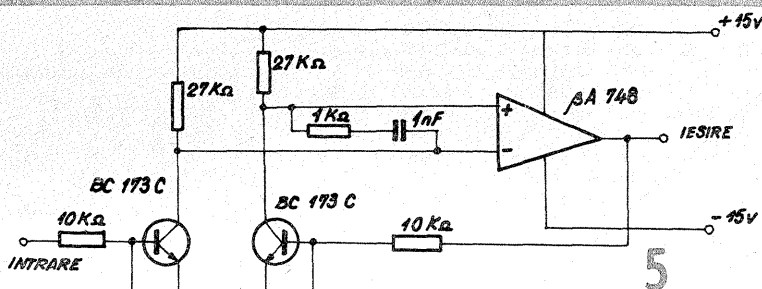
$$R = R_1 + R_2$$

$$L = CR_1R_2$$

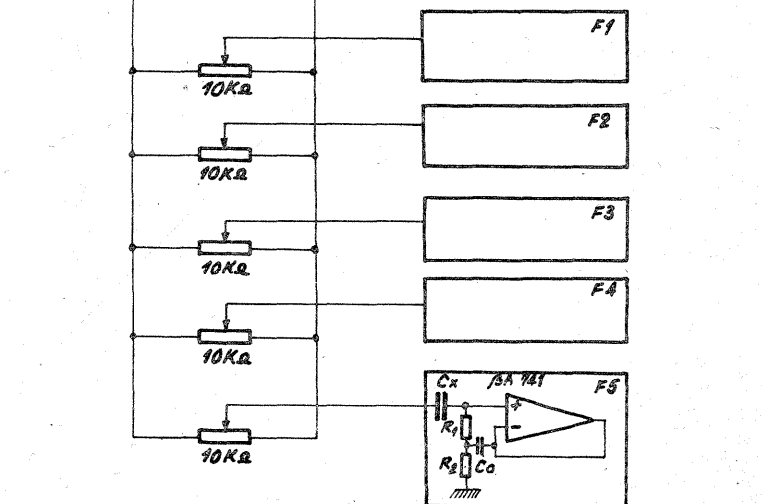
$$v = V_{IN} \left( \frac{R_2}{R_2 + \frac{R_1}{1 + j\omega CR_1}} \right), \text{ deci}$$

$$V_1 = V_{IN} \left( 1 - \frac{R_2}{R_2 + \frac{R_1}{1 + j\omega CR_1}} \right)$$

f	C	C	R	R
50 Hz	1 $\mu$ F	4,2 $\mu$ F	1,5 k $\Omega$	1,5 k $\Omega$
200 Hz	0,27 $\mu$ F	1 $\mu$ F	1,5 k $\Omega$	1,5 k $\Omega$
800 Hz	68 nF	0,27 $\mu$ F	1,5 k $\Omega$	1,5 k $\Omega$
3,2 kHz	18,8 nF	68 nF	1,5 k $\Omega$	1,5 k $\Omega$
12,8 kHz	4 nF	16,8 nF	1,5 k $\Omega$	1,5 k $\Omega$



Schema electrică a egalizorului cu inductanțe simulate



De aici se observă că impedanța care rezultă din relațiile de calcul se comporta ca o bobină înseriată cu o

rezistență, ale căror valori s-au explicat anterior.

(CONTINUARE ÎN PAG. 11)

## APLICAȚII ALE CIRCUITULUI ROB 3028

Ing. CRISTIAN COLONATI, YO4UG

Circuitul integrat ROB3028 este definit ca un amplificator diferențial cascodă, cu sursă de curent controlată, proiectat a fi folosit în echipament industrial și de telecomunicații ce lucrează în gama de frecvențe de la zero la 120 MHz. Circuitul se caracterizează și prin posibilitatea de funcționare în etajele amplificatoare de frecvență intermediară cu controlul automat al amplificării în condițiile unei game relativ largi a curentului de lucru, precum și ca etaj de amestec echilibrat, detector de produs, amplificator cascodă, amplificator diferențial echilibrat, multiplicator de frecvență.

Schema de principiu și conexiunile la capsulă sînt prezentate în figurile 1 a și 1 b. Notația terminalelor este făcută atît pentru capsula uzual fabricată în R.S.R. (CIP 2 x 7 pini), cît și pentru capsula rotundă.

Cîteva dintre performanțele și valorile parametrilor de funcționare se pot rezuma astfel:

- bandă de frecvență 0 ÷ 120 MHz (-3dB);
- cîștig diferențial în tensiune 40 dB;
- curent de polarizare AGC 1,5 mA;
- tensiune de alimentare maximum ±15 V cu o disipație de 500 mW.

Din punct de vedere funcțional, circuitul este conceput special pentru valorificarea principiilor amplificării diferențiale. ROB3028 funcționează excelent ca etaj de funcționare a elementelor active, asigură obținerea produselor de amestec (suma și diferența frecvențelor tensiunilor aplicate).

Pentru un semnal aplicat ambelor intrări, precum și lui Q3, comanda sursei de curent, se obține dublarea frecvenței semnalului de intrare.

Utilizarea circuitului în regim neliniar, supraexcitat, conduce la obținerea unor produse de amestec care conțin multiplii pari și impari ai frecvenței de intrare pînă la armonica de ordinul 10 sau chiar mai

mult, practic fără atenuări sesizabile în banda de frecvență a circuitului.

Dintre multiplele montaje prezentate în literatura de specialitate am selecționat cîteva scheme reprezentative cu aplicații directe în tehnica radiocomunicațiilor, și anume:

- amplificator de RF sau FI echilibrat, cu intrare acordată sau aperiodică (pe șoc), precum și un lanț de amplificare de FI — 500 kHz (fig. 2a, b, c, d);

- mixer echilibrat acordat și aperiodic (fig. 3a, b);
- detector de produs (fig. 4);
- oscilator—multiplicator (fig. 5), precum și un util exemplu de detecție activă folosit într-un receptor cu conversie directă (fig. 6).

Circuitele acordate cu bobinele  $L_1=L_2=L_3$  ale filtrului RF la intrare și BFO-ului, avînd acord simultan din condensatorul variabil  $3 \times 20$  pF, se pot realiza pe una din frecvențele benzilor de 3,5; 7; 14 MHz. O mare atenție se va acorda stabilității BFO-ului; tensiunea de alimentare a FET-ului stabilizată, construcție mecanică robustă.

Semnalul de BFO este injectat circuitului 3028 printr-un condensator de 5 pF.

Semnalul de audiofrecvență obținut ca urmare a detecției se aplică prin transformatorul 10:1 filtrului de JF și apoi unui etaj amplificator de audiofrecvență. Este prevăzută o sarcină audio pentru căști de mare

impedanță ( $2000 \div 4000 \Omega$ ), dar orice altă schemă de amplificare audio poate fi adaptată corespunzător.

Calitatea ansamblului este legată direct de stabilitatea oscilatorului, sensibilitatea montajului fiind deosebit de bună, mai mică de  $1 \div 2 \mu V$ .

Banda largă de frecvență, precum și parametrii schemei interne îl recomandă ca utilizare în aplicații de înaltă calitate.

### BIBLIOGRAFIE:

- Catalog I.C.S.I.T. — S. QST — februarie 1977
- The radio amateur handbook, 1980
- Ham — QTC, 1980 — 1981

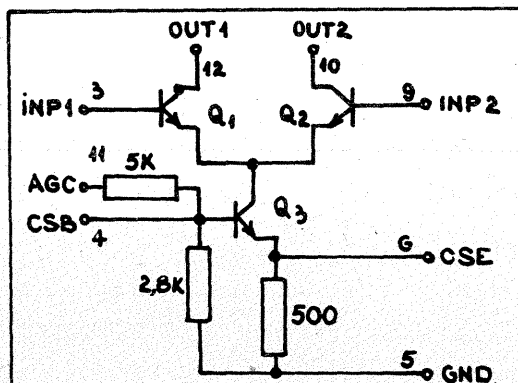


FIG. 1a: SCHEMA INTERNĂ

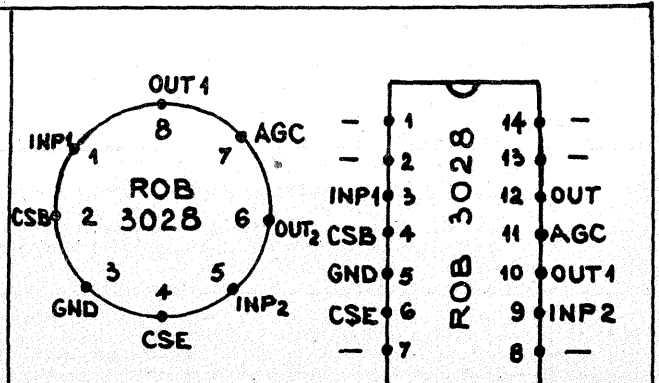


FIG. 1b

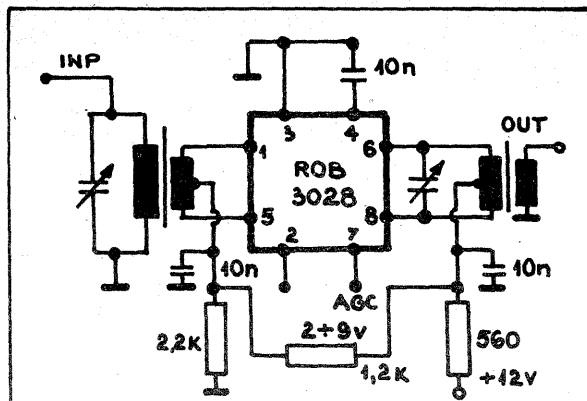


FIG. 2a: AMPLIFICATOR de RF sau FI

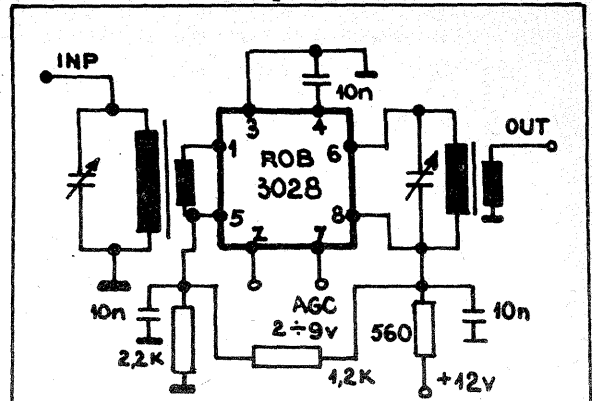


FIG. 2b: AMPLIFICATOR de RF sau FI

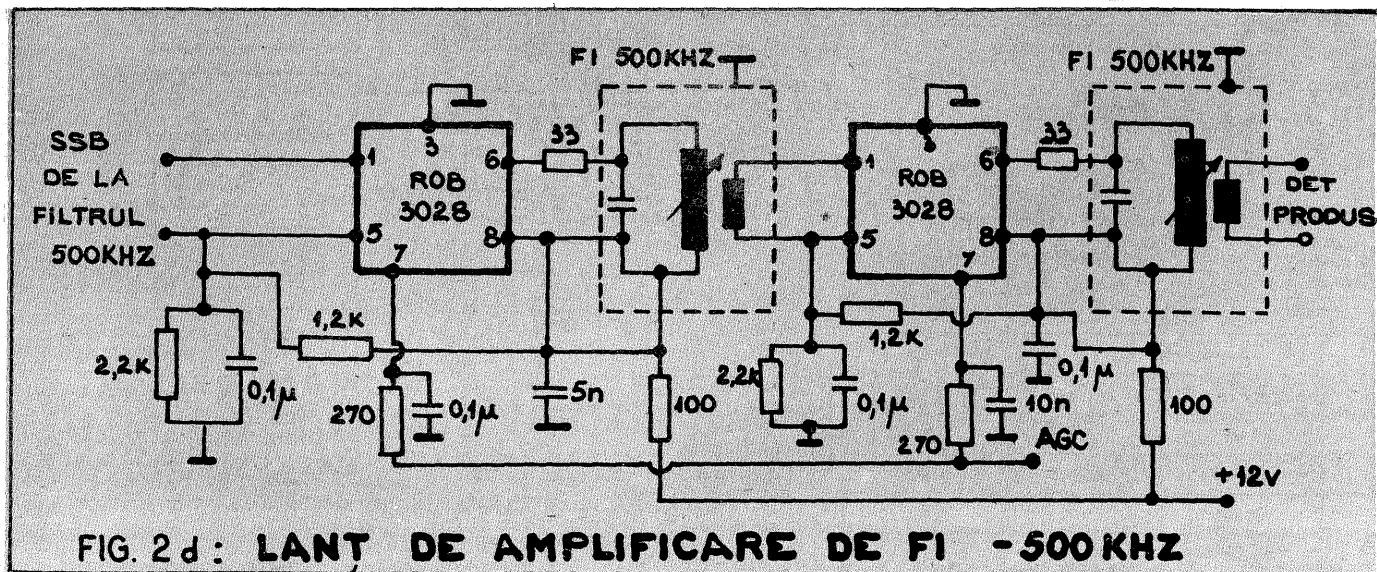


FIG. 2d: LANT DE AMPLIFICARE DE FI - 500 KHZ

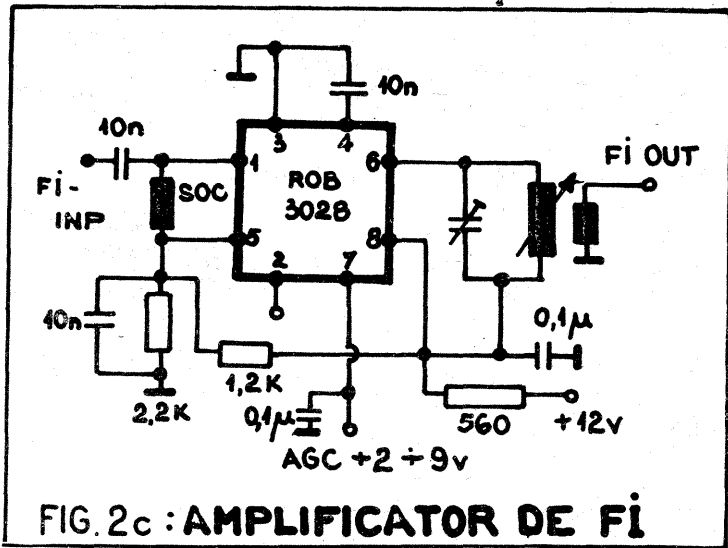


FIG. 2c : AMPLIFICATOR DE FI

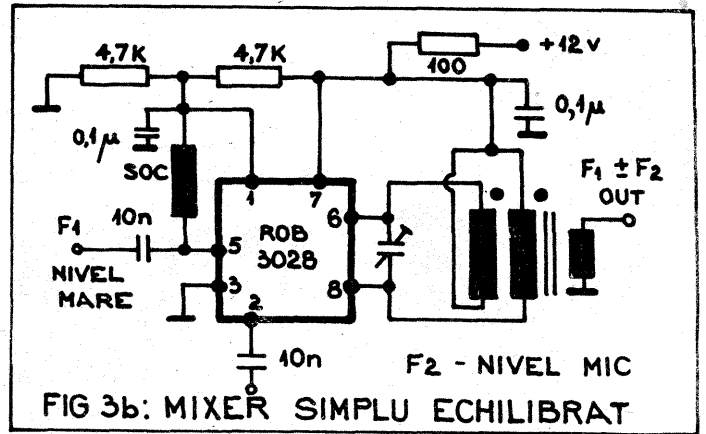


FIG 3b: MIXER SIMPLU ECHILIBRAT

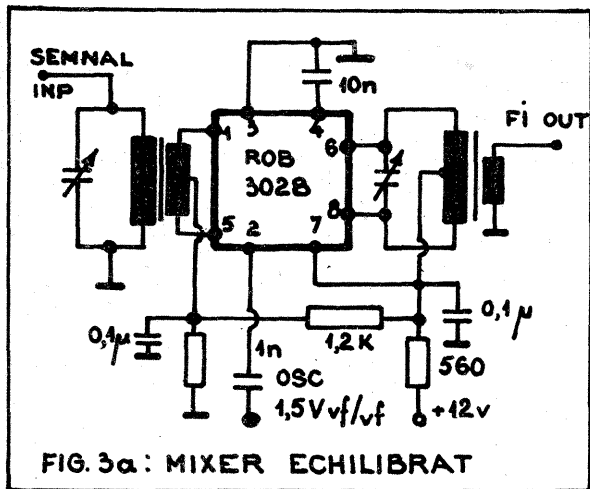


FIG. 3a : MIXER ECHILIBRAT

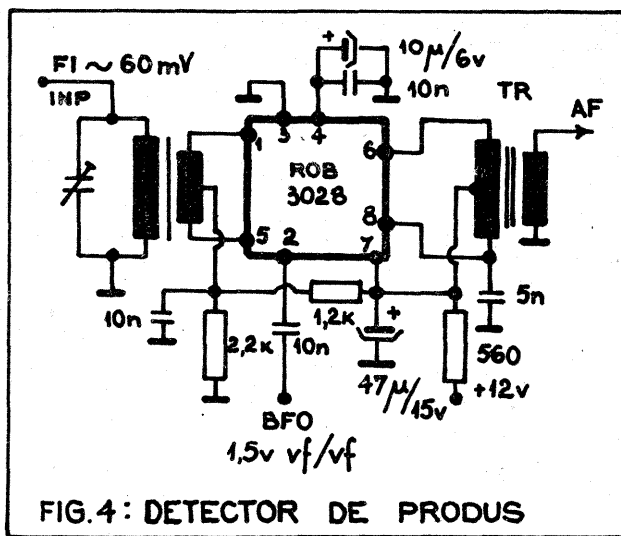


FIG. 4 : DETECTOR DE PRODUS

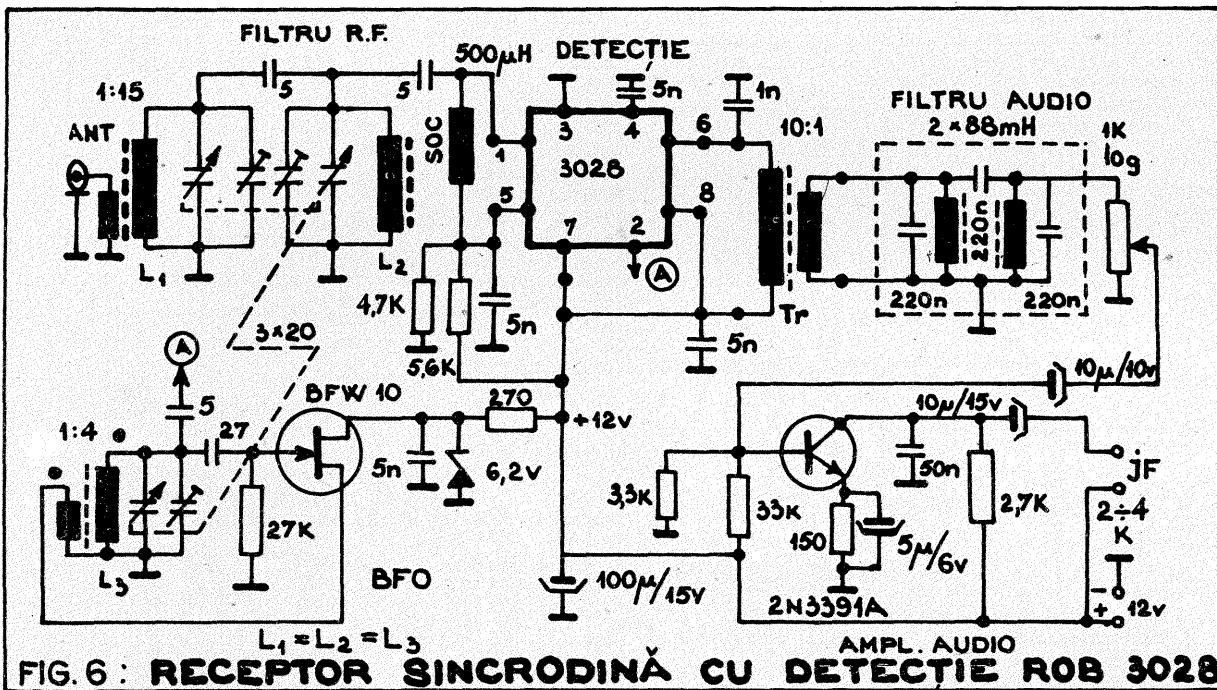


FIG. 6 : RECEPTOR SINCRODINĂ CU DETECTIE ROB 3028

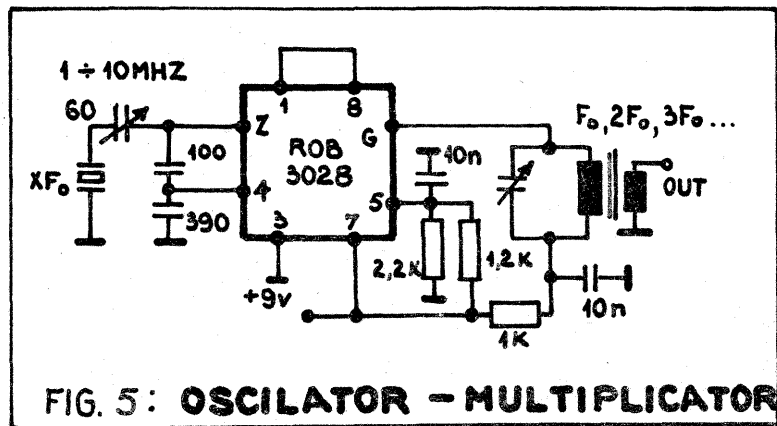


FIG. 5 : OSCILATOR - MULTIPLICATOR

(URMARE DIN PAG. 9)

Analizând comportarea schemei electrice, se observă că amplificatorul operațional trebuie să îndeplinească următoarele condiții pentru valabilitatea relațiilor deduse anterior:

- impedanță mare de intrare;
- amplificarea unitară (în cadrul schemei prezentate);
- impedanță mică de ieșire;
- comportare bună în banda de frecvențe în care „bobina” va lucra.

Aceste cerințe sînt ușor de îndeplinit de către majoritatea amplificatoarelor operaționale.

Inductanța simulată de acest tip se utilizează de cele mai multe ori la realizarea circuitelor de factură LC serie.

În figura 2 este prezentată schema electrică a unui astfel de circuit, precum și echivalența din punct de vedere al componentelor statice. Rezultă relațiile de calcul:

$$f_0 = \frac{1}{2\pi \sqrt{C_1 L}} \quad L = C_1 R_1 R_2$$

$$Q = \frac{1}{R_1 + R_2} \sqrt{\frac{L}{C_1}}$$

$$= \frac{1}{R_1 + R_2} \sqrt{\frac{R_1 R_2}{C_1}}$$

Cu acest tip de circuit se pot realiza diverse scheme electrice pentru diferite funcții.

În figura 3 este prezentată schema electrică a unui filtru de tip „oprește-banda” care utilizează inductanța simulată.

Relațiile de proiectare sînt următoarele:

$$A = 20 \log_{10} \left( 1 + \frac{R}{R_1 + R_2} \right)$$

$$C_1 = \frac{1}{2\pi f_0 (R_1 + R_2) Q}$$

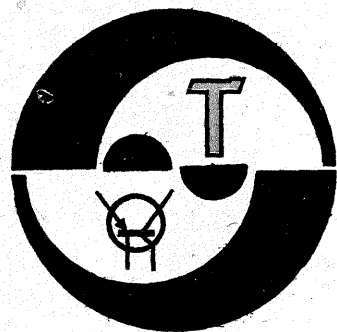
$$C = \frac{C_1 (R_1 + R_2) Q}{R R_2}$$

De obicei se cunosc frecvența de tăiere  $f_0$ , atenuarea filtrului A și factorul de calitate Q. Avînd ca necunoscute  $C_1$ ,  $R_1$ ,  $R_2$  și R, se aleg în mod convenabil R și eventual  $R_2$ , după care se rezolvă sistemul de ecuații prezentat anterior. În figura 4 este prezentată schema electrică, împreună cu valorile componentelor, a unui filtru de tip NOTCH pentru frecvența de 50 Hz. Se remarcă prezența rezistențelor semireglabile, cu care se pot ajusta frecvența centrală  $f_0$  și factorul de calitate Q al filtrului.

În figura 5 este prezentată schema electrică a unui egalizor de frecvențe cu 5 octave, care funcționează utilizînd inductanțe simulate în circuitele de corecție. Utilizînd relațiile de proiectare ale inductanței simulate, constructorul amator poate găsi și alte aplicații, avînd grijă să respecte în special prescripțiile pentru amplificatorul operațional cu care lucrează, mai ales în privința frecvenței maxime de lucru.

BIBLIOGRAFIE:

Wireless World, 1980



# TEHNICĂ MODERNĂ

# MICROCALCULATORUL

## L/B 881

(URMARE DIN NR. TRECUT)

**NICOARA PAULIAN Y03NP  
ION RUSOVICI Y03JF  
ROMEO BURADA Y09CFR**

### CUPLAREA CU TELEVIZORUL

Comunicarea dintre utilizator și microcalculator se face prin intermediul claviaturii și a monitorului TV (interfața dintre om și mașină). În numărul trecut am văzut cum se realizează claviatura, acum vom rezolva problema cuplării semnalului video la un televizor obișnuit. Desigur, se poate folosi un monitor TV profesional, dar cum acest lucru nu este posibil întotdeauna, vom face apel la televizorul din casă.

Interfațarea microcalculatorului cu televizorul se poate face în două moduri: fie cuplind semnalul video direct la intrarea amplificatorului video al televizorului, fie prin intermediul unui modulator RF la borna de antenă. În primul caz se va obține o calitate foarte bună a imaginii dar este necesară o intervenție în televizor pentru a monta o mufă de cuplare; deasemeni, operațiunea nu se poate face decât pe un televizor care are transformator de separație față de rețeaua de curent alternativ (de ex. tip "Sport"). Pentru a evita accidentele verificați cu atenție dacă tipul de televizor pe care îl veți utiliza respectă condiția de separare galvanică față de rețea! În cazul televizorului portabil tip "Sport", sint date două posibilități de cuplare: pentru TV cu tranzistoare (fig. 1) și pentru TV cu circuite integrate (fig. 2).

În cazul în care modificările de mai sus nu sint posibile, în fig. 3 este prezentat un modulator RF care poate fi realizat într-o cutie din tablă de conserve de mici dimensiuni montată chiar pe mufa BNC exterioră microcalculatorului. Elementele de circuit sint date pentru canalul 8 TV, dar pot fi ușor modificate pentru alte canale. Evident, calitatea imaginii va fi mai scăzută datorită spectrului larg de frecvență al semnalului video generat de microcalculator (8 MHz), față de lărgimea amplificatorului de medie frecvență a televizorului (5,5 MHz), dar posibilitatea cuplării la orice televizor compensează acest dezavantaj.

### NONTAREA MECANICĂ ȘI CABLAREA MICROCALCULATORULUI

În figura 4 sint date cîteva sugestii de montare mecanică iar în figura 5 este dat planul de cablare generală a microcalculatorului. Se recomandă respectarea riguroasă a tipului de conectoare utilizat pentru a se asigura compatibilitatea. Într-o primă fază nu este necesară montarea și cablarea tuturor conec-toarelor, cel mai important fiind însă cel notat în schemă cu "MISC".

Se va asigura o ventilație prin convecție naturală suficientă prin găurirea plăcii de bază și a capacului. În ce privește construcția mecanică propriu-zisă, este reco-

mandată folosirea tablei de aluminiu pentru a evita pătrunderea cimpurilor de radiofrecvență generate de emițătoare, pe de o parte sau afectarea unor instalații de recepție din apropiere, datorită sursei de alimentare sau a calculatorului propriu-zis. Montarea intrerupătorului de rețea și a butonului de RESET se va face pe spatele cutiei, pentru a se evita acționarea lor accidentală. Transformatorul de rețea utilizat poate fi cel de la televizorul "Sport".

### POZITIONAREA JUMPERILOR

Înainte de montare, sau în cazul în care se schimbă tipul de EPROM utilizat, este necesară o repositionare a Jumperilor din placă. Mai jos este dată semnificația și modul de legare a acestora:

- J1 = linia de HOLD a procesorului; se leagă 1 cu 2 pentru lucru normal sau 2 cu 3 în conjuncție cu un alt BUS-MASTER exterior.
- J2, J3 = tipul de EPROM utilizat pentru generatorul de caractere; pentru 2708 se leagă J2, 1 cu 2 și J3, 2 cu 3; pentru 2716 se leagă J2, 2 cu 3 și J3, 1 cu 2.
- J4 = semnalul video: 1 cu 2 normal; 2 cu 3 inversat.
- J5, J6 și J7 = configurarea după tipul de EPROM utilizat în sistem. Atenție! nu se poate utiliza decât un singur tip de EPROM în toate soclurile de pe placă (adică ori 2708 de la un capăt la altul ori 2716 etc.).

	se leagă	2708	2716	2732
J5	1 cu 6 2 cu 7 3 cu 8	2 cu 6 3 cu 7 4 cu 8	3 cu 6 4 cu 7 5 cu 8	
J6	1 cu 4	1 cu 3	1 cu 2	
J7	1 cu 3	1 cu 2	1 cu 2	

Placa de bază a microcalculatorului L/B881 poate fi expandată extern folosind conectorul KA, care conține toate BUS-urile și semnalele importante ale sistemului. Organizarea memoriei interne a microcalculatorului este pe 4 pagini de cite 16 kbytes, astfel:

- \* de la 0 la 3FFF - pagina de ROM (EPROM)
- \* de la 4000 la 7FFF - prima pagină de RAM
- \* de la 8000 la BFFF - a doua pagină de RAM
- \* de la C000 la FFFF - a treia pagină de RAM în care se află și zona ecranului, stiva și variabilele monitorului, fiind singura pagină absolut necesară microcalculatorului.

În ce privește expandarea cu circuite de intrare/ieșire, subliniem că BUS-urile de date și control sint de tipul three-state, în timp ce cel de adrese este opan-

collector, lucruri de care trebuie ținut seama cînd se proiectează un controlor extern. Deasemeni, se va urmări ca adresele perifericelor externe să nu se suprapună peste cele ale perifericelor din sistem, care sint:

- \* de la 0 la 1F (int. controller și timer)

- \* de la 30 la 3F (USART)

- \* de la 60 la 7F (interfețe paralele)

Tot pe conectorul KA este scos și semnalul BUSEN (cătore 8228), care are un ștrap la masă pe placă ce trebuie eliminat în cazul utilizării externe.

În continuare sint date semnificațiile diferitelor conec-toare și insistăm asupra importanței respectării standardizării propuse la legarea lor, pentru a permite interconectarea unor periferice externe.

### Significația pinilor conec-toarelor la placa L/B881

Nr. pin	KA	KB	KC
0.....	MEMU.....	GATE1.....	PA42
1.....	MEMR.....	GATE0.....	PA41
2.....	BUSEN.....	GATE2.....	PA52
3.....	HLDA.....	CLK0.....	PA51
4.....	I/OW.....	CLK1.....	PA62
5.....	I/OR.....	CLK2.....	PA61
6.....	NC.....	SYNC.....	PA72
7.....	NC.....	VIDEO.....	PA71
8.....	NC.....	OUT2.....	PA32
9.....	NC.....	IR6.....	PA31
10.....	NC.....	OUT0.....	PA22
11.....	HOLD.....	IR2.....	PA21
12.....	NC.....	IRO.....	PA12
13.....	WAIT.....	INTA.....	PA11
14.....	NC.....	IR3.....	PA02
15.....	NC.....	IR4.....	PA01
16.....	AO.....	NC.....	NC
17.....	DO.....	RESIN.....	NC
18.....	A1.....	NC.....	NC
19.....	D1.....	INT.....	GND
20.....	A2.....	NC.....	PC72
21.....	D2.....	RXRDY.....	PC71
22.....	A3.....	NC.....	PC62
23.....	D3.....	RXD.....	PC61
24.....	A4.....	RX/TXLOCK.....	PC52
25.....	D4.....	OUT1.....	PC51
26.....	A5.....	NC.....	PC42
27.....	D5.....	NC.....	PC41
28.....	NC.....	DTR.....	PC02
29.....	D6.....	NC.....	PC01
30.....	A6.....	DSR.....	PC12
31.....	D7.....	TXRDY.....	PC11
32.....	A7.....	SYNDET.....	PC22
33.....	NC.....	CTS.....	PC21
34.....	A8.....	TXEMPTY.....	PC32
35.....	NC.....	TXD.....	PC31
36.....	A9.....	RTS.....	PB02
37.....	NC.....	NC.....	PB01
38.....	A10.....	NC.....	PB12
39.....	READY.....	NC.....	PB11
40.....	A11.....	NC.....	PB22
41.....	NC.....	-5V (VBB).....	PB21
42.....	A12.....	FI 2 (CLK).....	PB72
43.....	NC.....	RESET OUT.....	PB71
44.....	A13.....	GND.....	PB62
45.....	NC.....	GND.....	PB61
46.....	A14.....	GND.....	PB52
47.....	RESIN.....	GND.....	PB51
48.....	A15.....	+5V (VCC).....	PB42
49.....	GND.....	+12V (VDD).....	PB41
50.....	NC.....	+5V (VCC).....	PB32
51.....	GND.....	+12V (VDD).....	PB31

### Significația pinilor conec-toarelor externe

* Conectorul de BUS	
1. MEMU	20. MEMR
2. BUSEN	21. HLDA
3. I/OW	22. I/OR
4. AO	23. HOLD
5. A1	24. WAIT
6. A2	25. DO
7. A3	26. D1
8. A4	27. D2
9. A5	28. D3
10. A6	29. D4
11. A7	30. D5
12. A8	31. D6
13. A9	32. D7
14. A10	33. READY
15. A11	34. RESIN
16. A12	35. GND
17. A13	36. RESET
18. A14	37. FI2 TTL
19. A15	

### \* Conectorul MISC

1. +Vcc	14. OUT0
2. GATE0	15. OUT1
3. GATE1	16. OUT2
4. GATE2	17. IRO
5. CLK0	18. IR2
6. CLK1	19. IR3
7. CLK2	20. IR6
8. FI2 TTL	21. N.C.
9. N.C.	22. PC4
10. PC1	23. PC5
11. PC2	24. PC6
12. PC3	25. PC7
13. GND	

### \* Conectorul V24 serial port

1. Protective ground
2. Tx Data
3. Rx Data
4. RTS
5. CTS
6. DSR
7. Signal Ground
20. DTR

### \* Conectorul portului paralel opțional

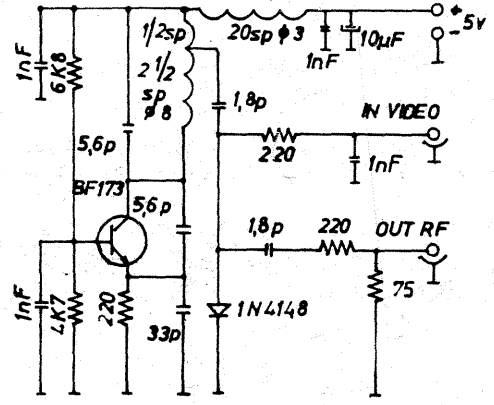
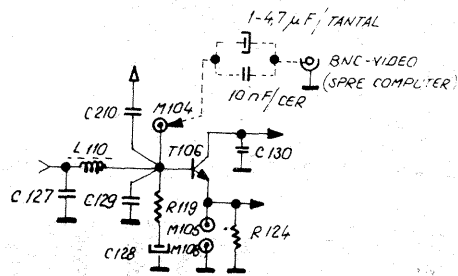
1. PA0	14. PB0
2. PA1	15. PB1
3. PA2	16. PB2
4. PA3	17. PB3
5. PA4	18. PB4
6. PA5	19. PB5
7. PA6	20. PB6
8. PA7	21. PB7
9. PC0	22. PC4
10. PC1	23. PC5
11. PC2	24. PC6
12. PC3	25. PC7
13. GND	

### \* Conectorul P5PY

(pentru alimentare în exterior)

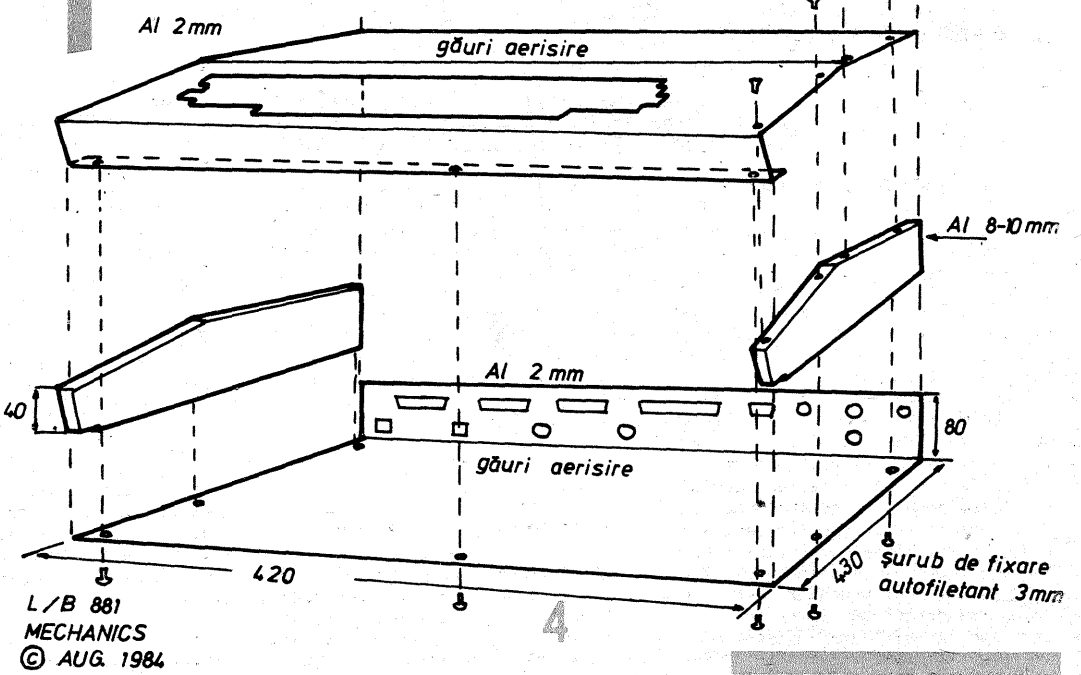
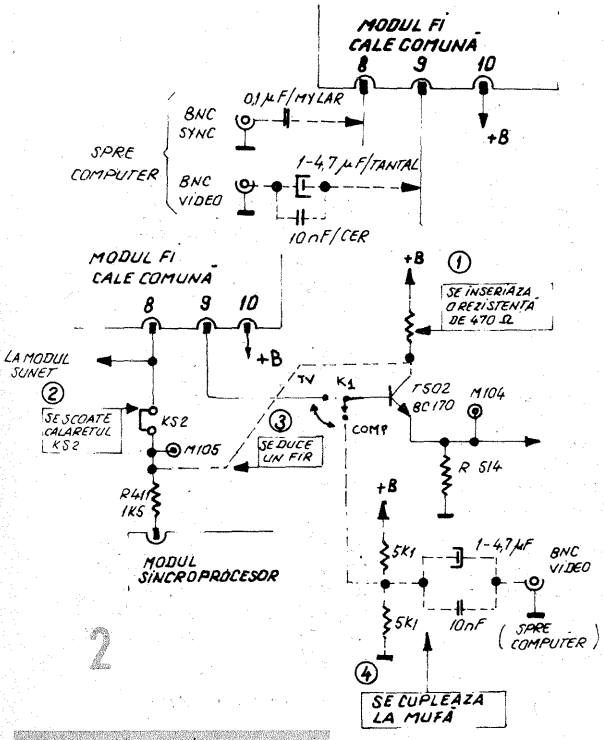
1. -5v
3. +5v
5. +12v
7. GND
8. GND

În numărul viitor vom continua cu descrierea etapelor de punere în funcțiune a microcalculatorului prin publicarea listingului generatorului de caractere și a unui program de test.

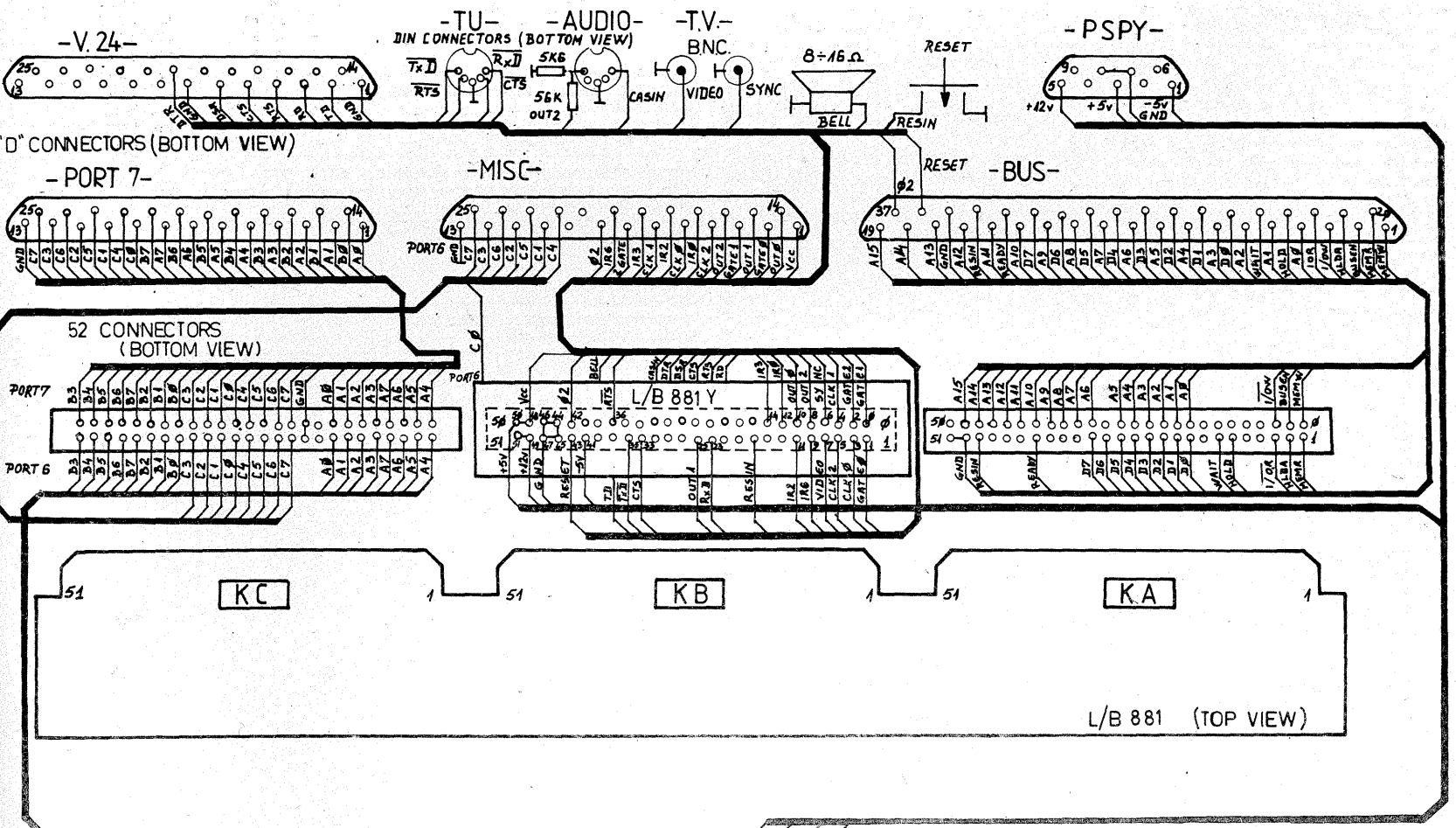


3

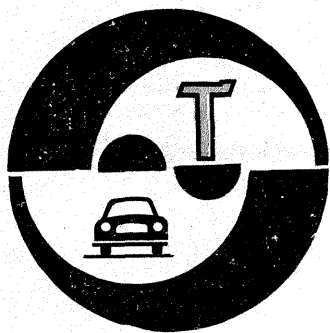
(CONTINUARE ÎN NR. VIITOR)



L/B 881  
MECHANICS  
© AUG. 1984



© MAY 1984 L/B 881 WIRING DIAGRAM



## AUTOTURISMELE "OLTCIT" SERVICE

Dr. ing. TRAIAN CANȚĂ

(URMARE DIN NUMĂRUL TRECUT)

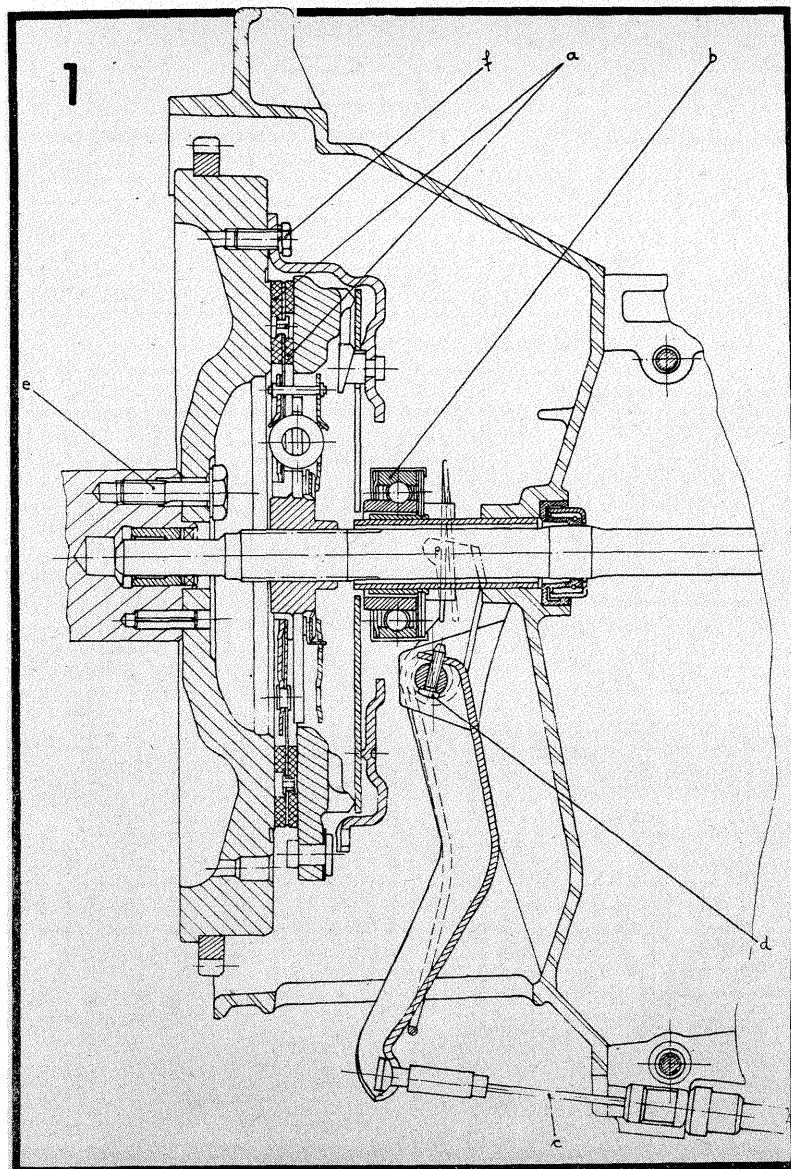
### TRANSMISIA\*

După cum s-a prezentat anterior, constructiv, transmisia autoturismelor OLTCIT este identică, puterea motoarelor impunând constructorului dimensionarea și alegerea unor soluții corespunzătoare pentru fiecare element al acesteia (în tabelul 1 se prezintă comparativ unele particularități constructive ale organelor transmisiei autoturismelor OLTCIT Special, Club și Axel).

Transmisia autoturismelor OLTCIT, „totul în față”, prin soluțiile constructive adoptate (greutate, dimensiuni,

materiale, parametri funcționali, fiabilitate etc.), se situează la nivelul celor mai moderne realizări actuale.

1. **Ambreiajul.** Construcția ambreiajului — după VERTO — realizează o cuplare lină și progresivă a transmisiei față de motor și o decuplare ușoară și rapidă la schimbarea vitezelor — calități care îi asigură o funcționare îndelungată, fără probleme (practic fără întreținere), cu condiția ca ambreiajul să fie reglat corespunzător și totodată exploatat corect.

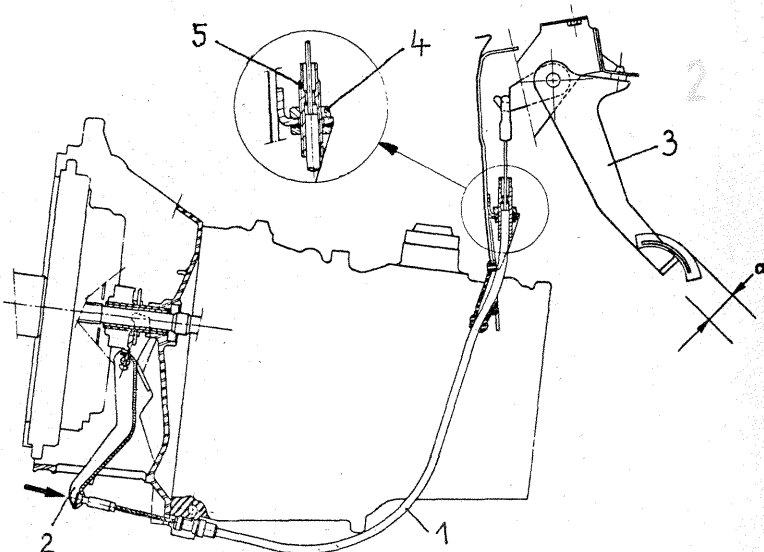


Caracteristicile tehnice principale ale ambreiajelor OLTCIT: tipul ambreiajului — cu diafragmă — 160 DBR 210 la Special și 180 DBR 285 la Club, identic cu ambreiajul autoturismului Citroën Visa Super; dimensiuni, în mm, ale garniturilor de fricțiune (160 x 112 x 3,2 la Special și 180 x 127 x 3,2 la Club); efortul maxim la pedala de debrere (160 N), jocul dulmei de presiune — diafragmă (1—1,5 mm), cursa de debrere a mecanismului (7,5 — 8,5 mm, max.), cursa liberă a pedalei de ambreiaj (20—25 mm), grosimea discului de presiune cu garni-

turi, în mm (7,4 la Special și 7,7 la Club), cursa nominală necesară pentru debrere, în mm (96,3 — 109), tipul rulmentului de presiune (cu bile, etanș). Pentru recunoașterea, discul de presiune este de tip butuc cu amortizor cu 6 resoarte — care au culorile următoare: 3 negre și 3 roșii (la Club) și 1 gri, 1 alb și 4 verzi (la Special).

La montarea ambreiajului trebuie respectate cuplurile următoare, în (daN.m): e = 6,7 — voliant pe arbore cotit; f = 1,8 — placă de presiune pe voliant și 5,1 fixare cablu ambreiaj (fig. 1 și 2). Totodată, trebuie avut în

Denumirea caracteristicii	Treapta de viteze					
	I	II	III	IV	V	Mers inapoi
<b>Cutia de viteze pt. Olcic Special</b>						
Nr. de dinți pinioane arbore primar	11	18	28	34	—	11
Nr. de dinți pinioane arbore secundar	50	45	46	39	—	46
Raport de transmisie	4,545	2,500	1,643	1,147	—	4,182
Viteză în km/h la 1 000 rot/min ale motorului	5,18	9,44	14,36	20,56	—	5,64
Cuplu conic diferențial	8/35					
<b>Cutia de viteze pentru Olcic Club</b>						
Nr. de dinți pinioane arbore primar	11	17	26	32	—	11
Nr. de dinți pinioane arbore secundar	42	39	39	33	—	46
Raport de transmisie	3,818	2,294	1,500	1,031	—	4,182
Viteză în km/h la 1 000 rot/min ale motorului	6,55	10,90	16,68	24,26	—	5,98
Cuplu conic diferențial	8/33					
<b>Cutia de viteze pentru AXEL 11R și AXEL Entreprise</b>						
Nr. de dinți pinioane arbore primar	11	17	26	32	—	11
Nr. de dinți pinioane arbore secundar	42	39	39	33	—	46
Raport de transmisie	3,818	2,294	1,500	1,031	—	4,182
Viteză în km/h la 1 000 rot/min ale motorului	6,94	11,55	17,68	25,75	—	6,33
Cuplu conic diferențial	9/35					
<b>Cutia de viteze pt. AXEL 12TRS și AXEL 12TRS Entreprise</b>						
Nr. de dinți pinioane arbore primar	11	17	26	30	34	11
Nr. de dinți pinioane arbore secundar	42	39	39	34	31	46
Raport de transmisie	3,818	2,294	1,500	1,333	0,917	4,182
Viteză în km/h la 1 000 rot/min ale motorului	6,76	11,25	17,22	22,79	28,34	6,17
Cuplu conic diferențial	9/35					



Subansambluri	OLTCIT SPECIAL (motor 625 cmc)	OLTCIT CLUB (motor 1 130 cmc)	AXEL (motor 1 300 cmc)
Ambreiaj	tip 160 DBR 210	tip 180 DBR 285	tip 180 DBR 285
Cutie de viteze	tip G, cu 4 trepte de mers înainte și o treaptă de mers înapoi	aceiași tip ca la Oltcit Special, dar cu rapoarte diferite	tip G, cu 4 și 5 trepte de mers înainte și una de mers înapoi (vezi tabelul 2)
Diferențial	8/35 (4,375)	8/33 (4,125)	9/35 (3,889)
Arbori de transmisie	cu articulații tip „TRIPODĂ” și „RZEPPA” la extremități	identic, cu arbori de la Oltcit Special	identic, cu arbori de la Oltcit Special

vedere faptul că șurubul d al axului furcii se montează cu soluție de etanșare-frinare (tip Loctite).

\* În Tehnium nr. 9 și 10/1983 s-au prezentat caracteristicile tehnice principale și funcționale ale transmisiei.

**Întreținerea și repararea ambreiajului.** Considerând figura 1, se pot prezenta piesele ambreiajului, care se uzează în timpul exploatarei îndelungate și normale a automobilului OLTCIT (indiferent de tip): garniturile de fricțiune (a), rulmentul de presiune (b) și cablul ambreiajului (c). Dacă ambreiajul are reglajele conform recomandărilor uzinei constructoare, funcționează normal și este exploatat corect de către conducătorul autoturismului, nu se pun probleme deosebite privitor la întreținerea lui — ansamblul având un mare grad de fiabilitate comparabil cu nivelul actual din construcția de autoturisme. O exploatare

corectă și normală a ambreiajului presupune: a fi folosit (cûplat-decûplat) fără șocuri, a nu menține apăsată pedala de ambreiaj deoarece conduce la uzura rapidă a rulmentului de presiune și a ansamblului diafragmă. În timpul exploatarei autoturismului, cu ocazia reviziilor periodice (la fiecare 20 000 km), trebuie să se verifice cursa liberă „a” a pedalei de ambreiaj (fig. 2). După cum se observă din figură, comanda mecanică a ambreiajului se face cu ajutorul unui cablu flexibil 1, care face legătura între furca 2 a ambreiajului și pedala 3 de acționare a ambreiajului.

Prin apăsarea furcii ambreiajului, se verifică existența jocului la capătul ei (în zona de agățare a cablului flexibil), care, în limite normale, este cuprins în domeniul 3—4,5 mm; acestui joc îi corespund un joc al ambreiajului de la 1—1,5 mm (între diafragmă și rulmentul de presiune) și o cursă liberă „a” a pedalei de am-

breiaj de 20—25 mm (fig. 2).

Practic, pentru reglarea ambreiajului se slăbește piulița superioară 4 (aflată în habitacul autoturismului, lângă pedala de ambreiaj), după care se acționează asupra manșonului filetat 5, pentru a se aduce cursa „a” în domeniul recomandat de constructorul autoturismului. După executarea reglajului se strânge piulița superioară 4 la cuplul de 4—5,1 daN.m. La fiecare 15 000 km, de asemenea, se prevede o ungere a cablului și a articulației ambreiajului. Repararea pieselor ambreiajului în cazul defectării (în general, patinării sau necuplării unei trepte a cutiei de viteze), după cum este normal, trebuie să se facă de către personalul specializat al atelierelor SERVICE. Condițiile de funcționare specifice subansamblului ambreiaj impun, în general, înlocuirea unor piese ca rulmentul de presiune, discul, placa de presiune și cablul de ambreiaj.

Ca la orice tip de autoturism, după o funcționare îndelungată (80 000—100 000 km), la căderea unei piese a ambreiajului se recomandă a se efectua înlocuirea întregului ansamblu datorită gradului de uzură și oboseală avansată a restului de piese care-l compun.

**2. Cutia de viteze și diferențialul.** Fabricată de către Citroën în mai multe tipuri (tabelul 2), după modelul „G”, în funcție de destinația lor, este mecanică, cu 4 sau 5 viteze pentru mers înainte, sincronizate, fără priză directă și cu o treaptă pentru mers înapoi.

Cutie de viteze are carcasa comună cu diferențialul, formată din două părți A și B, asamblate în plan longitudinal, la extremități fiind carcasa ambreiajului C și un capac D al cutiei de viteze (fig. 3). Pe figură se prezintă, totodată, diferite elemente de fixare, bușonul de golire s.a. (1 — bușe de centrare; 2, 3, 6, 9 — bușon; 4 — bușon golire ulei; 5 — obturator; 8, 10—14 — rondelă; 15, 19—20 — șurub; 21—23 — prezon; 24—26 — piuliță; 27 — piuliță infundată).

(CONTINUARE ÎN NR. VIITOR)

# MINIVEHICUL ELECTROGINETIC

Ing. DUMITRU CODĂUȘ

În căutarea celei mai convenabile soluții de utilizare a altor combustibili și a altor tipuri de motoare, cercetătorii au ajuns la concluzia unanimă că și electromobilul va intra în competiție. Pe lângă randamentul cel mai ridicat, el este lipsit de poluare chimică și sonoră.

Faptul că, deocamdată, marile avantaje oferite nu sînt valorificate, mai ales în situația crizei energetice, nu i-a făcut pe unii cercetători să-și piardă optimismul.

Cu toate obstacolele tehnice (baterii grele, iar altele scumpe, ce trebuie instalate pe automobil, cît și schimbarea profilului fabricilor în întreaga lume), totuși electromobilele circulă, deși în număr mai redus.

Dintr-un studiu asupra motoarelor și sistemelor de tracțiune, este prevăzut ca la sfîrșitul secolului să ia avînt tracțiunea electrică.

Bazat pe documentația consultată, autorul prezentului articol a ajuns la concluzia că forma cea mai elegantă și practică a rezolvării problemei în cauză este tracțiunea hibridă — electrică + cinetică. În acest scop a fost construit experimental minivehiculul electrocinetic redat în figura A. El este multifuncțional: ca bicicletă separată, încorporată și cu remorcă. Detașarea celor două părți se face simplu, din două șuruburi. Ațit bicicleta, cît și cadrul remorcii posedă elemente de tracțiune electrică distincte, cît și surse de alimentare separate.

La asamblarea celor două părți — bicicletă + remorcă (fig. B), electromotoarele debitează putere în paralel.

În figura C se prezintă schița amplasamentului pieselor: bicicleta cu acumulator cu plumb de 12 V/25 Ah și electromotor reversibil în genera-

tor, acționat de două pinioane cu clichet (1); șasiul remorcii, executat din țevă  $\varnothing$  20 mm (2); roata tractoroare cu pinion  $\varnothing$  200 mm (3); generatorul de c.c. cu magneți permanenți (4); electromotorul cu ambreiaj variabil prin rotor centrifugal (5); volan  $\varnothing$  180 mm (6); bateria de acumuloare de 12 V/75 Ah.

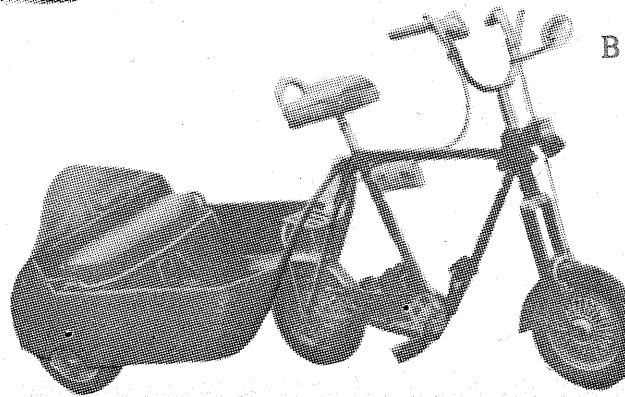
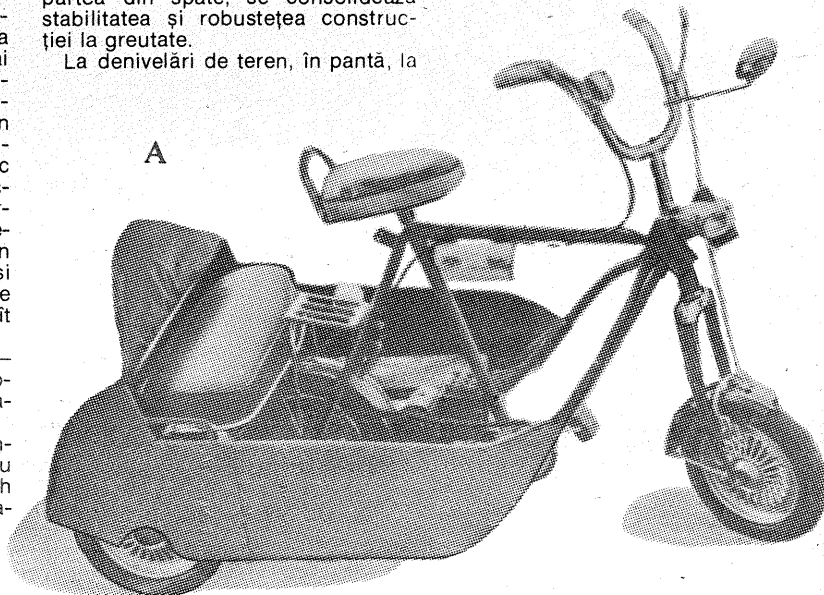
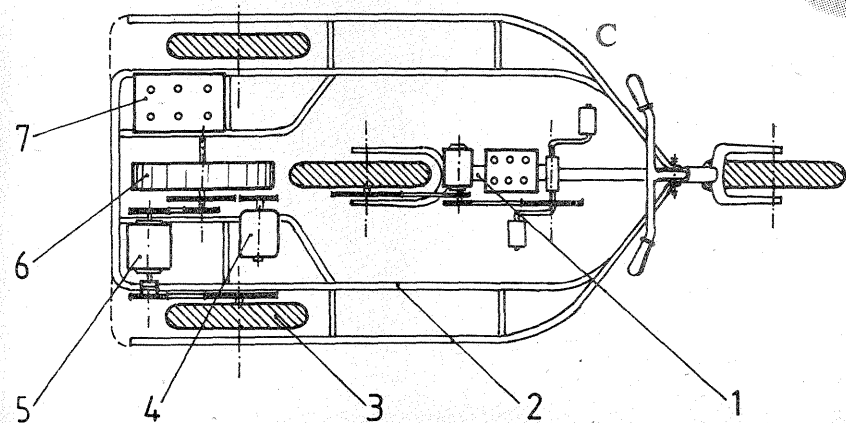
Puterea electromotorului este de 500 W, greutatea vehiculului asamblat de 35 kg, iar viteza maximă de 40 — 50 km/h.

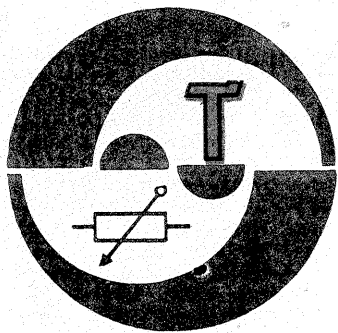
De remarcat că prin plasarea celei de-a treia roți (a bicicletei) în partea din spate, se consolidează stabilitatea și robustețea construcției la greutate.

La denivelări de teren, în pantă, la

pornire, frînare, energia nu se pierde, ci se înmagazinează în volan, care, ajutat la suprasarcina sau demarare de pedale, reduce consumul de energie din acumuloare, astfel încît să se mențină o încărcare constantă, egală aprôape cu consumul. Se încearcă alimentarea prin impulsuri.

Instalația electrică este clasică, asemănătoare cu cea auto-moto, în plus avînd comanda automată, prin tiristoare, a energiei consumate.





## "SPRAY" ELECTRIC

Ing. C. RĂMBU

După utilizarea conținutului, rezervoarele de spray de diferite dimensiuni și nuanțe coloristice pot fi transformate, cu oarecare ingeniozitate și îndeminare, în obiecte plăcute și folositoare, redându-le în acest fel o a doua „viață”.

Printre alte posibilități de refolosire a acestor rezervoare recomand confectionarea unor suporturi estetice pentru creioane, tocuri, pixuri etc., prin combinarea potrivită a dimensiunilor și culorilor, precum și „spray-ul electric” descris în continuare.

Se alege, după gust, modelul coloristic al rezervorului și dimensiunea potrivită pentru două baterii de 1,5 V tip R20. Se taie, cu un briceag sau dălțiță, ambele capete ale rezervorului, după care orificiile se ajustează la dimensiunile din figura 1 și figura 2. Restul operațiilor sînt simple, rezultînd din detaliile figurilor, astfel:

1 — capac original translucid (superior);  
2 — beculeț electric de 2,2 V sau

2,5 V;

3 — fasung beculeț (de scală radioreceptor);

4 — șaibă metalică în contact cu rezervorul;

5 — șaibă izolatoare;

6 — șurub de contact între beculeț și polul pozitiv al bateriei electrice (izolat de masa rezervorului);

7 — tub de carton pentru „rigidizarea” bateriilor;

8 — arc metalic pentru contactul polului negativ al bateriei cu masa rezervorului (prin 9);

9 — lamelă elastică de fixare a capacului inferior;

10 — suport metalic sau masă plastică (capac inferior);

11 — nituri de fixare a lamelei elastice (2 bucăți);

12 — șurub de fixare a arcului de contact;

13 — baterii 1,5 V tip R20 (2 bucăți).

Pentru simplitatea construcției, întreruperea curentului se face prin deșurubarea beculețului. Utilizarea „spray-ului electric” se poate face

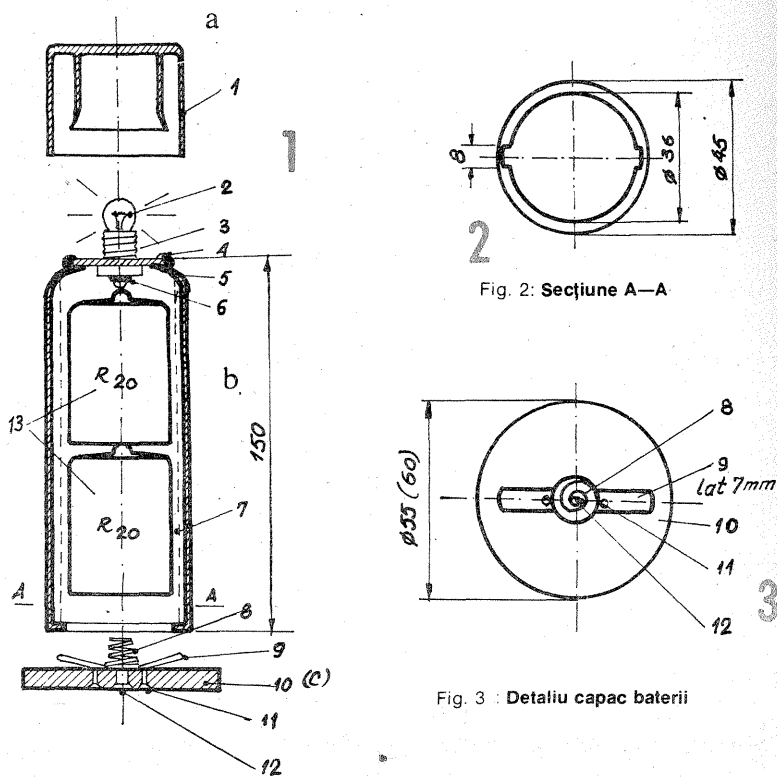


Fig. 2: Secțiune A—A

Fig. 3: Detaliu capac baterii

cu capacul superior (alb translucid) montat, cînd lumina produsă de beculeț este mată (plăcută), sau fără capac, atunci cînd este necesară o iluminare mai puternică.

OBSERVAȚIE: arcul se montează peste lamela elastică cu șaibă și plușă de șurubul 12.

## DESFUNDAREA PENIȚELOR ROTRING

ANDREI PETRU, Galați

Este cunoscut faptul că aceste tipuri de penițe, utilizate la trasarea cu tuș pe calc, se mai înfundă, prin concurența mai multor factori, ducînd la enervări sau, și mai grav, la neterminarea unor lucrări.

Înfundarea se datorează unui dop de tuș uscat care se creează în virful capilarului, împiedicînd curgea tușului.

Intrucît aceste penițe sînt scumpe, s-a impus necesitatea recondiționării lor.

Cele mai mari șanse de desfundare le au penițele la care tija de sîrmă ce culisează în interiorul capilarului nu s-a rupt.

Pentru început este recomandabil a se încerca desfundarea pe cale mecanică, cu ajutorul unei scule confectionate ca în figura 1.

Se pot construi mai multe scule, la care virful de sîrmă de arc să difere în funcție de orificiul capilarului. Minerului i se practică în prealabil un orificiu pentru centrare și o mai bună prindere prin lipire cu cositor a virfului de arc.

Datorită lungimii mici a virfului de arc, flexibilitatea scade și prin introducerea sa în virful peniței se îndepărtează dopul de tuș.

Dacă dopul de tuș uscat și calc este mai vechi, mai bine prins în capilar, se recomandă utilizarea metodei și a dispozitivului din figura 2.

Corpul 1 reprezintă o butelie din plastic în care a fost șampon, în al cărei capac 2 s-a practicat o gaură de  $\varnothing 6$ , după care s-a montat ștuțul filetat 3, strîns pe capac cu plușă 4.

Capacul împreună cu știftul se montează pe corpul 1, în care se găsește apă.

Peste ștuțul 3 se presează un furtun de cauciuc care are  $\varnothing 5$  la interior.

La celălalt capăt al furtunului se presează penița rotring pînă se astupă gaura laterală.

Cu o flacără se încălzește virful peniței care, datorită secțiunii foarte mici, devine roșu în timp scurt. Datorită presiunii rezultate prin strîngerea buteliei 1, cenușa rezultată prin arderea dopului de tuș uscat este expulzată în exterior, apa răcind în același timp virful peniței.

Cum corpul peniței este termoplast, operația trebuie executată cu multă finețe pentru a nu topi sau deforma zona de îmbinare dintre tubul capilar și corpul peniței.

Recomandabil este ca flacăra să nu fie liberă, ci să iasă printr-un ajutor mic, cum ar fi un ac de seringă mai mare sau o brichetă cu gaz, cu flacăra reglată la mic.

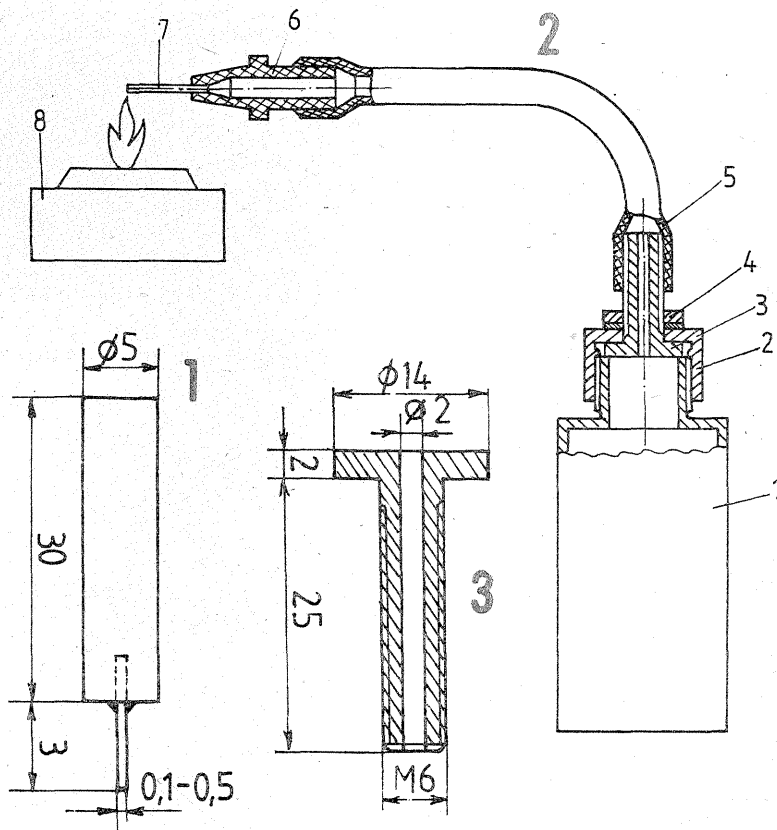
Metoda arderii dopului de tuș uscat și expulzarea lui cu ajutorul unei presiuni poate fi aplicată cu succes

și în industrie, unde penițele de înscriere a valorilor pe diagramă sînt din tub capilar lung.

În această situație se va schimba diametrul furtunului și al ștuțului la valoarea dimensiunii penițelor utilizate.

În felul acesta se pot reintroduce

în circuitul economic foarte multe penițe, care la o întreprindere mare se cifrează la mii de bucăți anual și cum tubul capilar pentru fabricarea lor se importă, apare și mai evidentă economia ce se poate obține prin utilizarea metodei.





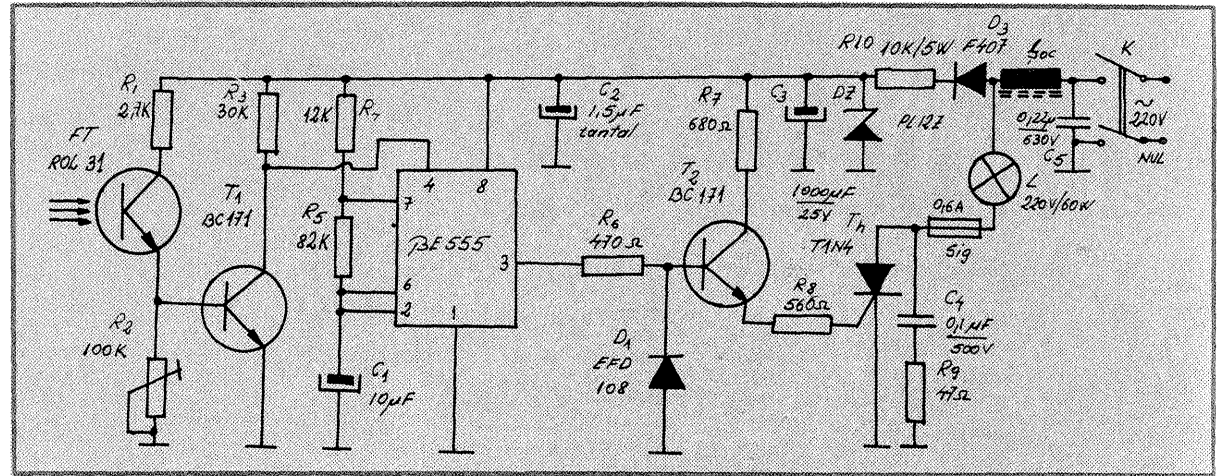
# SEMNALIZARE

Ing. KAZIMIR RADVANSKI

Pe timp de noapte, unele zone periculoase pentru accesul unor neavizați trebuie puse în evidență. Avertizorul prezentat emite pe timp de noapte impulsuri luminoase cu frecvența de circa 1 Hz, iar pe timp de zi își încetează automat funcționarea. În cazul circulației rutiere, avertizorul poate fi folosit la semnalizarea pe timp de noapte a punctelor de trecere pentru pietoni.

Elementul esențial al schemei îl constituie circuitul integrat  $\beta E555$ , folosit ca basculant astabil, la care comanda de intrare în funcțiune se realizează pe terminalul ALO(4). Se cunoaște că dacă terminalul ALO este pus la masă, oscilatorul își încetează funcționarea și este liber să oscileze dacă tensiunea terminalului ALO este crescută peste 1 V.

Pe timp de zi, fototranzistorul FT este iluminat, tranzistorul  $T_1$  conduce și pune terminalul ALO la masă, nu se produc oscilații iar becul L este stins. O dată cu lăsarea întunericii, tranzistorul  $T_1$  începe



să treacă în stare blocată și în momentul în care tensiunea în colectorul său depășește 1 V, oscilatorul

demarează, tranzistorul  $T_2$  comandă tiristorul Th care se deschide, iar becul L va ilumina intermitent. Dacă se dorește schimbarea frecvenței de oscilație, se va modifica valoarea lui  $R_3$ . Reglarea pragului de intrare în funcțiune se realizează cu ajutorul ajustabilului

ține 100 de spire din conductor CuEm  $\varnothing$  0,8 mm, pe un miez de ferită și împreună cu  $C_5$  constituie un filtru de antiparazitare. Grupul  $R_6-C_4$  servește la protecția tiristorului împotriva supratensiunilor.

La realizarea practică, fototranzistorul FT se montează în așa fel

să treacă în stare blocată și în momentul în care tensiunea în colectorul său depășește 1 V, oscilatorul

incît să nu fie perturbat de becul L sau alte surse artificiale de lumină.

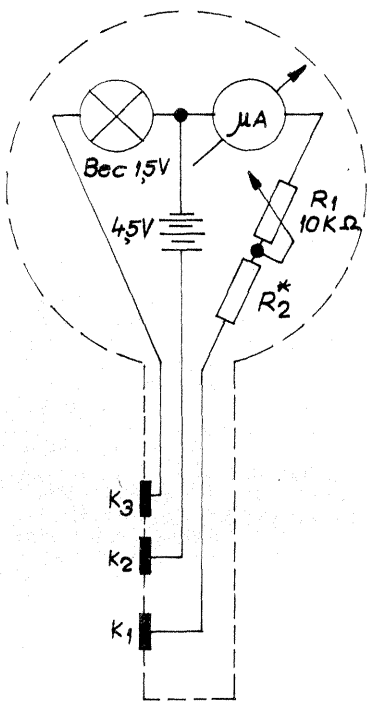
# TESTER

EMIL STRĂINU, Urziceni

Testerul este destinat măsurării densității și nivelului electrolitului pe timpul exploatării acumulatorilor. El se compune dintr-o carcasă în care se găsesc dispuse sursa de alimentare și elementele de indicare. În partea inferioară a carcasei este fixată o tijă cu trei contacte,  $k_1$ ,  $k_2$ ,  $k_3$ . Lungimea tijei și distanța dintre contacte se determină practic. Schema de principiu este dată în desen.

Funcționarea se bazează pe închiderea circuitului între cele trei contacte de către electrolitul din bacul acumulatorului. Dacă nivelul electrolitului este inferior normei, contactele  $k_1$  și  $k_2$  nu se închid, curentul nu circulă și indicatorul microampermetrului nu deviază. La introducerea tijei în bacul unui acumulator ce are nivelul electrolitului normal, se închid contactele  $k_1$  și  $k_2$ . Curentul urmează circuitul baterie, contact  $k_2$ , electrolit, contact  $k_1$ , rezistențele  $R_1$  și  $R_2$ , microampermetru, baterie. Indicația aparatului va fi direct proporțională cu densitatea electrolitului. Scala aparatului va fi împărțită în sectoare colorate sau gradată în cifre. Indicația microampermetrului mai arată și faptul că nivelul electrolitului este corespunzător. Dacă nivelul electrolitului este mai mare decât cel optim, circuitul curentului va fi: baterie, contact  $k_2$ , electrolit, contact  $k_3$ , bec, baterie. Aprinderea becului semnalizează nivelul excesiv al electrolitului peste plăcile acumulatorului.

Astfel determinăm foarte comod



și în timp scurt simultan nivelul electrolitului, cit și densitatea acestuia la orice acumulator. Realizat cu materiale puține, recuperate, cu preț redus, testerul este foarte util tuturor celor ce exploatează acumulatori.

# STABILIZATOR

Ing. ALEXANDRU BROSCOI, Cluj-Napoca

Buna funcționare a televizorului depinde de stabilitatea tensiunii de alimentare. La scăderea tensiunii, funcționarea corectă a televizorului este cel mai mult afectată de scăde-

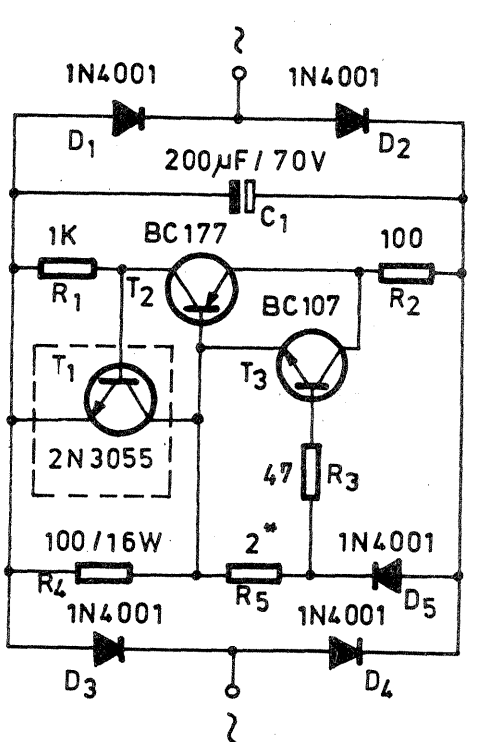
rea temperaturii filamentelor tuburilor electronice.

Schema prezentată este un stabilizator de curent alternativ (0,3 A) care nu necesită o sursă suplimentară de alimentare și se prezintă ca un simplu dipol. Stabilizatorul de curent se poate folosi numai la televizorele ce au tuburile alimentate în serie direct de la rețeaua de curent alternativ, printr-o rezistență de limitare a curentului de minimum 100  $\Omega$ .

Pentru instalare se scoate din rezistența aflată în serie cu filamentul tuburilor electronice echivalentul a 100  $\Omega$ , în locul căruia se inseriază stabilizatorul de curent. Cum pe această rezistență avem o cădere de tensiune de 30 V (la 0,3 A, curentul normal de alimentare a tuburilor electronice), stabilizatorul va menține un curent constant într-o plajă de variație a tensiunii de 30 V. Deci, după montarea stabilizatorului, televizorul va funcționa corect și la o cădere a tensiunii de rețea de 30 V (190 V).

Pentru stabilirea corectă a curentului de 0,3 A, se introduce în serie cu filamentele tuburilor electronice un ampermetru de curent alternativ și se ajustează rezistența  $R_5$  (confectionată din nichelină) pînă avem o valoare corectă a curentului.

Tot dispozitivul va fi instalat într-o cutie bine izolată, cu orificii de aerisire. Tranzistorul  $T_1$  (2N3055) se va monta pe un radiator cu o suprafață de răcire de aproximativ 200  $cm^2$ .



(URMARE DIN PAG. 3)

Nota octava $\beta$	$M=2^{10}-K_n$ $=1024-K_n$	Descompunere după puterile lui 2	$m$	i-circuit integrat										
				1	2	3	4	5	6	7	8	9	10	
Do	263	$2^8+2^2+2^1+2^0$	9	1	1	1	0	0	0	0	0	0	1	0
Do*	306	$2^8+2^5+2^0+2^1$	9	0	1	0	0	1	1	0	0	0	1	0
Re	346	$2^8+2^6+2^4+2^3+2^1$	9	0	1	0	1	1	0	1	0	1	0	0
Re*	384	$2^8+2^1$	9	0	0	0	0	2	0	0	1	1	1	0
Mi	420	$2^8+2^7+2^5+2^2$	9	0	0	1	0	0	1	0	1	1	0	0
Fa	454	$2^8+2^7+2^6+2^2+2^1$	9	0	1	1	0	0	0	1	1	1	0	0
Fa*	486	$2^8+2^7+2^6+2^3+2^1$	9	0	1	0	1	0	0	1	1	1	0	0
So1	516	$2^8+2^2$	9	0	0	1	0	0	0	0	0	0	0	1
So1*	544	$2^8+2^5$	10	0	0	0	0	0	1	0	0	0	0	1
La	571	$2^8+2^5+2^4+2^3+2^1+2^0$	10	1	1	0	1	1	1	0	0	0	0	1
La*	597	$2^8+2^6+2^4+2^2+2^0$	10	1	0	1	0	1	0	1	0	0	0	1
Si	621	$2^8+2^6+2^5+2^3+2^2+2^0$	10	1	0	1	1	0	1	0	0	0	0	1

Tabel 2: COEFICIENTII DE COMPLETARE A MATRICII ROM

## IGRASIA in LOCUINŢE

MIRCEA CONSTANTIN MUNTEANU, Oţelu-Roşu

### Prevenire şi combatere

Igrasia, ca proces fizico-chimic complex, este fenomenul care se manifestă prin umezirea permanentă a zidurilor la partea inferioară, umezire care poate avansa sau rămâne constantă la o limită oarecare. Igrasia se datorează, în principal, infiltraţiilor de apă pe la partea inferioară a construcţiilor (prin fundaţii şi socluri), ridicându-se din acestea în ziduri prin fenomenul de capilaritate şi absorbţie.

Pământul din jurul clădirilor, fundaţiile, soclurile şi zidurile conţin apă în cantităţi variabile, permiţând migrarea acestora prin ele în funcţie de dimensiunile părţilor componente. Golurile din materialele de construcţie absorbante se pot asimila cu tuburi capilare, apa ridicându-se în ele la înălţimi variabile, care sînt:

- în nisipuri fine, 10 — 50 cm;
- în argile, 400 — 500 cm.

Golurile mici din unele materiale de construcţie, pe lângă faptul că asigură circulaţia apei prin fenomenul de capilaritate, mai permit şi inundarea întregului material în secţiunea de contact cu umezeala. Această proprietate este caracteristică în special argilelor şi explică de ce în zidurile de cărămidă „crudă”, nearsă, aflate în permanent contact cu umezeala, apa avansează repede şi se menţine un timp mai îndelungat.

Circulaţia apei în ziduri este oprită atunci cînd în calea acesteia, deasupra fundaţiei, se aşază straturi impermeabile, numite hidroizolaţii. Cele mai simple hidroizolaţii se alcătuiesc din bitum şi carton asfaltat, în straturi succesive.

În anumite condiţii, pe suprafeţe drepte sau înclinate la elemente din beton, se execută hidroizolare, prin aplicarea unei tencuieli cu mortar de ciment în următoarele straturi:

- stratul suport (0,5 cm) dozaj de nisip-ciment 1 : 1;
- stratul propriu-zis (2—3 cm) dozaj de nisip-ciment 1 : 1,8;
- strat de protecţie (0,5 cm) dozaj nisip-ciment 1 : 1,5.

Pentru îmbunătăţirea proprietăţilor hidroizolante, în mortar se introduc şi adaosuri hidrofuge. Hidroizolaţiile rigide cu mortar de ciment se execută la soclurile clădirilor şi la pereţii interiori ai subsolurilor.

Cauzele sau, mai corect spus, greşelile de construcţie datorită cărora apa din fundaţii şi socluri se infiltrază în zidărie sînt multiple, în continuare prezentîndu-le pe cele mai cunoscute şi mai des întîlnite.

**Absenţa izolaţiei hidrofuge la fundaţie.** Faptul că între fundaţie şi zidărie nu este aşezat un strat hidroizolant facilitează realizarea unei legături şi continuităţi aproape perfecte între aceste două elemente ale construcţiei. Majoritatea clădirilor vechi care nu au hidroizolaţii au fost invadate în decursul timpului, în mod lent, de umezeala provenită din ascensiunea capilară

a apei. Acumularea progresivă în timp a apei în fundaţii şi socluri conduce în faza următoare la umezirea zidăriei. Demn de reţinut este faptul că o ascensiune capilară datorită lipsei de hidroizolaţie se manifestă în toată secţiunea zidăriei, chiar dacă gradul de umezire al peretelui interior diferă de cel al peretelui exterior. Apa pătrunsă în ziduri îşi măreşte volumul prin îngheţ, distrugînd treptat tencuiala şi chiar zidăria.

În figura 1 se observă cum apa ce întreţine igrasia a distrus tencuiala la nivelul soclului, apoi a urcat, începînd să distrugă şi zidăria. Degradarea faţadei casei s-a datorat şi faptului că, fiind orientată spre miazăzi, a beneficiat din plin de însorire. Căldura degajată de soare a accelerat evaporarea apei la nivelul peretelui exterior. Apa acumulată în exces la suprafaţa exterioară a peretelui a contribuit, prin îngheţare, la distrugerea tencuielii şi a zidăriei.

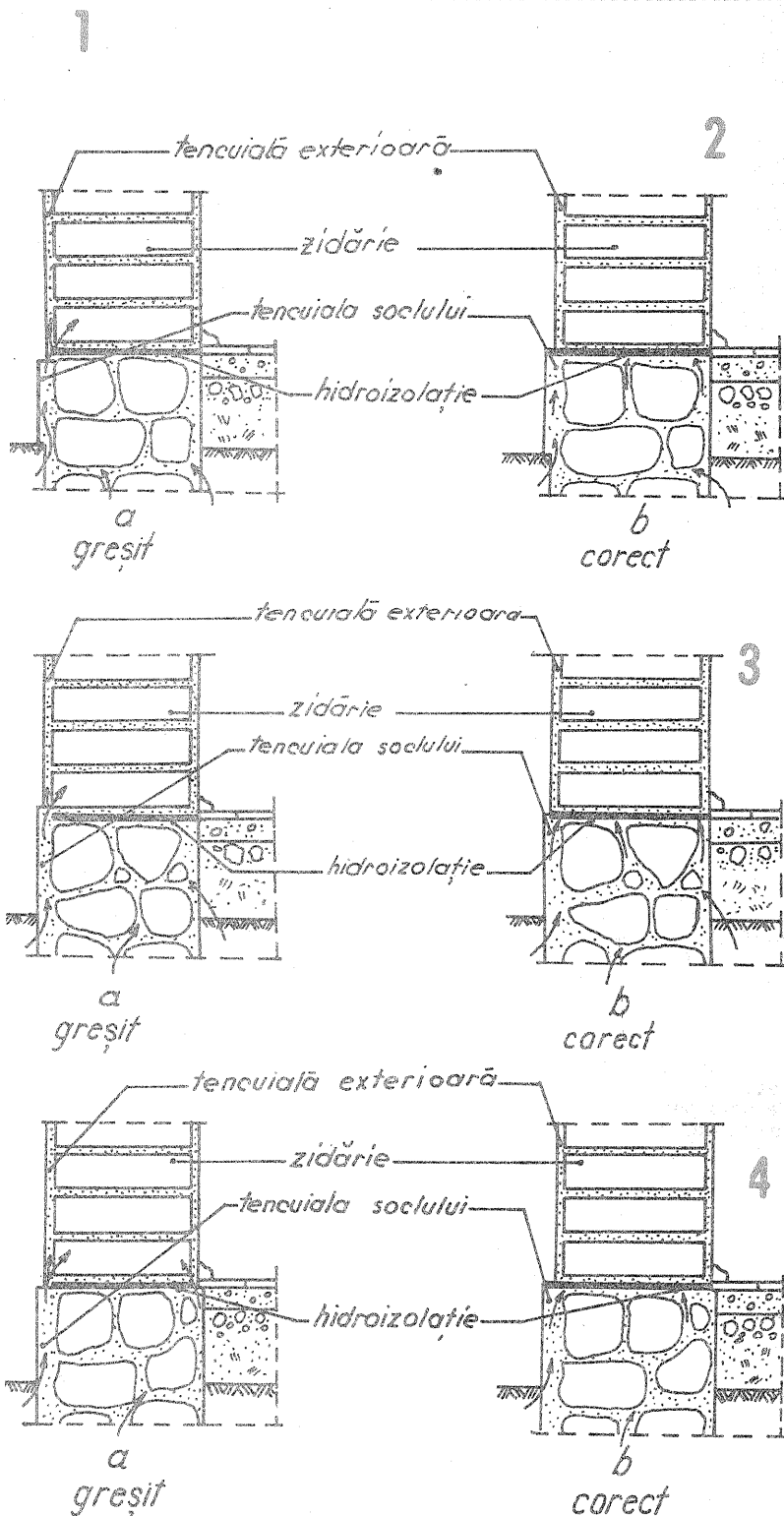
**Depăşirea cu mortar a hidroizolaţiei la tencuirea exterioară a zidurilor.** În timpul operaţiei de tencuire a faţadelor nu se urmăreşte întotdeauna cu atenţie linia orizontală sau verticală a hidroizolaţiei. Orice depăşire cu tencuiala, în jos, peste hidroizolaţie înseamnă realizarea unei punţi continue prin care apa trece încet, dar sigur, din fundaţie în zidărie (fig. 2a). Dacă infiltraţia apei în fundaţie, socluri şi apoi în zidărie este întreţinută şi amplificată de surse externe (trotoare impermeabile, socluri joase, absenţa jgheburilor şi burlanelor etc.), consecinţele nefaste merg de la simpla umezire a tencuielii pînă la distrugerea zidăriei şi insalubritizarea locuinţei.

În zona de legătură cu soclul, tencuiala se va opri la nivelul hidroizolaţiei, deasupra acesteia, conform figurii 2b. În acest mod apa va staţiona sub nivelul hidroizolaţiei.

Un fenomen asemănător se întîmplă şi atunci cînd tencuiala soclului depăşeşte hidroizolaţia în sus, atîngînd tencuiala (fig. 3a). Modul corect de rezolvare a unei asemenea greşeli este prezentat în figura 3b, pentru greşeala o dată făcută remedierea constînd în desfacerea tencuielii şi păstrarea liniei neutre (nivelul hidroizolaţiei).

**Executarea unei izolaţii hidrofuge foarte înguste.** La executarea hidroizolaţiei la fundaţie se lucrează uneori în grabă; nu se amorsează bine suprafaţa fundaţiei; se aşterne bitumul în suprafeţe discontinue şi mai ales se taie cartonul foarte îngust (atît cît este lăţimea zidăriei). După realizarea hidroizolaţiei se execută zidăria şi acoperişul, se fac instalaţiile, se zugrăveşte, se pune pardoseala şi... peste cîţiva ani apar surprizele — zone umede la partea inferioară a zidurilor.

Cauza umezelii, care se află după îndelungi frămîntări, este cartonul asfaltat tăiat prea îngust (fig. 4a). Remediere există şi ea constă în decaparea tencuielii la partea inferioară a zidurilor, în zona de contact cu soclul casei.



În funcție de cât este cartonul de lat sub zid se adoptă una din următoarele soluții:

- crearea unui rost de ventilare a zidăriei la partea inferioară;
- completarea cu bitum și carton asfaltat în interiorul și exteriorul porțiunii afectate (fig. 4b);
- realizarea rostului de ventilare pe o parte a zidăriei și completarea cu bitum pe cealaltă parte.

**Rezemarea pardoselilor din ciment sclivisit, peste hidroizolație, pe tencuiala interioară a pereților.** Funcția și destinația încăperilor unor locuințe presupun ca pardoseala să fie executată din materiale diverse. În încăperile care reprezintă spațiul locuibil (sufragerii, dormitoare, camere de zi) pardoselele se vor executa cât mai izolante (din parchet, scinduri, plăci aglomerate etc.) pentru a nu se pierde căldură prin ele. Pe holuri (datorită circulației mari), în cămări (pentru a se păstra un mediu cât mai răcoros), în băi și bucătărie (pentru că se lucrează cu multă apă) se execută pardoseli din ciment sclivisit, din mozaic sau din plăci de gresie.

În blocurile de locuit, pentru pardosirea dormitoarelor și sufrageriilor se folosește curent covor P.V.C. pe suport textil sau mocheta etc. Folosirea covorului P.V.C. pe suport textil și chiar a mochetei nu este recomandabilă în locuințele individuale, deoarece suportul din beton pe care se aplică este în legătură directă (prin intermediul umpluturii) cu terenul umed din jurul locuinței. Sub covorul P.V.C. se pot acumula vapori de apă din condens sau difuzați prin fenomenul de capilaritate. Această umezeală ușurează dezvoltarea mușcăiului și menține un aer insalubru în locuință.

Executarea pardoselii din ciment sclivisit, mozaic sau similare presupune existența sau realizarea unui suport care întotdeauna este alcătuit din beton. Dacă peste fundația casei, înaintea executării zidăriei pereților, s-a turnat o placă din beton armat, problema suportului este rezolvată, iar dacă nu, trebuie turnat acest strat de beton în spațiul destinat pentru pardoseala sclivisită. Pentru realizarea stratului de beton se scoate umplutura dintre ziduri pe o grosime de cca 10—15 cm. După așezarea unui strat de pietriș compactat se toarnă un beton slab, se izolează hidrofug obișnuit la același nivel cu izolația fundațiilor.

Acest mod de lucru prezentat în figura 5a este cel corect, dar nu se respectă întotdeauna.

Lucrând repede, fără grijă și pricere, uneori se realizează suportul pentru pardoseală conform figurii 5b, astfel:

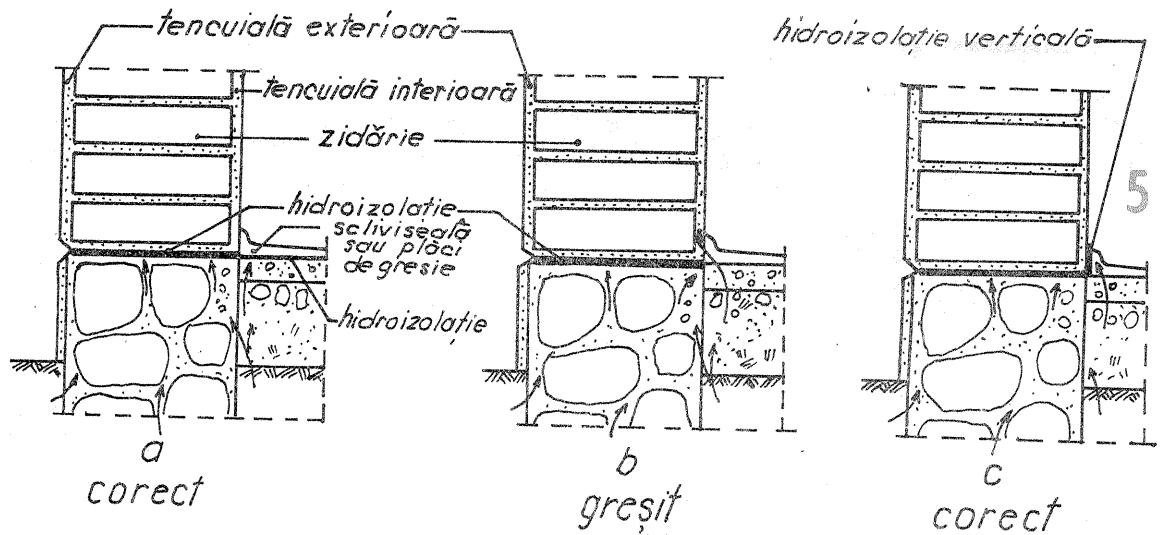
- se scoate umplutura de pământ și se pune în locul ei pe cca jumătate din înălțime un strat de pietriș;

- peste pietriș se toarnă stratul de beton. La turnarea acestui strat de beton se urmărește sau nu ca partea lui superioară să fie sub nivelul hidroizolației sau cel mult în dreptul ei.

Prin așezarea stratului de scliviseală, de mozaic sau a mortarului de poză pentru plăcile de gresie se realizează, pe contur, o legătură peste hidroizolație între aceste straturi și tencuiala peretelui. Uneori, pentru a nu murdări perețele la spălarea scliviselei, a mozaicului sau a plăcilor din gresie, se realizează o scafă sau o plintă pe conturul încăperii, mărind prin aceasta suprafața de contact direct din straturile suport ale pardoselii și tencuială.

Prin comiterea greșelii descrise mai sus se permite circulația apei în zidărie și tencuială, ușurând apariția și menținerea igrasiei.

Atunci când betonul de pardoseală este gata turnat, pentru a nu se crea denivelări între pardoseala încăperilor, se poate executa izola-



rea între pardoseala propriu-zisă și perete, conform soluției prezentate în figura 5c.

**Executarea trotuarelor etanșe în jurul clădirilor.** Apa din precipitații, căzută pe sol, se acumulează la partea superioară a acestuia pentru ca în zilele călduroase să se evapore în atmosferă. Apa pătrunsă în sol se difuzează spre zonele mai uscate, aflate în contact direct cu atmosfera. Dacă în jurul clădirii (care poate să nu aibă izolație hidrofugă la fundație, cazul prezentat în figura 6) sau, cazul cel mai des întâlnit, la fațada acesteia se află un trotuar etanș din asfalt sau beton sclivisit, apa din sol în drumul ei spre zone mai uscate se infiltrează în elementele construcției aflate în contact direct cu atmosfera sau se difuzează în zonele învecinate care nu au suprafața etanșă (ronduri de flori, gazon etc.). Suprafața etanșă a trotuarelor nu permite evaporarea apei, motiv pentru care aceasta se difuzează înspre acele elemente ale construcției prin care se poate evapora.

Drumul ciclic al apei în natură, alcătuit din: cădere din precipitații, acumulare în sol, evaporare prin soclu, zidărie și tencuială, contribuie la saturarea în timp, orice precipitații ulterioare influențând nivelul de creștere a umezelii în ziduri.

O realizare constructivă care contribuie la evaporarea apei din perimetrul subteran al locuinței, prin fundații și ziduri, este aplicarea pardoselilor din parchet pe suport din beton, prin intermediul unui strat de bitum. Acest strat hidroizolant stopează vaporii de apă și ieșirea prin pardoseală, apa fiind nevoită să migreze spre socluri și în ziduri.

Trotuarele etanșe, deși sînt utile circulației și asigură scurgerea rapidă a apei de ploaie, fără infiltrații urmate de ridicări sau de coboriri ale solului, sînt dăunătoare construcțiilor deoarece permit acumularea apei sub ele printr-un fenomen asemănător condensării.

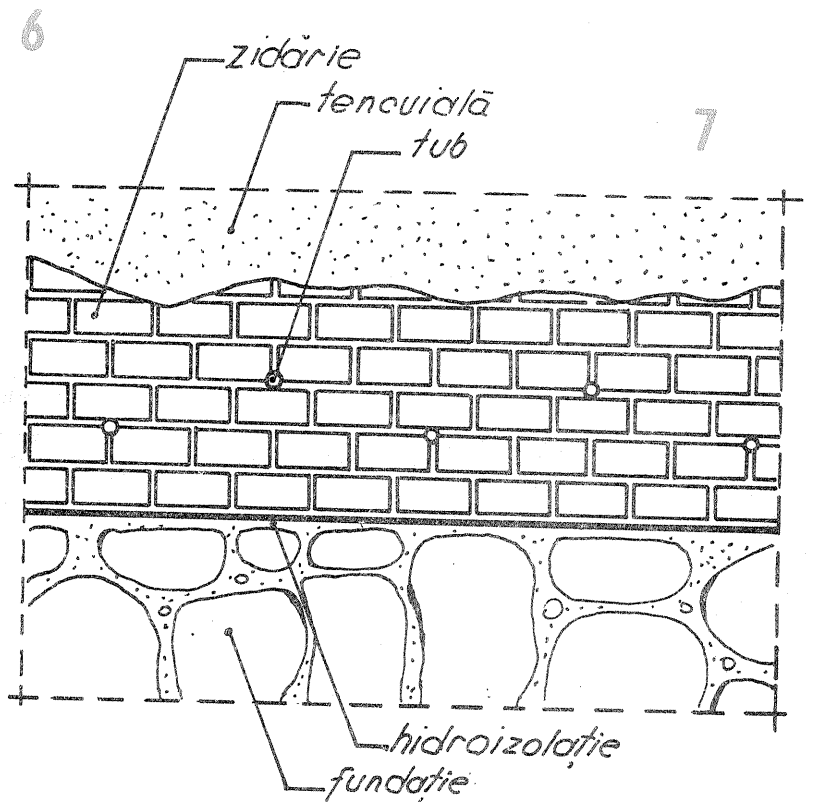
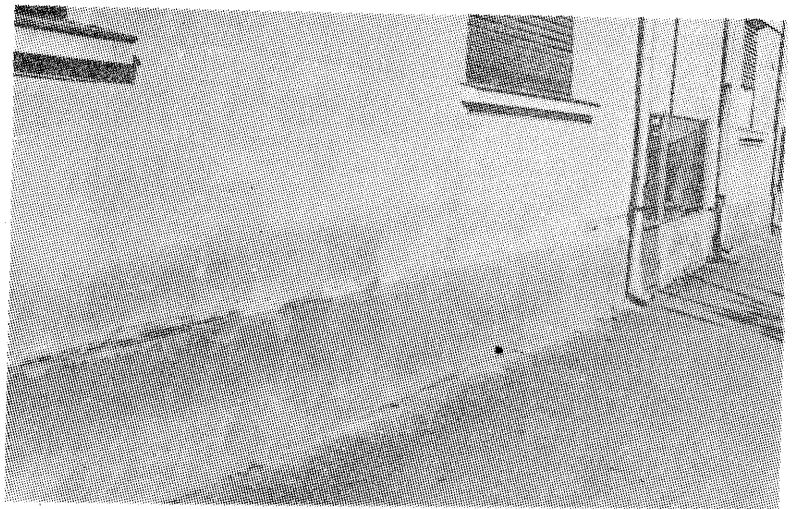
Executarea de trotuare mult mai late decît streășina casei asigură udarea permanentă cu stropi de ploaie a soclului casei sau, cînd acesta nu este prea înalt, a zidăriei tencuite.

Trotuarele sînt totuși utile, funcția și utilitatea lor sînt de necontestat, motiv pentru care trebuie executate astfel încît să rezolve și problema evacuării apei din zona apropiată locuinței.

Realizarea unui șanț sau a unei rigole late de 10—15 cm între trotuar și fundație și umplerea cu piatră spartă sau chiar înierbarea au efecte benefice pentru eliminarea apei.

Trotuarele din jurul clădirilor trebuie să fie executate din dale de beton, din bolovani de râu, din cărămidă refractară cu rosturi înierbate, deci din acele materiale care permit eliminarea apei din teren prin ele sau prin rosturi.

În zonele rurale și micile orașe din provincie se betonează întreaga



suprafață a curții cu beton bine sclivisit. Această „betonomanie”, care din păcate se extinde tot mai mult, favorizează apariția igrasiei în ziduri deoarece betonul sclivisit are proprietăți asemănătoare cu cele ale unui strat etanș din asfalt.

La executarea pe străzi a săpăturilor pentru diverse rețele utilitare (apă, canalizare, telefonie etc.) există posibilitatea întreruperii continuității pinzei de apă freatică. O dată distrus echilibrul natural al terenului, apa pătrunde în alte straturi, ajungînd în zona fundațiilor.

Pe lângă aceste cauze prezentate, defecțiunile în funcționarea instala-

ției de apă și canalizare a locuinței sînt surse importante de pătrundere și menținere a umezelii în ziduri.

Igrasia pătrunsă într-o locuință se poate datora uneia sau mai multora din cauzele menționate mai sus, ce pot acționa singular sau concomitent. La stabilirea cauzelor și la luarea măsurilor de înlăturare a igrasiei trebuie acordată o atenție mare tuturor fenomenelor deoarece prin neglijarea unuia singur se anulează efectul oricărui măsuri, umezeala persistînd în continuare.

(CONTINUARE ÎN NR. VIITOR)



## EMULSII FOTSENSIBILE CU SĂRURI DE CROM

Ing. VASILE CĂLINESCU

O categorie aparte de lucrări fotografice o reprezintă cele care folosesc emulsii fotosensibile coloidale neorganice. Suportul emulsiei este de regulă metalic, dar poate fi și din material plastic sau alte materiale. Utilizarea acestor emulsii derivă din necesitatea formării unor straturi fotosensibile sub formă de pelicule subțiri continue, aderente și care să nu conțină substanțe cristalizate.

În practică asemenea emulsii se folosesc în tehnica tipografică pentru realizarea formelor de imprimare, în electronică pentru obținerea cablajelor imprimate, a scalelor de radio și a panourilor unor aparate.

Caracteristic tuturor acestor aplicații este faptul că pe suportul respectiv se formează imagini alcătuite din zone acoperite cu emulsie și zone neacoperite. Zonele acoperite sînt protejate astfel, protecție necesară în etapele ulterioare, cînd pe cale chimică se atacă suprafața suportului. Ca exemplu cităm realizarea cablajelor imprimate. Circuitele propriu-zise se formează după un clișeu negativ prin contact. În dreptul părților luminate emulsia se întărește, restul emulsiei se înlătură prin spălare și placa se corodează chimic. Cuprul din zonele fără emulsie este înlăturat, rămînînd astfel numai circuitele dorite.

Masa emulsiei este constituită din coloizi naturali (albumine, gelatine, cleiuri animale, gumă arabică) sau sintetici (alcool polivinilic, derivați polivinilici, poliamide, poliacrilati etc.). Sensibilizarea se face cu săruri de crom (bicromați). Coloizii naturali sînt solubili în apă, pe cînd cei sintetici, cu mici excepții, în solvenți organici. Sensibilitatea spectrală a acestor emulsii se situează între 370 și 470 nm.

În cele ce urmează vom prezenta cîteva rețete accesibile amatorilor (fotografi, electroniști etc.) pe baza de coloizi naturali.

Menționăm că sensibilitatea acestor emulsii este redusă, necesitînd expuneri lungi în lumină bogată în radiații ultraviolete. Cu ajutorul lor amatorul poate să-și realizeze circuite imprimate, panouri frontale pentru aparate electronice, scale radio etc. Ca original servește un clișeu sau desen pe calc sau alt material transparent, la scala 1:1. Transferul imaginii se face exclusiv prin copiere prin contact.

Emulsiile din această categorie se prepară înaintea utilizării, iar după aplicarea pe suport se prelucrează imediat.

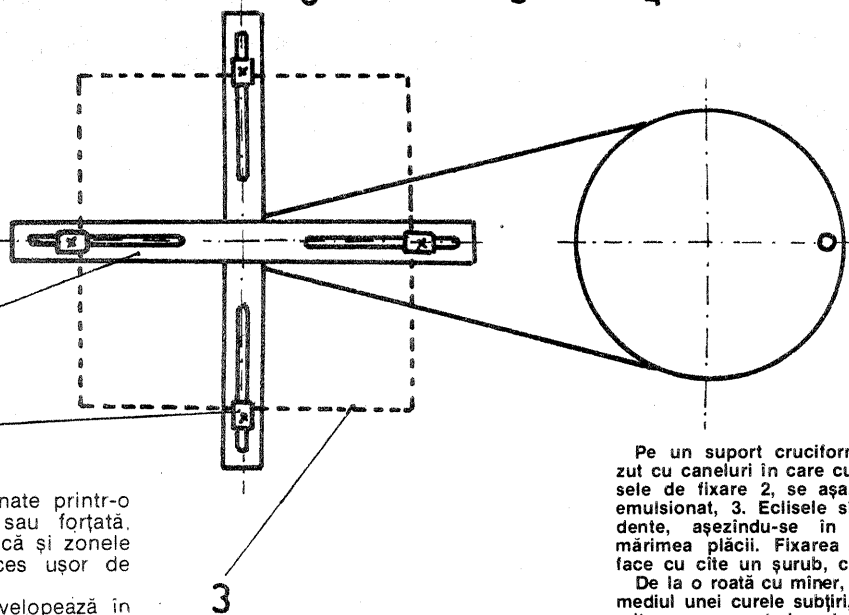
Recapitulînd, rezultă că:

— prin expunere la lumină se obțin zone tonate (întărite) și zone netonate;

— zonele netonate se îndepărtează prin spălare cu apă (sau alt solvent al emulsiei respective), pro-

ces care este, de fapt, dezvoltarea emulsiei.

Dezvoltarea se face cu apă la temperatură normală. În cazul emulsiilor cu gelatină este necesară apă caldă la 30—40°C. Dezvoltarea se poate face în baie sau sub jet. Emulsia netonată trece înții printr-o fază de umflare, după care se dizolvă în apă și poate fi îndepărtată. Îndepărtarea se face prin ușoară agitare, prin acțiunea unui jet de apă sau printr-o ușoară acțiune mecanică cu un tampon textil. Se va acorda atenție să nu se



Pe un suport cruciform, 1, prevăzut cu caneluri în care culisează eclisele de fixare 2, se așază placa de emulsionat, 3. Eclisele sînt independente, așezîndu-se în funcție de mărimea plăcii. Fixarea ecliselor se face cu cite un șurub, ca în detaliu.

De la o roată cu minier, 4, prin intermediul unei curele subțiri, 5, se transmite un moment de rotație la suportul solidat cu arborele 6, prevăzut cu un canal de curea.

Acționarea este normală. Raportul de multiplicare este de minimum 5.

îndepărteze și zone tonate printr-o dezvoltare prelungită sau forțată, avînd în vedere faptul că și zonele tonate suferă un proces ușor de umflare.

Guma arabică se dezvoltă în soluții de clorură de calciu, clorura de magneziu, tiocianat de amoniu etc., dat fiind faptul ca în apă și zonele tonate se umflă mult și pot fi îndepărtate.

Zonele tonate se pot colora cu culori solubile în apă, de exemplu culori de anilină. Colorarea se face anterior dezvoltării (sau dezvoltării complete), dispariția culorii în zonele în care se îndepărtează emulsia permițînd și controlul dezvoltării. Curenți se folosesc cerneluri de copiere, cerneluri litografice etc.

În continuare redăm cîteva rețete de astfel de emulsii. Prepararea, păstrarea și depunerea lor se fac la lumină roșie (portocalie) sau în semiîntuneric.

**Rețeta 1 — Emulsie cu albumină**

Se face o soluție din 500 ml de apă (distilată, de dorit) călduță, cu 4 g bicromat de amoniu, 20 g albumină (cristalizată). Se adaugă amoniac (picături) pînă cînd soluția devine galben deschis (galben-pai). După preparare se filtrează soluția astfel obținută.

În lipsa albuminei cristalizate se poate folosi albușul de la un ou (bătut spumă), în care caz se micșorează cantitatea de bicromat de amoniu la 3 g. Această soluție cu albuș este mult mai fluidă decît prima.

**Rețeta 2 — Emulsie cu albumină**

Este similară cu prima, dar diferă cantitățile substanțelor. Se folosesc la 500 ml apă doar 1,5 g bicromat de amoniu, dar mai multă albumină, respectiv 50 g. Se adaugă amoniac pînă la obținerea culorii galben-pai.

Această rețetă este potrivită depunerii pe celuloză.

**Rețeta 3 — Emulsie cu clei de pește**

Se prepară două soluții:

— soluția A: 300 cm<sup>3</sup> clei de pește (soluție) din piei uscate de morun în 500 ml apă distilată rece;

— soluția B: 50 g bicromat de amoniu în 300 ml apă distilată rece.

După completa dizolvare și omogenizare a celor două soluții se amestecă și se păstrează 24 de ore la loc rece și ferit de lumină. Se fil-

Siria. Emulsiile cu clei sau gelatină doar se încălzesc, dar la cca 230°C.

În practica amatorilor se poate renunța la această întărire suplimentară dacă atacul chimic al suportului nu se face cu acizi.

Reamintim că în acest articol nu se fac referiri la emulsiile cu coloizi sintetici.

Etapele de lucru pentru obținerea imaginilor sînt:

1. **Curățarea, degresarea și înăsprirea suportului** (placă, de regulă). Este o operație extrem de importantă pentru asigurarea aderenței emulsiei pe placa-suport. Placa trebuie să fie perfect curată, fără impurități de orice natură. Pentru o bună aderență, suprafața trebuie să prezinte un anumit grad de rugozitate.

Curățarea se face de regulă prin spălare cu detergenți și îndepărtarea mecanică a impurităților aderente. Urmează o clătire, după care se face degresarea într-o soluție adecvată. Înăsprirea suprafeței se face tot chimic, ca principiu general prin atac cu o substanță alcalină

trează.

**Rețeta 4 — Emulsie cu clei de pește**

Se dizolvă 185 g clei de pește în 500 ml apă distilată, după care se adaugă 15 g bicromat de amoniu sau de potasiu. Se filtrează.

**Rețeta 5 — Emulsie cu clei de piele**

Se fac două soluții:

— soluția A: se dizolvă 100 g clei de piele în 550 ml apă caldă (30—40°C);

— soluția B: se dizolvă 35 g bicromat de amoniu în 350 ml apă caldă.

Se amestecă cele două soluții, după care se adaugă 20 ml amoniac.

Dezvoltarea emulsiilor pe bază de clei se face în apă, la temperatura apropiată de 18°C.

În practica industrială se întărește imaginea formată din emulsie tonată prin încălzire și cu un adaos de rășini. Astfel, emulsiile cu albumină necesită o încălzire la cca 120°C, după o prăfuire cu asfalt de

sau acidă. Se poate face și o înăsprire mecanică prin șmirgheluire foarte fină, în care caz operația precede curățarea și degresarea. Ca exemplu, plăcile de aluminiu se înăspresc într-o soluție de hidroxid de sodiu sau potasiu, pînă cînd devin mate și rugoase. În cazul sticlei înăsprirea poate lipsi, dar suprafața trebuie să fie perfect curată.

2. **Depunerea emulsiei**

Se face pe placa umezită pînă la îndepărtarea apei.

3. **Uniformizarea și uscarea emulsiei**

Se realizează prin centrifugare în centrifuge specializate, prevăzute cu încălzire electrică pentru uscare.

Amatorii vor face o depunere îngrijită prin înclinări repetate ale plăcii astfel încît stratul de emulsie să fie cît mai uniform. Uscarea se face la temperatura ambiantă, la în-

# cum folosim aparatul FED MICRON

Fiz. GHEORGHE BĂLUTĂ

FED Micron este un aparat automat de tip „compact”, recomandat în special celor care fotografiază ocazional și nu vor să aibă probleme tehnice, dar și celor mai pretențioși — posesorii ai unor camere reflex — ca un al doilea aparat, ușor de transportat și minuit. Dimensiunile sale sînt 113 x 75 x 60 mm, iar greutatea 460 g.

Aparatul folosește film de 35 mm, în casete 135 și permite obținerea a 36 de imagini cu formatul 24 x 36 mm. Transportul filmului se face cu o pîrghie; antrenarea peliculei se asigură pe ambele margini perforate. Contorul de imagini revine automat la zero cînd se deschide capacul cutiei.

Vizarea este directă, printr-un sistem optic care marchează prin cadru luminos cîmpul fotografiat. Un telemetrul cu suprapunerea imaginilor, cuplat cu punerea la punct a obiectivului, acționează într-o zonă circulară din centrul vizorului.

Obiectivul I-81, nedemontabil, este un grandangular 2,8/38 mm, cu patru lentile (două lipite) tratate antireflex. Punerea la punct se poate face între 1 m și infinit.

Obturatorul-diafragmă are două lamele și este plasat în spatele obiectivului. Întîrzierea cu care se închid lamelele determină timpul de

expunere, iar măsura în care se deschid acestea dă efectul de diafragmare.

Aparatul lucrează în regim „manual” sau „automat”. Pe „manual”, fără a fi nevoie de baterie, sînt posibile:

— lucrul la timp constant 1/30 s și diafragma fixată de fotograf, în trepte standardizate, în domeniul 2,8 — 16. Este situația tipică pentru utilizarea blitzului;

— lucrul la diafragmă complet deschisă și timp lung de expunere (B). Se folosește la lumină slabă, împreună cu fixarea pe trepied a aparatului.

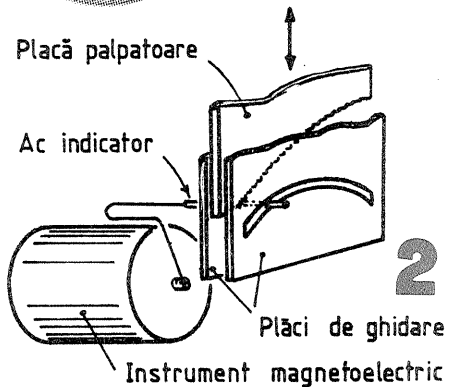
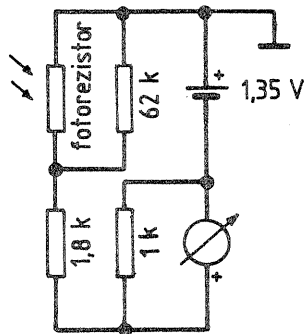
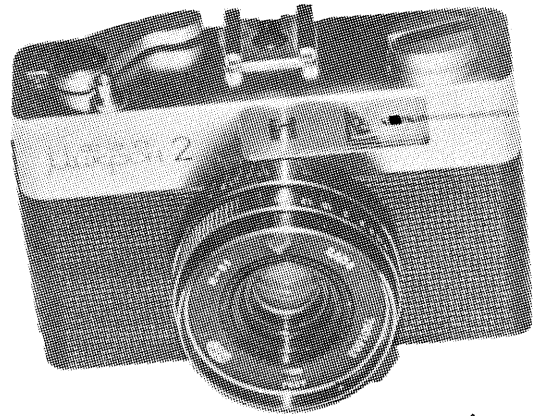
Pe poziția „automat” (A), aparatul își reglează singur timpul de expunere, simultan cu diafragma, după un program prestabilit de constructor. Reglajul se face în funcție de lumina primită de la subiect, avînd ca parametru sensibilitatea peliculei folosite.

Schema electrică a sistemului de reglare automată a expunerii este simplă (fig. 1). Un fotorezistor este înseriat cu bateria, instrumentul de măsură și un rezistor de limitare a curentului. Alte două rezistoare, în paralel pe elementul fotosensibil și respectiv pe instrument, ajustează sensibilitatea acestora. O diafragmă limitează lumina primită de fotorezistor, în funcție de sensibilitatea filmului.

Se remarcă lipsa unui întrerupător, de unde obligativitatea păstrării aparatului cu obiectivul (și implicit fotorezistorul montat alături de el) acoperite cu capacul negru de protecție. Aceasta duce la reducerea consumului din baterie la o valoare neglijabilă (20  $\mu$ A).

Bateria folosită este un element cu mercur RT 53, de 1,35 V și avînd o capacitate de 0,2 Ah. Dacă tensiunea bateriei diferă sensibil de cea nominală, expunerea este influențată.

Deviația acului instrumentului este transformată în valori ale timpului de expunere și ale diafragmei



prin intermediul unui mecanism a cărui parte principală este schițată în figura 2. În momentul apăsării pe declanșator, o piesă „palpatoare” glisează de sus în jos, între două piese pentru ghidare, și este oprită de acul instrumentului. Funcție de poziția acului (deci de iluminarea subiectului), cursa palpatorului este mai mică sau mai mare; ea este transformată în valori timp-diafragmă printr-un mecanism cu pîrghii ce comandă gradul de deschidere și viteza lamelor obturatorului-diafragmă. Simultan, un ac indicator vizibil în partea dreaptă a vizorului indică valorile exponometrice stabilite între 2,8—1/30 și 14—1/650.

Dacă expunerea necesară este mai mare decît 2,8—1/30, declanșarea nu se produce. Această decizie este luată datorită unui al doilea palpator, paralel cu cel reprezentat în figura 2, care detectează faptul că acul instrumentului nu s-a deplasat sensibil din poziția de zero.

Aparatul lucrează „cu memorie”, adică execută fotografierea cu datele exponometrice pe care le-a stabilit în momentul apăsării parțiale a declanșatorului, indiferent

de modificările ulterioare ale iluminării. Faptul se datorează blocării mecanice a acului instrumentului atunci cînd este apăsător.

Memoria poate fi folosită cu succes pentru corectarea expunerii în cazul fotografierii unor subiecte cu contrast foarte mare (de exemplu la subiecte în contralumină). Necorectat, aparatul automat face o medie între strălucirea puternică a sursei de lumină din cadru și iluminarea redusă a părții subiectului îndreptată spre obiectiv. Expunerea astfel stabilită nu permite înregistrarea unor detalii ale subiectului. Se poate corecta expunerea, în sensul mării ei, dacă măsurătoarea se face apropiindu-se mult de subiect sau dacă se folosește o suprafață cu reflectivitate medie (palma, de pildă), așezată în apropierea fotorezistorului. Se memorează această expunere, apoi se face încadrarea dorită și se efectuează declanșarea, prin apăsarea pînă la capăt a declanșatorului.

Cu o construcție robustă — carcasă și mecanism în întregime metalice — aparatul are o bună fiabilitate.

tuner, plasînd placa perfect orizontal. Se poate încerca încălzirea zonei cu o aerotermă sau prin plasairea adecvată în apropierea unei plite electrice.

Pentru uniformizarea emulsiei se poate face apel și la un dispozitiv simplu ca acela din figură.

## 4. Expunerea

Se face la lumină naturală (la soare) sau artificială (lămpi cu neon sau becuri cu incandescență puternice). În industrie se folosesc lămpi cu arc electric. Placa și clișeul se așază în rame prevăzute cu geam presor care să asigure contactul uniform. Amatorul va folosi o placă de sticlă fără defecte care să asigure presarea.

Durata expunerii se determină experimental. Informativ, ordinul de mărime este de 2—5 minute la lumină solară și de 4—10 minute la lumină artificială.

## 5. Colorarea

Dacă este necesară, se face prin aplicarea colorantului dorit (cerneții), cu un val de gelatină, prin imersare sau prin sprîțuire fină. Se poate face și după developare, cel puțin pentru emulsiile pe bază de clei.

## 6. Developarea

Se face așa cum s-a mai spus. Verificarea developării este facilitată de colorarea anterioară a emulsiei.

## 7. Uscarea

Se face în aer liber sau sub un curent de aer.

## 8. Întărirea

(Dacă este cazul, așa cum s-a mai spus.)

Dacă s-a urmărit obținerea unei scale sau panou, procesul este gata, pentru protecție efectuîndu-se o lacuire.

Dacă imaginea este doar o etapă intermediară, se efectuează corodarea suportului cu agent chimic potrivit.

Astfel, în cazul circuitelor imprimare se folosește ciorură ferică.

## FOLOSIREA INELELOR

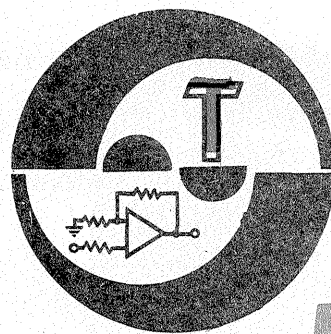
VIOROL OLTEANU

În afara situațiilor cînd fotoamatorii posedă obiective care permit realizarea de macrofotografii prin însăși construcția lor (cum este cazul obiectivului FLEKTOGON 2,8/35, care permite realizarea de fotografii de la 18 cm, sau PENTACON AUTO 1,8/50 la care distanța minimă de fotografiere este de 33 cm), macrofotografiile se pot realiza doar cu ajutorul inelelor distanțiere. Inelele distanțiere se pot realiza chiar de fotoamatori sau pot fi cumpărate din comerț. Indiferent de modul lor de obținere, trebuie avut în vedere faptul că între distanța focală a obiectivului și lățimea inelelor există o strînsă legătură, fiecare set de inele fiind proiectat pentru un obiectiv cu o anumită distanță focală. În funcție de reglarea obiectivului (pe distanța minimă de fotografiere sau pe  $\infty$ ) și de combinația de inele folosite se pot obține diferite scări de mărime și se pot fotografia formate de diverse mărimi. În tabel se prezintă dimen-

siunile cîmpului fotografiat și scara de mărime corespunzătoare diferitelor combinații de inele (inele PENTACON, care se pot procura din comerț) atașate la un obiectiv PENTACON AUTO 1,8/50. Valorile din tabel corespund reglării obiectivului pe 33 cm și pe  $\infty$ . Pentru obiective cu altă distanță focală sau inele

avînd alte lățimi decît 7; 14; 28 mm, valorile din tabel își pierd valabilitatea. Dimensiunile cîmpului fotografiat sînt în milimetri, iar valorile scării de mărime se interpretează în sensul că valoarea 0,42 reprezintă o imagine formată pe peliculă de o mărime egală cu 0,42 din mărimea ei reală

Lățimea inelelor (mm)	Dimensiunile cîmpului fotografiat		Scala de mărime	
	m 0,33	$\infty$	m 0,33	$\infty$
7	86 x 128	172 x 257	0,28	0,14
14	57 x 86	86 x 128	0,42	0,28
7+14	43 x 64	57 x 86	0,56	0,42
28	34 x 51	43 x 64	0,70	0,56
7+28	28 x 43	34 x 51	0,84	0,70
14+28	25 x 37	28 x 43	0,98	0,84
7+14+28	21 x 32	25 x 37	1,12	0,98



## AUTOMAT

Automatul sesizează micșorarea intensității luminii în mediu, comandând aprinderea unei lămpi suplimentare.

mandă anclanșarea sau declanșarea unui releu.

Contactele releului stabilesc circuitul de alimentare a unui bec.

Elementul senzitor este o fotodiodă care, prin intermediul unui amplificator și al unui triger, co-

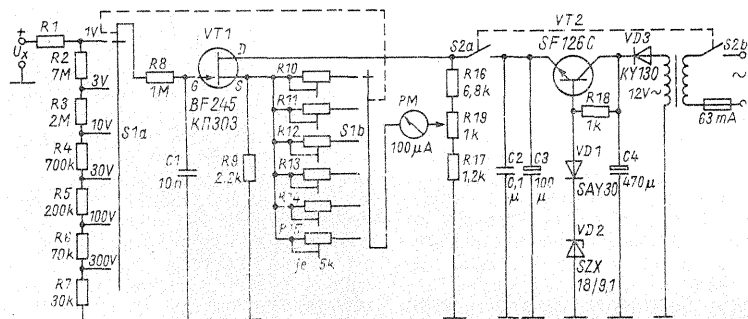
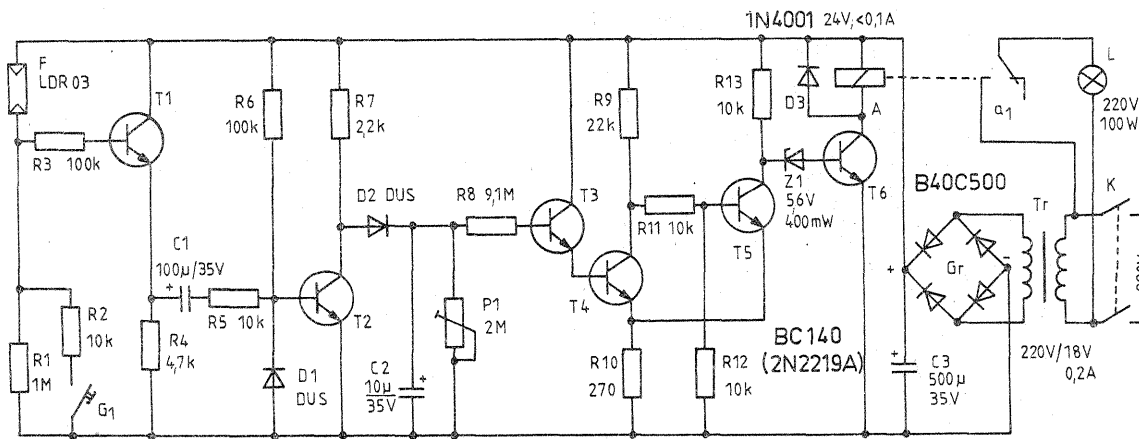
RADIOTEHNIKA,  
11/1985

## VOLTMETRU

Acest instrument poate măsura pe șase scale tensiuni pînă la 300 V. Impedanța de intrare este de aproximativ 10 MΩ. Tranzistorul FET poate fi și de tipul 2N3819. Reglajul pe fiecare scală se face din potențiometrele R10 — R15, toate de 5 kΩ. Potențiometrul R19 reglează scala zero.

Rezistorul R1 care se montează are valoarea de 2,2 MΩ.

FUNKAMATEUR,  
11/1985



## OSCILATOR

Semnalul de la acest oscilator are amplitudinea de aproximativ 3 V și acoperă banda de frecvență cuprinsă între 50 Hz și 20 kHz, deci acoperă gama de audiofrecvență. Condensatoarele C<sub>1</sub> și C<sub>2</sub> sînt de

100 μF; C<sub>3</sub> = C<sub>4</sub> = 1 nF, C<sub>5</sub> = 1 000 μF, iar C<sub>6</sub> = 200 μF. Diada D<sub>1</sub> este 1N914. Alimentarea se face la 20 V.

AMATERSKE RADIO,  
11/1973

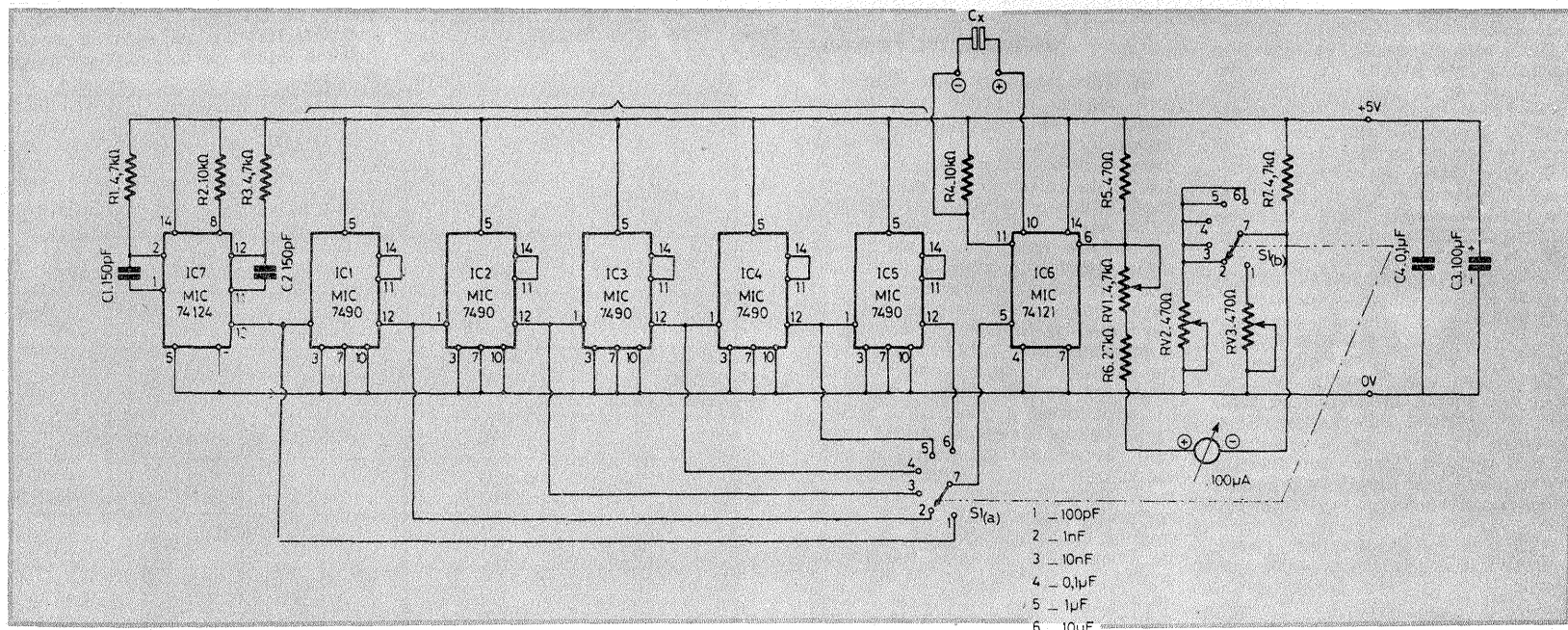
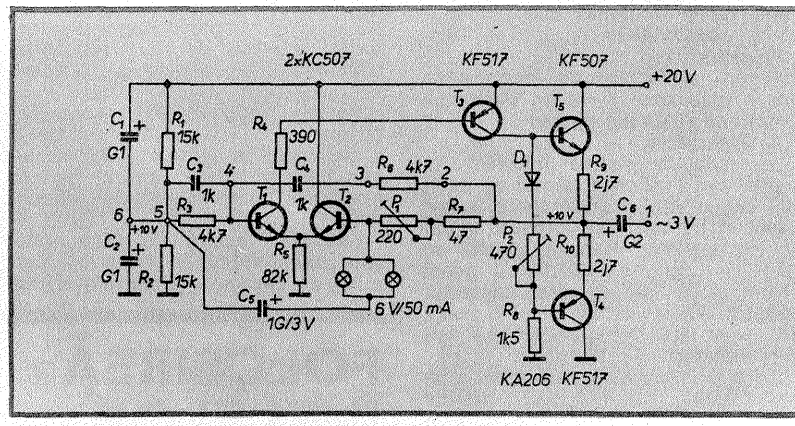
## CAPACIMETRU

Metoda de măsurare cu acest aparat constă în faptul că elementul C<sub>x</sub> este inclus în timpul de basculare al unui circuit monostabil. Valoarea tensiunii de ieșire este proporțională cu durata impulsurilor, deci cu valoarea condensatorului supus măsurătorii. Generatorul (74124) emite o frecvență de 1 MHz. Cele

cinci divizoare cu 7490 ne oferă semnal de 100 kHz, 10 kHz, 1 kHz, 100 Hz și 10 Hz și în acest fel se pot măsura condensatoare cu valoarea cuprinsă între 100 pF și 10 μF.

Instrumentul indicator este un microampermetru de 100 μA.

LE HAUT PARLEUR, 1 563/1976



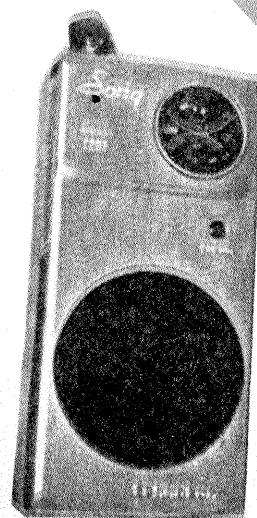
# RADIO RECEPTOARE PORTABILE

Informații, știri, muzică, transmisiuni sportive, comentarii științifice, divertismente, toate pot fi audiate oriunde și oriunde grație radioreceptoarelor portabile.

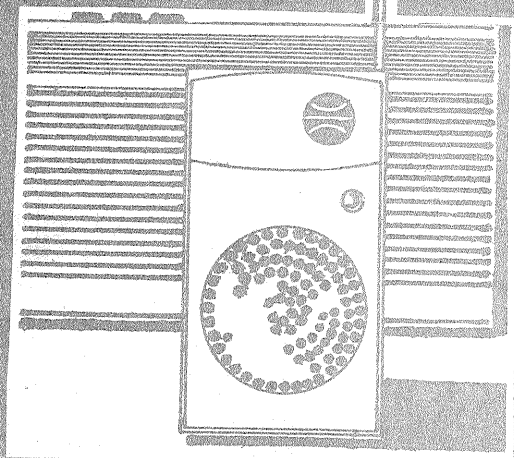
Economice, ieftine, cu un design modern, radioreceptoarele portabile corespund normelor tehnice de sensibilitate, selectivitate și fidelitate.

	GAMA DE UNDE	PREȚ
SONG	2	610 lei
GAMMA	1	341 lei
SOLO 100	2	371 lei
SOLO 300	3	685 lei
SOLO 500	4	885 lei
DERBY	2	446,70 lei
GLORIA	5	1.382 lei

## SONG

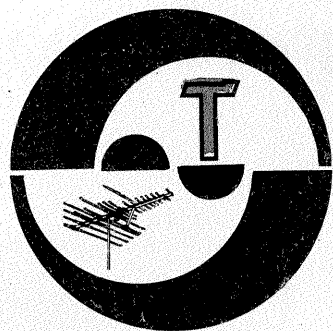


## GLORIA



# RADIO RECEPTOARE PORTABILE

În autoturism, aceste performanțe sînt asigurate de radioreceptorul LIRA  
3 lungimi de undă — 1.330 lei.



# SERVICE

Tehnica înregistrărilor video va fi continuată în paginile revistei.

**MUȘAT GHIȚĂ — Corabia**

Urmăriți rubrica foto.

**APOSTU DĂNUȚ — Tecuci**

Construiți antene Yagi cu 3, maximum 5 elemente pentru canalele 1 și 2 TV.

**MOCANU CĂTĂLIN — Pașcani;**

**ȘERBAN CĂTĂLIN — Craiova**

Nu deținem documentația solicitată.

**URZICĂ FLORIN — jud. Botoșani**

Nu mai după ce obțineți autorizația de radioamator puteți aborda construcția emițător-receptorului.

**FRUMUȘANU RADU — București**

Cablul de legătură între amplificator și difuzor poate avea 40 m, la interfonul la care vă referiți.

**TOMA ION — jud. Buzău**

Funcționarea anormală a casetofonului provine din uzura pronunțată a capului magnetic.

**IONESCU ADRIAN — București**

Transmisile TV via satelit pentru marele public se fac în banda 10—12 GHz. Informația TV este apoi transpusă în unul din canalele benzii V cu ajutorul unui convertor.

**DEMIAN HORĂȚIU — Brașov**

Verificați pe unde se aplică semnal pentru înregistrare de la receptor și prin intermediul unui cablu coaxial introduceți și semnal de la alt casetofon, bineînțeles decuplând receptorul.

În blocul UUS cuplați pe fiecare circuit oscilant câte un condensator de 20 pF.

**FLORA COSTIN — București**

Luați legătura cu autorul sau editura.

**MIRCEA MARIUS — Craiova**

Tranzistorul BEY90 se construiește la noi și se utilizează în amplificatoare de antenă. Înlocuiți MP42 cu EFT353.

**NEDELICU FLORIN — Ploiești**

Vom publica cele solicitate.

**MĂRCULESCU GABRIEL — București**

**OPRIȘAN GABRIEL — Sibiu**

Puntea redresoare admite 80 V și 1 500 mA. Triacul lucrează la 1 A și 50 V.

La restul întrebărilor găsiți răspuns în revistă.

**MITRUT NICULAE — Oradea**

Controlați starea capului magnetic.

**ION MARIN — Bistrița**

Revedeți colecția „Tehnum”.

**NETEJARU LUCIAN — Giurgiu**

Semnale video și sunet se extrag direct de la detectoarele respective.

**MILITARU IOAN — jud. Gorj**

Tranzistorul AF139 poate fi utilizat în preamplificatoare UIF. În rest citiți în revistă.

**MATVIN ION — jud. Neamț**

Nu posedăm schițele construirii unui balon.

**MARTON ALEXANDRU — jud. Bistrița**

Schema amplificatorului A202 a fost publicată în nr.10 din 1980.

**OSMAN OVIDIU — jud. Mehedinți**

Nu deținem documentația orgii Vermona.

**TACU CONSTANTIN — Tirgoviste**

Înlocuiți diodele cu EFD108.

**ENESCU FLORIN — Brașov**

Renunțați la schema cu circuit integrat și construiți un VU-metru cu tranzistoare.

**RADU NELU — Buzău**

Pe baza de ferită bobinați 75 de spire pentru circuitul oscilant și 7 spire pentru cuplaj.

**CACIOABĂ D. — Brașov**

Schema receptorului Gloria a fost publicată în nr. 2 din 1981 și în almanahul „Tehnum” 1982.

**COSMA FLORIN — Cluj-Napoca**

Luați legătura cu autorii prin intermediul redacției.

**DRĂGHICI SORIN — Comănești**

Experimentați și comunicați-ne rezultatele!

**LINCĂ MARIAN — jud. Olt**

La televizorul Modern verificați și înlocuiți condensatoarele de filtraj. În casetofon verificați comutatorul înregistrare-redare; probabil este oxidat — poate fi curățat cu alcool.

**CRĂCIUNAS SORIN — Dej**

Preamplificatorul la care vă referiți funcționează și la viteze mici de deplasare a benzii magnetice.

**HOTĂRAN SAMUEL — Sibiu**

Materialul trimis de dv. a fost reținut spre publicare.

**VLADU MARIUS — Slatina**

Simpla denumire Blaupunkt nu ne indică despre ce aparat este vorba.

**ILIE DANIEL — Baș**

Nu posedăm schema solicitată, dar un specialist cu bunăvoință vă poate identifica firele dezlipite.

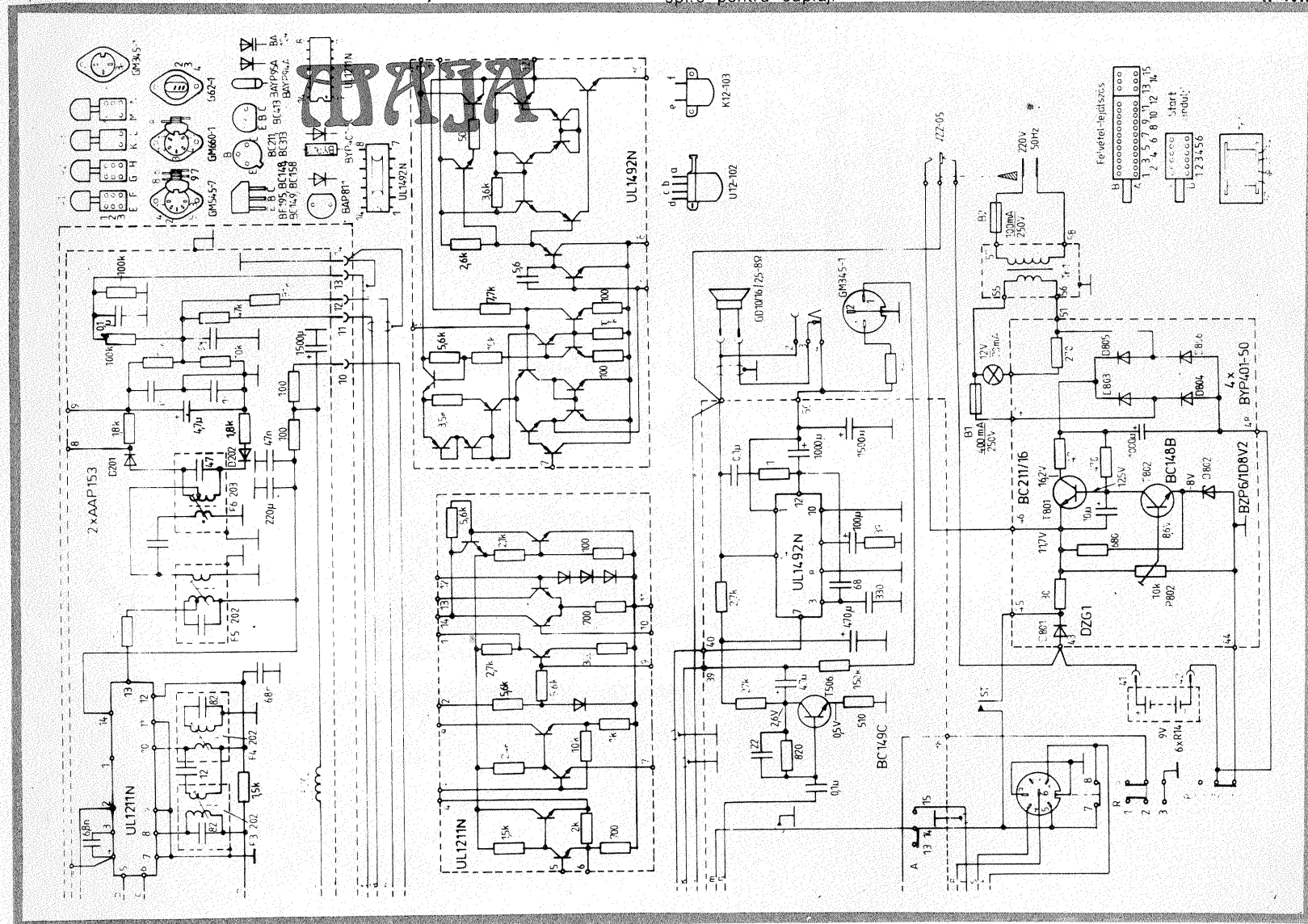
**CRĂCIUN SIMION — jud. Bacău**

Un convertor 12/220 V—100 W a fost publicat în „Tehnum” 11/85, pag. 12.

**NEDELICU MIRCEA — jud. Teleorman**

Nu deținem documentația solicitată.

I. M.



Redactor-șef: ing. IOAN ALBESCU

Redactor-șef adj.: prof. GHEORGHE BADEA

Secretar responsabil de redacție: ing. ILIE MIHĂESCU

Redactor responsabil de număr: fiz. ALEXANDRU MĂRCULESCU

Prezentarea artistică-grafică: ADRIAN MATEESCU

Administrația  
Editura Științei

INDEX 44212

CITITORII DIN STRĂINĂTATE SE POT ABONA PRIN „ROMPRESFILATELIA” — SECTORUL EXPORT-IMPORT PRESĂ, P.O.BOX 12—201, TELEX 10376, PRSFIR BUCUREȘTI, CALEA GRIVIȚEI NR. 64—66.

Tiparul executat la  
Combinatul Poligrafic „Casa Științei”